

ՀԱՅԿԱԿԱՆ ՍՍՀ  
ԳԻՏՈՒԹՅՈՒՆՆԵՐԻ ԱԿԱԴԵՄԻԱՅԻ

ՏԵԴԵԿԱԳԻՐ  
ИЗВЕСТИЯ

АКАДЕМИИ НАУК АРМЯНСКОЙ ССР

ՏԵԽՆԻԿԱԿԱՆ ԳԻՏՈՒԹՅՈՒՆՆԵՐԻ ՍԵՐԻԱ  
СЕРИЯ ТЕХНИЧЕСКИХ НАУК

ԽՄԲԱԳՐԱԿԱՆ ԿՈՒՆԳՐԱՆ՝

Կասյան Ի. Վ. (պատ. խմբագիր), Աղունց Հ. Տ. (պատ. խմբագրի տեղակալ), Ալեքսևսկի  
Գասյան Ի. Վ. (պատ. խմբագիր), Աղունց Հ. Տ. (պատ. խմբագրի տեղակալ), Ալեքսևսկի  
Վ. Վ., Անանյան Ա. Կ., Գուրայան Տ. Ա., Զաղոյան Ի. Ա., Լազուրով Ա. Կ., Տեր-Ազարե Ի. Ա.,  
Փինեայան Վ. Վ. (պատ. խմբագրի տեղակալ)  
Պատասխանատու թարգմանար Ստեփանյան Զ. Կ.

Касьян И. В. (ответ. редактор) Адоныч Г. Т. (зам. ответ. редактора), Алексеевский  
В. В., Ананян А. К., Гороян Т. А., Задоян М. А., Назаров А. Г., Пинадожян В. В. (зам.  
ответ. редактора), Тер-Азарьян И. А.  
Ответственный секретарь Степанян З. К.

Խմբագրության հասցեն՝ Երևան—1, Արսզյան փող. 15.

Адрес редакции: Ереван—1, ул. Абовяна, 15.

МАШИНОСТРОЕНИЕ

Ю. Л. САРКИСЯН

ЗАДАЧИ О ПРЯМОЛИНЕЙНЫХ КВАДРАТИЧЕСКИХ ТОЧКАХ  
 В ПРОСТРАНСТВЕННОМ ДВИЖЕНИИ

В настоящей статье рассматривается задача об определении особых точек твердого тела, которые в пространственном движении, заданном неограниченным числом конечно-удаленных положений, реализуют взвешенное квадратическое приближение к прямой. Эти точки, названные нами *прямолинейными квадратическими*, применяются при синтезе распространенных рычажных механизмов, содержащих призматические пары.

Геометрическое место прямолинейных точек твердого тела, имеющих три коллинеарных гомологичных положения, изучено в [1]. Основы квадратической кинематической геометрии применительно к плоским, пространственным и сферическим перемещениям твердого тела изложены в [3], [4] и [2].

**Постановка задачи.** Объект  $e$  совершает пространственное движение относительно неподвижного тела  $E$ . Это движение может быть задано произвольным числом  $N$  конечно-удаленных положений или некоторой функцией, связывающей выбранные обобщенные координаты объекта. Координатные системы  $oxuz$  и  $OXYZ$  неразрывно связаны с  $e$  и  $E$  соответственно (рис. 1). Требуется определить такие точки объекта  $e$ , которые в заданных  $N$  положениях насколько возможно мало уклоняются от прямой.

Обозначим через  $A_1$  и  $A_2$  точки пересечения приближаемой прямой  $\sigma$  с плоскостями  $XOZ$  и  $YOZ$ . Условимся определить прямую  $\sigma$  как линию пересечения плоскостей  $H_1$  и  $H_2$ , проектирующих  $\sigma$  на плоскости  $XOY$  и  $YOZ$ . Уравнения этих плоскостей имеют вид:

$$aX + bY - 1 = 0; \tag{1}$$

$$cY + dZ - 1 = 0,$$

где

$$a = \frac{Y_{A_2}}{X_{A_1}}; \quad b = \frac{X_{A_1}}{Y_{A_2}}; \quad c = \frac{Z_{A_1} - Z_{A_2}}{Z_{A_1} Z_{A_2}}; \quad Y_{A_2} = -Z_{A_1}. \tag{2}$$

Таким образом, подлежат определению 7 параметров, в число которых входят величины  $X_{A_1}$ ,  $Z_{A_1}$ ,  $Y_{A_2}$ ,  $Z_{A_2}$  и постоянные координаты искомой прямолинейной квадратической точки  $B$  в системе  $oxuz$ :

$$x_B = m; y_B = n; z_B = l.$$

Легко убедиться, что искомые прямолинейные квадратические точки в рассматриваемом промежутке движения должны оставаться достаточно близкими к плоскостям  $H_1$  и  $H_2$ , на пересечении которых лежит приближаемая прямая  $\sigma$ . Данному условию соответствуют минимизируемые функции следующего вида:

$$\begin{aligned} \Delta_{q_1} &= aX_B + bY_B - l; \\ \Delta_{q_2} &= cY_B + dZ_B - l. \end{aligned} \quad (3)$$

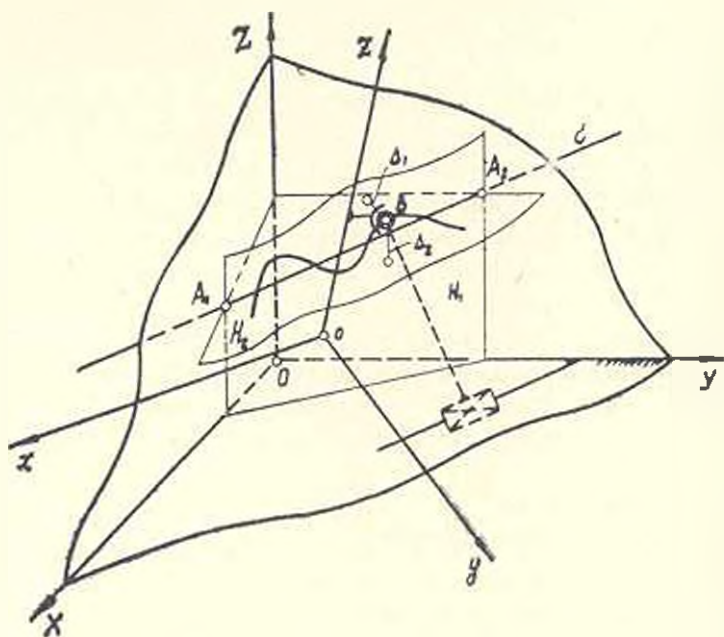


Рис. 1

где  $X_B$ ,  $Y_B$  и  $Z_B$  — переменные координаты точки  $B$  в системе  $OXYZ$ . Эти величины могут быть выражены через искомые параметры  $m$ ,  $n$  и  $l$  посредством известных формул линейного преобразования:

$$\begin{bmatrix} X_B \\ Y_B \\ Z_B \end{bmatrix} = \begin{bmatrix} X_0 \\ Y_0 \\ Z_0 \end{bmatrix} + \begin{bmatrix} \cos\alpha_1 & \cos\alpha_2 & \cos\alpha_3 \\ \cos\beta_1 & \cos\beta_2 & \cos\beta_3 \\ \cos\gamma_1 & \cos\gamma_2 & \cos\gamma_3 \end{bmatrix} \begin{bmatrix} m \\ n \\ l \end{bmatrix}. \quad (4)$$

Строки  $3 \times 3$  матрицы в (4) составлены из заданных направляющих косинусов подвижных осей  $ox$ ,  $oy$ ,  $oz$ .

Подставляя формулы (4), выражения (3) можно преобразовать к двум линейным формам от  $m$ ,  $n$ ,  $l$ :

$$\begin{aligned} \Delta_{q_1} &= f_1 m + f_2 n + f_3 l + f_4; \\ \Delta_{q_2} &= f_5 m + f_6 n + f_7 l + f_8. \end{aligned}$$

где приняты обозначения:

$$\begin{aligned} f_1 &= a \cos \alpha_1 + b \cos \beta_1; & f_5 &= c \cos \beta_1 + d \cos \gamma_1; \\ f_2 &= a \cos \alpha_2 + b \cos \beta_2; & f_6 &= c \cos \beta_2 + d \cos \gamma_2; \\ f_3 &= a \cos \alpha_3 + b \cos \beta_3; & f_7 &= c \cos \beta_3 + d \cos \gamma_3; \\ f_4 &= aX_0 + bY_0 - 1; & f_8 &= cY_0 + dZ_0 - 1. \end{aligned}$$

**Вывод расчетных уравнений.** Составим суммы квадратов функций значений  $\Delta_{q_{1i}}$  и  $\Delta_{q_{2i}}$  в  $N$  расчетных положениях объекта  $e$ :

$$S_j = \sum_{i=1}^N \Delta_{q_{ji}}^2, \quad (j=1, 2; \quad i=1, 2, 3, \dots, N)$$

Координаты  $m, n, l$  искомой точки  $B$  должны минимизировать суммы  $S_1$  и  $S_2$ . Поэтому для определения точки  $B$  мы воспользуемся условиями стационарности сумм  $S_1$  и  $S_2$ :

$$\frac{\partial S_j}{\partial m} = 0; \quad \frac{\partial S_j}{\partial n} = 0; \quad \frac{\partial S_j}{\partial l} = 0. \quad (j=1, 2) \quad (5)$$

После ряда преобразований условия (5) при  $j=1, 2$  сводятся к следующим двум линейным системам:

$$\begin{bmatrix} \sum_{i=1}^N f_{1i}^2 & \sum_{i=1}^N f_{1i} f_{2i} & \sum_{i=1}^N f_{1i} f_{3i} \\ \sum_{i=1}^N f_{1i} f_{2i} & \sum_{i=1}^N f_{2i}^2 & \sum_{i=1}^N f_{2i} f_{3i} \\ \sum_{i=1}^N f_{1i} f_{3i} & \sum_{i=1}^N f_{2i} f_{3i} & \sum_{i=1}^N f_{3i}^2 \end{bmatrix} \begin{bmatrix} m \\ n \\ l \end{bmatrix} = - \begin{bmatrix} \sum_{i=1}^N f_{1i} f_{4i} \\ \sum_{i=1}^N f_{2i} f_{4i} \\ \sum_{i=1}^N f_{3i} f_{4i} \end{bmatrix}; \quad (6)$$

$$\begin{bmatrix} \sum_{i=1}^N f_{5i}^2 & \sum_{i=1}^N f_{5i} f_{6i} & \sum_{i=1}^N f_{5i} f_{7i} \\ \sum_{i=1}^N f_{5i} f_{6i} & \sum_{i=1}^N f_{6i}^2 & \sum_{i=1}^N f_{6i} f_{7i} \\ \sum_{i=1}^N f_{5i} f_{7i} & \sum_{i=1}^N f_{6i} f_{7i} & \sum_{i=1}^N f_{7i}^2 \end{bmatrix} \begin{bmatrix} m \\ n \\ l \end{bmatrix} = - \begin{bmatrix} \sum_{i=1}^N f_{5i} f_{8i} \\ \sum_{i=1}^N f_{6i} f_{8i} \\ \sum_{i=1}^N f_{7i} f_{8i} \end{bmatrix}; \quad (7)$$

Полученная система шести линейных уравнений с тремя неизвестными может быть совместной лишь в том случае, если ранг ее расширенной матрицы равен трем. Первое из условий, необходимых для этого, записывается в следующем виде:

$$\begin{vmatrix} \sum_{i=1}^N f_{1i}^2 & \sum_{i=1}^N f_{1i} f_{2i} & \sum_{i=1}^N f_{1i} f_{3i} & \sum_{i=1}^N f_{1i} f_{4i} \\ \sum_{i=1}^N f_{1i} f_{2i} & \sum_{i=1}^N f_{2i}^2 & \sum_{i=1}^N f_{2i} f_{3i} & \sum_{i=1}^N f_{2i} f_{4i} \\ \sum_{i=1}^N f_{1i} f_{3i} & \sum_{i=1}^N f_{2i} f_{3i} & \sum_{i=1}^N f_{3i}^2 & \sum_{i=1}^N f_{3i} f_{4i} \\ \sum_{i=1}^N f_{2i}^2 & \sum_{i=1}^N f_{5i} f_{6i} & \sum_{i=1}^N f_{5i} f_{7i} & \sum_{i=1}^N f_{5i} f_{8i} \end{vmatrix} = 0, \quad (8)$$

а остальные два могут быть получены, если последнюю строку определителя в левой части (8) заменить строками, составленными из коэффициентов и свободных членов второго и третьего уравнений системы (7).

Несложный анализ показывает, что как равенство (8), так и остальные два, составленные по его образцу, представляют собой алгебраические уравнения 8-ой степени относительно коэффициентов  $a, b, c, d$  уравнений плоскостей  $H_1$  и  $H_2$ . Фиксируя значение одного из них, скажем  $d$ , мы приходим к задаче об определении общих точек трех алгебраических поверхностей 8-го порядка:  $\Phi_j(a, b, c) = 0$   $j=1, 2, 3$ . Из этих точек для нас представляют интерес лишь те, которые не обращают в нуль одновременно все  $3 \times 3$  миноры в матрице:

$$\begin{vmatrix} \sum_{i=1}^N f_{1i}^2 & \sum_{i=1}^N f_{1i} f_{2i} & \sum_{i=1}^N f_{1i} f_{3i} & \sum_{i=1}^N f_{1i} f_{4i} \\ \sum_{i=1}^N f_{1i} f_{2i} & \sum_{i=1}^N f_{2i}^2 & \sum_{i=1}^N f_{2i} f_{3i} & \sum_{i=1}^N f_{2i} f_{4i} \\ \sum_{i=1}^N f_{1i} f_{3i} & \sum_{i=1}^N f_{2i} f_{3i} & \sum_{i=1}^N f_{3i}^2 & \sum_{i=1}^N f_{3i} f_{4i} \end{vmatrix}.$$

Среди них находятся искомые прямолинейные квадратические точки, траектории которых на заданном участке близки к прямой.

Соответствующая нелинейная система может быть решена численными методами. Для каждого из полученных корней  $(a, b, c)$  из (6) или (7) находим величины  $m, n, l$ , определяющие положение точки  $B$  в  $oxuz$ . Путем анализа функции  $\Delta_{e_1}$  и  $\Delta_{e_2}$  в  $N$  расчетных положениях, отбирается тот вариант, который доставляет практически приемлемое приближение к прямой. Параметры приближаемой прямой  $X_{A_1}, Z_{A_1}, Y_{A_2}, Z_{A_2}$  могут быть вычислены с помощью соотношений (2). Каждое из приемлемых решений задачи (набор семи параметров) определяет некоторое двухэлементное звено, входящее в сферическую пару с объектом  $e$  и в призматическую пару со стойкой  $e$ . На рис. 1 это звено изображено пунктиром.

## ՅՈՒ. Լ. ՍԱՐԳՍՅԱՆ

## ՈՒՂՎԱԳԻԾ ՔԱՌԱԿՈՒՍԱՃՅԻՆ ԿԵՏԵՐԻ ԽՆԳԻՐԸ ՏԱՐԱՇԱԿԱՆ ՇԱՐԺՄԱՆ ԴԵՊՔՈՒՄ

## Ա յ փ ո փ ու մ

Հողվածում դիտվում է պինդ մարմնի հատուկ կետերի որոշման խնդիրը, կետեր, որոնք անսահմանափակ թվով վերջավոր-անջատ դիրքերում հնարավորին շափ մոտենում են ուղիղ գծի: Որոնելի քառակուսային մոտավորության գոյություն պայմանները ի վերջո բերվում են շորս անհայտներով երեք 8-րդ աստիճանի հավասարումների սիստեմի: Այն որոշում է ուղղագիծ քառակուսային կետերի մի անվերջ բազմություն, որոնց երկրաչափական տեղը պինդ մարմնին պատկանող տարածական հանրահաշվական կոր է: Ստացված արդյունքները օգտագործվում են պրիզմատիկ զույգեր պարունակող տարածական լծակային մեխանիզմների նախագծման խնդիրներում:

## Л И Т Е Р А Т У Р А

1. Росс Б. Кинематика движения через конечно-удаленные положения. Прикладная механика, № 4, «Мир», 1967.
2. Саркисян Ю. Л. Геометрические места квадратического приближения сферического движения. Машиноведение, № 2, 1974.
3. Sarkisyan Y. L., Gupta K. C., Roth B. Kinematic Geometry Associated with the Least-Square Approximation of a Given Motion, Transactions of ASME, series B, № 2, 1973.
4. Sarkisyan Y. L., Gupta K. C., Roth B. Spatial Least-Square Approximations of a Motion. Proceedings of the IFTOMM International Symposium on Linkages and Computer Design Methods. Vol. B, Paper B-39, 1973, Bucharest.

МАШИНОСТРОЕНИЕ

С. Л. ШМУТЕР, Р. А. КОЧАРЯՆ, Р. Л. АՅՐԻՔՅԱՆ

КОРРЕЛЯЦИОННАЯ ФУНКЦИЯ ШЕРОХОВАТОСТИ  
 КАК ХАРАКТЕРИСТИКА СВОЙСТВ ОБРАБОТАННОЙ  
 ПОВЕРХНОСТИ

Считается установленным влияние топографии (рельефа, шероховатости) обработанной поверхности на ее работоспособность (износостойкость, контактную жесткость, трение, сцепляемость с покрытиями, электропроводность и др. [1-4]). Нельзя, однако, утверждать, что в настоящее время корреляция между статистиками шероховатости и эксплуатационными свойствами поверхности выявлена настолько, что позволяет формулировать специальные (помимо задаваемого ныне ограничения снизу на стандартизованный параметр  $R_a$ ) технические требования к микрогеометрии. Когда это станет возможным, содержательной окажется задача разработки технологии (оборудования) для создания шероховатости, отвечающей определенным требованиям.

В такой постановке приобретает большую значимость возможность охарактеризовать микрогеометрию некоторым универсальным параметром, охватывающим все основные свойства шероховатости. Это облегчило бы задачу выявления связей шероховатости с работоспособностью и конкретизировало бы управление шероховатостью.

Ограничимся рассмотрением абразивных методов (шлифование, суперфиниш, абразивно-жидкостная обработка и др.), как наиболее употребительных для финишных операций. В этом случае профиль шероховатой поверхности представляет собой стационарный эргодический нормальный случайный процесс [1]. Исчерпывающей характеристикой такого процесса, как известно [5], является корреляционная функция. Имеются работы [3, 6], в которых рассматривается возможность использования корреляционной функции для оценки шероховатости.

Напомним, что автокорреляционная функция случайного процесса  $x(t)$ , характеризующая общую зависимость значений процесса в некоторый данный момент времени от значений в другой момент, имеет следующий вид:

$$R(\tau) = \lim_{T \rightarrow \infty} \frac{1}{T} \int_0^T |x(t) - m_x| |x(t+\tau) - m_x| dt. \quad (1)$$

$R(\tau)$  всегда действительная четная функция с максимумом в точке  $\tau=0$ , причем,  $R(0) = \sigma^2$ ,  $R(\infty) = m_x^2$  [где  $\sigma$  и  $m_x$  — среднеквадратическое отклонение и математическое ожидание процесса  $x(t)$ ]. Коррелограмма (рис. 1), изображающая  $R(\tau)$  при сдвигах  $\tau \leq \tau_k$  ( $\tau_k$  — интервал корреляции) характеризует, в основном, случайную часть процесса  $x(t)$ , при сдвигах же  $\tau \gg \tau_k$  — позволяет выделять скрытые в случайном процессе периодичности.  $R(\tau)$  большинства физически реальных центрированных процессов стремится к нулю при  $\tau \rightarrow \infty$ , либо приобретает установившийся периодический характер. В связи с этим  $R(\tau)$  может быть аппроксимирована линейной комбинацией экспонент, либо экспонент и синусоид.

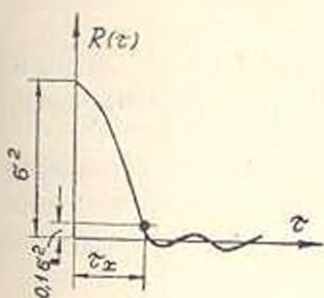


Рис. 1

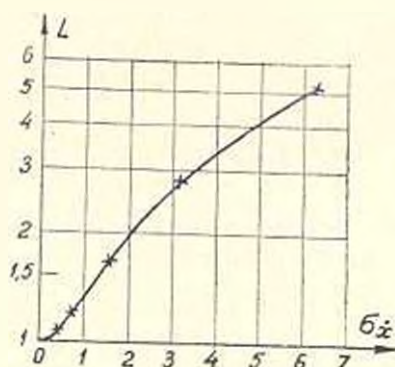


Рис. 2

Для обработанных абразивом поверхностей дисперсия случайной составляющей процесса обычно много больше дисперсии периодических компонент. И хотя периодические составляющие представляют интерес, например, для диагностики состояния технологического оборудования, основные свойства шероховатости поверхности определяются именно случайной составляющей. Ее корреляционная функция может быть приближенно представлена как

$$R(\tau) = \sigma^2 e^{-\tau^2} \quad (2)$$

либо линейной комбинацией членов такого вида. Использование в (2) квадрата в показателе степени экспоненты позволяет оперировать дифференцируемой функцией и, таким образом, исключить чисто математические трудности.

Ниже предпринимается попытка связать две эксплуатационные характеристики поверхности — ее истинную площадь и контактную жесткость — с  $R(\tau)$  шероховатости.

*Истинная площадь*, т. е. площадь поверхности, образованной микрорельефом, важна как характеристика в ряде приложений, в частности, при покрытиях поверхности, поскольку влияет на сцепляемость покрытия с основой. Рассматривая плоскую задачу, выразим отнесен-

ный к единице длины  $T$  периметр  $L$  кривой  $x(t)$ , очерчивающей профилограмму, через криволинейный интеграл от дифференциала дуги, т. е.

$$L = \frac{1}{T} \int_0^T ds = \frac{1}{T} \int_0^T \sqrt{1 + [\dot{x}(t)]^2} dt. \quad (3)$$

Так как  $x(t)$  — стационарный эргодический случайный процесс, то (3) при  $T \rightarrow \infty$  выражает операцию отыскания математического ожидания подинтегральной функции, и если  $x(t)$  — нормальный дифференцируемый процесс, то (3) можно представить следующим образом:

$$L = \langle \sqrt{1 + \dot{x}^2} \rangle = \frac{1}{\sigma_x \sqrt{2\pi}} \int_{-\infty}^{+\infty} \sqrt{1 + \dot{x}^2} e^{-\frac{\dot{x}^2}{2\sigma_x^2}} d\dot{x} = \frac{2}{\sqrt{\pi}} \int_0^{\infty} \sqrt{1 + 2\sigma_x^2 t^2} \cdot e^{-t^2} dt, \quad (4)$$

где  $\sigma_x$  — среднеквадратическое отклонение производной нормального процесса  $x(t)$ , имеющей, как известно, также нормальное распределение.

На рис. 2 представлена рассчитанная на ЭВМ по (4) зависимость относительного периметра  $L$  от  $\sigma_x$ . При малых значениях  $\sigma_x$  выражение  $\sqrt{1 + 2\sigma_x^2 t^2}$  можно разложить в степенной ряд и, ограничиваясь тремя первыми членами, получить:

$$L = \frac{2}{\sqrt{\pi}} \int_0^{\infty} \left( 1 + \sigma_x^2 t^2 - \frac{1}{2} \sigma_x^4 t^4 \right) e^{-t^2} dt = 1 + \frac{\sigma_x^2}{2} - \frac{3\sigma_x^4}{8}, \quad (5)$$

причем, для  $\sigma_x \leq 0,5$  расчет по (5) даст ошибку не более 15 % в оценке влияния  $\sigma_x$ , т. е. в величине  $(L-1)$ .

Известно, что дисперсия  $\sigma_x^2$  производной стационарного дифференцируемого случайного процесса  $x(t)$  равняется второй производной его корреляционной функции при  $\tau=0$ , взятой с обратным знаком, т. е.

$$\sigma_x^2 = -R''(\tau)|_{\tau=0}. \quad (6)$$

Если  $R(\tau)$  имеет вид (2), то

$$R''(0) = -2\sigma^2\alpha.$$

Измеряя интервал корреляции на условном уровне 0,1  $\sigma^2$  (рис. 1), имеем:

$$z = -\frac{\ln 0,1}{\sigma_x^2} = \frac{2,3}{\sigma_x^2}. \quad (7)$$

В этом случае (6) принимает вид:

$$\sigma_x^2 = 4,6 \frac{\sigma^2}{z^2}. \quad (8)$$

Таким образом, по результатам измерения и аппроксимации корреляционной функции с помощью соотношений (5), (8) и графика (рис. 2) можно определить: во сколько раз периметр шероховатости превышает длину базовой линии (т. е. идеально ровной поверхности). Измеряя корреляционные функции в двух взаимно перпендикулярных направлениях на поверхности и определяя, соответственно,  $L_1$  и  $L_2$ , можно в первом приближении величиной  $L_1 \times L_2$  оценивать отношение площадей истинной и идеально ровной поверхностей.

Контактная жесткость поверхностей стыкуемых деталей играет большую роль в статической и динамической характеристиках машин. В балансе упругих перемещений, например, суппортов токарных станков, контактные деформации составляют до 80%; и податливости на кручение коробок скоростей и подач доля приведенной контактной податливости шлицевых и шпоночных соединений составляет 35%. Контактная деформация поверхности определяется микронеровностями—упругим и пластическим сжатием вершин—, сжатием самих микронеровностей и их вдавливанием в основание. На шлифованных контактных поверхностях пластическая деформация мала [2], в связи с чем рассмотрим упругое сближение шероховатой поверхности с идеально ровной и твердой плоскостью, ограничившись для простоты качественного анализа плоской задачей (случай, когда шероховатости в двух взаимноперпендикулярных направлениях резко различны по величине).

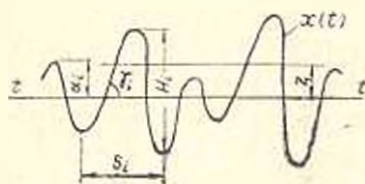


Рис. 3

На рис. 3 профиль шероховатости в виде нормального процесса  $x(t)$  центрирован базовой линией  $t-t$  (т. е.  $m_x = 0$ );

$H_i$ ,  $s_i$  — соответственно высота и ширина основания  $i$ -го микровыступа;  $z$ —сближение контактирующих поверхностей;  $x_i$  — уровень максимума микровыступа;  $\alpha_i$  — угол пересечения профиля  $i$ -го микровыступа с нулевой (базовой) линией.

Упругую деформацию ( $x_i - z$ ) микровыступа представим суммой двух составляющих: сжатия микровыступа  $\delta_{исж}$  и смятия вершины  $\delta_{исм}$ , причем, деформация сжатия определяется как [2]

$$\delta_{исж} = k_{сж} p_i \frac{H_i}{s_i}, \quad (9)$$

а деформацию смятия, вообще пропорциональную силе  $P_i$  в степени 2/3 [3], представим в первом приближении линеаризованной зависимостью

$$\delta_{исм} = k_{см} p_i \quad (10)$$

(здесь  $k_{сж}$ ,  $k_{сш}$  — коэффициенты, зависящие от свойств материала, а также радиуса закругления микровыступов, т. е. метода обработки). В этом случае сила  $p_i$ , воспринимаемая микровыступом, выразится (с учетом  $k'_1 = k_{сж}/k_{сш}$ ) как:

$$p_i = \frac{a_i - z}{k_{сш} \left( k'_1 \frac{H_i}{s_i} + 1 \right)}. \quad (11)$$

Очевидно, сила  $P$ , приходящаяся на единичную площадь поверхности (т. е. контактное давление) и обуславливающая сближение, определится суммированием по всем выступам элементарных сил  $p_i$ .

В (11) величины  $a_i$ ,  $H_i$ ,  $s_i$  являются случайными. Теория выбросов случайных процессов дает выражение математического ожидания числа максимумов  $g(x)dx$  функции  $x(t)$  на единицу  $t$ , имеющих значения в интервале  $(x, x+dx)$ . Это позволяет найти  $P$  интегрированием по  $x$  в пределах  $(z, \infty)$  произведения элементарной силы  $p(x)$  на число максимумов  $g(x)dx$  в элементарном интервале. Необходимо лишь учесть зависимость  $p(x)$  от случайной величины  $H_i/s_i$ .

Примем

$$\frac{H_i}{s_i} = \text{tg} \gamma_i = \beta_i, \quad (12)$$

что справедливо для профиля микровыступа, близкого к треугольному, (выполняется при обработке абразивом [3]) и является значительно более строгим допущением, чем допущение  $\gamma_i = \text{const}$ , обычно вводимое [2, 3] в анализ деформаций микровыступов. Как видно из рис. 3,  $\text{tg} \gamma_i = \beta_i$  представляет собой значения максимумов производной процесса  $x(t)$ , поскольку соответствует моментам прохождения  $x(t)$  через нуль. Из теории выбросов известна функция распределения  $w(\beta)$  плотности вероятностей максимумов на уровне  $\beta$ .

С учетом изложенного суммарная сила  $P$  выразится следующим образом:

$$P = \int_z^{\infty} \int_0^{\infty} p(x, \beta) g(x) w(\beta) dx d\beta, \quad (13)$$

Для нормального случайного процесса при относительно большом  $z$  (т. е.  $z$ ) [7]

$$g(x) dx \approx \frac{x}{\sqrt{2\pi\sigma^2}} \exp\left(-\frac{x^2}{2\sigma^2}\right). \quad (14)$$

$w(\beta)$  приближается к релейевскому распределению и в нашем случае примет вид

$$w(\beta) \approx \frac{\beta}{\sigma_x^2} \exp\left(-\frac{\beta^2}{2\sigma_x^2}\right) \quad (15)$$

при условии [5]

$$\frac{\sqrt{R^{(4)}(0)}}{-R''(0)} = 1. \quad (16)$$

Не сложно проверить, что для  $R(z)$  по (2) это условие можно принять, так как (16) принимает значение  $\sqrt{3}$ . Заметим, что, если (16) много больше единицы, то  $\alpha'(z)$  нормализуется.

С учетом (11), (14) и (15) выражение (13) примет вид:

$$P = k_2 \frac{1}{\sigma_x^2 \sigma^2} \int_0^z \frac{\beta}{k_1 \beta + 1} e^{-\frac{x}{2\sigma_x^2}} \left| \int_0^x z(x-z) e^{-\frac{z}{2\sigma_x^2}} dz \right| x \beta, \quad (17)$$

где  $k_2 = (\sqrt{2} - k_{cv})^{-1}$ .

Интеграл в квадратных скобках разбивается на два, один из которых вычисляется непосредственно, а второй — по частям с использованием известного приближенного выражения при больших  $x$  для интеграла вероятностей

$$\operatorname{erf} x = \frac{2}{\sqrt{\pi}} \int_0^x e^{-t^2} dt \approx 1 - \frac{e^{-x^2}}{x\sqrt{\pi}}.$$

В результате ( $k_2 = 2k_2'$ ;  $k_1 = \sqrt{2} k_1'$ ):

$$P = k_2' \frac{\sigma}{z} e^{-\frac{z}{2\sigma^2}} \int_0^z \frac{z_1 t}{k_1 \sigma_x^2 t + 1} e^{-t^2} dt \quad (18)$$

выражает зависимость сближения ( $z$ ) поверхностей от контактного давления ( $P$ ) в функции параметров  $\sigma$  и  $\sigma_x$  шероховатости.

Полученное выражение качественно хорошо отражает экспериментальные результаты.

Во-первых, из (18) следует нелинейная зависимость контактной жесткости от нагрузки. На рис. 4,а по (18) построена зависимость сближения  $z$ , выраженного в долях  $z = \left(\frac{z}{z_0} = \lambda\right)$ , от контактного

давления  $P$  (в относительных единицах, по зависимости  $\lambda^{-1} e^{-\frac{\lambda^2}{2}}$ ). За начало отчета деформации принято  $z = 3\sigma$ . Из рисунка видно, что при малых нагрузках жесткость мала, с ростом нагрузки — возрастает, причем, при больших  $P$  — линейризуется. Для сравнения на рис. 4,б приводится экспериментальная зависимость [8] упругого сближения  $\lambda$  и  $k_{\text{кв}}$  в стыке площадью  $75 \text{ см}^2$  из одной шлифованной и другой шабренной поверхностей от среднего давления  $p \text{ кг/см}^2$ , качественно совпадающая с полученной на рис. 4,а по (18).

Во-вторых, из (18) следует опять-таки известный факт уменьшения жесткости с ростом шероховатости  $\sigma$ . Действительно,

неизменному  $P$  соответствует неизменное  $\lambda$ , т. е. при росте  $\sigma$  растет и  $z$ , а значит и деформация  $(3z - z)$ ; но так как деформация растет при неизменной нагрузке, то жесткость падает.

В-третьих, (18) позволяет объяснить более медленное, чем прямопропорциональное, уменьшение жесткости с ростом шероховатости. Декониск [2], приводящий эти данные (например, с ростом  $R_a$  в 10 раз жесткость шлифованной поверхности уменьшилась лишь в 2,5 раза), объясняет это большей пластической деформацией при больших неровностях. Такое объяснение противоречит физическому

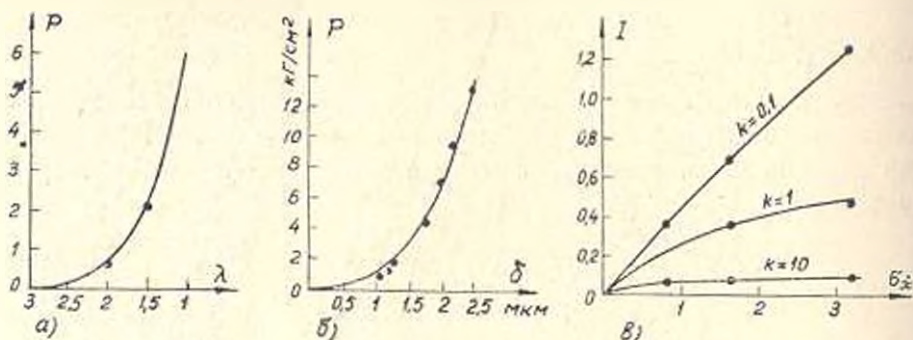


Рис. 4

смыслу, так как пластически деформированные неровности дают меньший прирост силы сопротивления дальнейшему деформированию, чем упруго-деформированные, и, следовательно, еще более уменьшают жесткость. Кроме того, по данным той же работы, в шлифованных поверхностях пластически деформированные выступы не обнаруживаются, а нелинейное уменьшение жесткости с ростом  $\sigma$  всегда имеется.

Объяснить это можно на основании (18) влиянием  $\sigma_x$ . С ростом  $\sigma$  шероховатости параметр  $\sigma_x$ , пропорциональный отношению  $\sigma/\tau_k$  (8), не остается постоянным, а возрастает, но значительно медленнее, поскольку интервал корреляции практически меньше в более узких пределах, чем  $\sigma$ . Это можно усмотреть из приводящихся в работах Рекленк [1, 4] примеров корреляционных функций при различных методах обработки. Например, из двух шлифованных поверхностей одна имеет  $\sigma = 2$  мкм,  $\tau_k = 0,18$  мкм, другая —  $\sigma = 0,3$  мкм,  $\tau_k = 0,05$  мкм, т. е. при росте  $\sigma$  в 6,7 раза  $\sigma_x$  растет лишь вдвое. Кроме того, сила  $P$  зависит от  $\sigma_x$  нелинейно [на рис. 4, в даны значения  $I$  интеграла в (18)], что еще уменьшает эффект роста  $\sigma_x$ .

Итак, поскольку с ростом  $\sigma_x$  сила  $P$  возрастает, рост  $\sigma_x$  всегда меньше роста  $\sigma$ , то эффект падения жесткости с увеличением шероховатости уменьшается.

Интеграл в (18) раскрывает зависимость несущей способности поверхности от параметров корреляционной функции шероховатости,

характер которой показан на рис. 4,в. Из него, в частности, следует, что уменьшение интервала корреляции  $\tau_k$  особенно эффективно при малых  $a_x$ , т. е. при чистовых методах обработки. Поскольку в литературе отсутствуют сведения о влиянии корреляционной функции шероховатости на контактную жесткость, дальнейшее совершенствование анализируемой модели имеет смысл лишь после проведения экспериментальных работ.

Коррелятор для быстрой оценки корреляционной функции шероховатости при исследованиях свойств поверхностей был собран на основе выпускаемых промышленностью приборов. Блок-схема приводится на рис. 5. Коррелятор включает блок измерения и запоминания

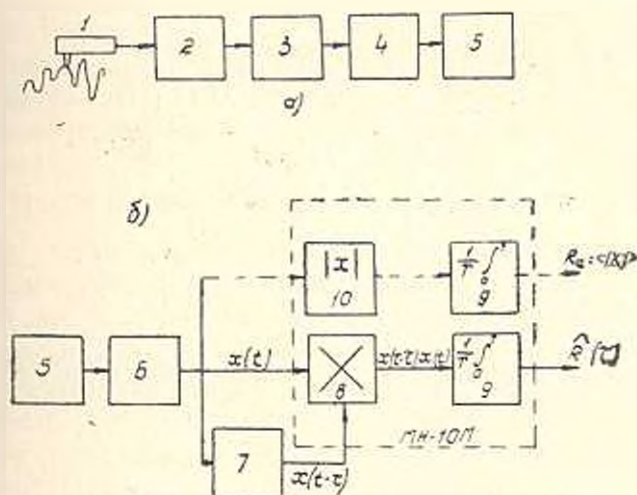


Рис. 5. Блок-схема коррелятора: а—измерение и запоминание; б—воспроизведение и расчет; 1—датчик; 2—профилометр; 3—ограничивающий фильтр; 4—модулятор; 5—магнитофон; 6—демодулятор; 7—блок постоянного запаздывания; 8—блок перемножения; 9—блок усреднения; 10—блок выделения модуля.

(рис. 5,а), содержащий профилометр мод. 201 (з-да «Калибр»), ограничивающий фильтр для исключения волнистости (рассчитанный по скорости сканирования датчика и базовой длине по ГОСТ 2789-59), модулятор и магнитофон. Вторая часть коррелятора—блок воспроизведения и расчета (рис. 5,б)—содержит демодулятор, блок постоянного запаздывания (типа БПЗ-2м), блоки перемножения и усреднения, набранные на аналоговой моделирующей установке типа МН-10м.

Оценка  $\hat{R}(\tau)$  корреляционной функции отыскивается на основе реализации коррелятором соотношения (1) путем задания последовательных значений времени задержки  $\tau$  (на БПЗ-2м) и выполнения при каждом значении операций перемножения и усреднения, что, ес-

тественно, связано с повторяющимся проигрыванием записанной реализации.

Возможность использования для введения постоянного запаздывания блока типа БПЗ—2 м, имеющего ограничение  $\omega \tau < 2\pi$  по спектру частот  $\omega$  входного сигнала, определяется поставленной целью измерения случайной составляющей корреляционной функции, позволяющей ограничиться диапазоном  $\tau < \tau_k$ . Для функций, связанных парой преобразований Фурье, какими и являются корреляционная функция  $R(\tau)$  и спектральная плотность  $G(\omega)$ , имеет силу общего характера связь  $\tau_k \cdot f_n = \mu$ , где  $\mu$  — постоянная порядка единицы,  $f_n$  — верхняя частота спектра. Так, для  $R(\tau)$  вида (2)

$$G(\omega) = \frac{\sigma^2}{\sqrt{\pi\alpha}} e^{-\frac{\omega^2}{4\alpha}} \quad (19)$$

значению 0,1  $R(\tau)$  соответствует по (7)  $\tau_k = \sqrt{2,3/\alpha}$ , и если считать  $f_n = 1/\tau_k$ , то из (19) следует, что  $G(\omega_n) \approx 0,014$ . Иными словами, ограничение по блоку БПЗ—2м позволяет охватить практически весь спектр сигнала.

Длина реализации (время интегрирования) назначается, исходя из желаемой статистической точности оценки  $R(\tau)$  (достаточно принять нормированную среднеквадратическую ошибку оценки  $\varepsilon = 0,1$ ) и полосы частот процесса (обычно укладывается в 5 гц). Инструментальная точность коррелятора оценивалась по тесту на синусоиду и составила примерно 5%. Кроме того, по профилограммам проводился расчет  $R(\tau)$  на ЭВМ и результат сравнивался с полученным на корреляторе; расхождения укладывались в заданную величину  $\varepsilon$ . Калибровка прибора (необходимая из-за подстройки уровня записи и громкости воспроизведения) осуществляется сравнением показаний  $R_a$  профилометра со средним по модулю значением сигнала  $x(t)$ , для чего введен блок 10 (рис. 5,б). Время анализа корреляционной функции шероховатости обычно укладывается в 15 мин.

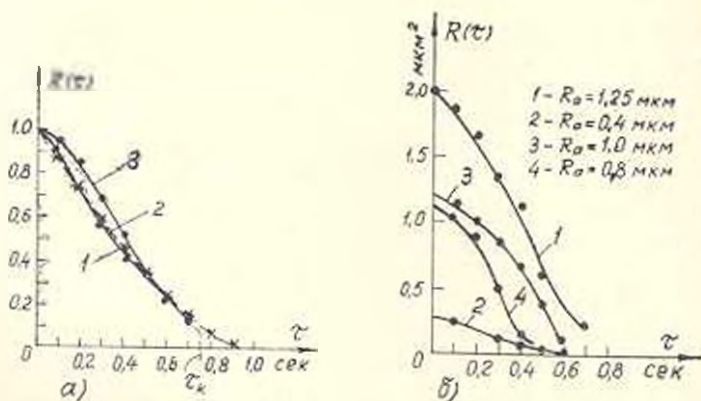


Рис. 6

На рис. 6,а для примера показаны:

- нормированная  $R(\tau)$  шлифованного образца ( $\nabla 8$ ) по коррелятору (кривая 1);
- то же, но по расчету на ЭВМ с профилограммы (кривая 2);
- аппроксимация кривой 1 функцией (2) при  $\alpha$  по (7) (кривая 3).

Кривые 1 и 2 совпадают с точностью 5%; отклонение аппроксимирующей кривой—не более 15%. На рис. 6,б для сравнения приводятся корреллограммы, снятые в двух взаимно перпендикулярных направлениях, по образцам после плоского шлифования с чистотой  $\nabla 7$  (кривые 1 и 2) и абразивно-жидкостной обработки до того же класса чистоты (кривые 3 и 4). Скорость сканирования 1 мм/мин. Оценка по выведенным выше соотношениям показывает, что, несмотря на меньшую на 25% (по  $R_a$ ) высоту микронеровностей, истинная поверхность образца после абразивно-жидкостной обработки оказалась примерно на 10% больше.

Поступило 3.V.1973.

Ս. Լ. ՇՐՈՒՏԵՐ, Ռ. Ա. ԲՈՂԱՅԱՆ, Բ. Լ. ՀԱՅՐԻՎՅԱՆ

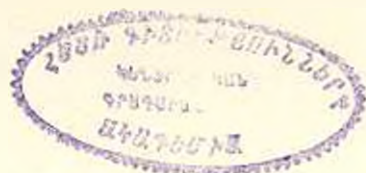
ԿՈՐՐԵԼՅԱՑԻՈՆ ՖՈՒՆԿՑԻԱՆ ՆՈՐՄԻՐՈՒՄԸ ՄՇԱԿՎԱԾ ՄԱԿԵՐԵՎԼՈՒՅԹԻ ՀԱՏԿՈՒԹՅՈՒՆՆԵՐԻ ԲՆՈՒԹԱԳԻՐ

### Ա մ փ օ փ ո ս մ

Հղկանյութով մշակված մակերևույթի նկատմամբ, որի խորդուրորդությունը իրենից ներկայացնում է ստացիոնար նորմալ պատահական պրոցես, գիտվում է կոռելյացիոն ֆունկցիան՝ որպես մակերևույթի շահադործման հատկությունների, մասնավորապես, մակերևույթի իրական մակերեսի և կցվանքի կոնտակտային ամրության, բնութագրի: նկարագրվում է մակերևույթների հատկությունների ուսումնասիրության և խորդուրորդության անհրաժեշտ պարամետրների ստեղծման մեթոդների հետազոտման ժամանակ կոռելյացիոն ֆունկցիայի արագ դեհադաման համար արդյունաբերական սարքերի հիման վրա մշակված կոռելյատորը:

### Л И Т Е Р А Т У Р А

1. Feklenk J. Grundlagen zur Korrelationsstheorie technischer Oberflächen. „Industrie-Anzeiger“, 87, № 26—30, 1965.
2. Dekontinck J. De keuze van een ruwheidsparameter met betrekking tot de boodrechte elastische vervormingen van kontaktoppervlakken. „Revue-M-Tijdschrift“, v. 14, № 3, 1968.
3. Дьяченко П. Е. и др. Площадь фактического контакта сопряженных поверхностей. Изд. АН СССР, М., 1963.



4. *Peklenik J.* New developments in surface characterisation and measurement by means of random process analysis. Intern. Conference of Properties and Metrology of Surfaces. Oxford, 1968, paper 24.
5. *Левин Б. Р.* Теоретические основы статистической радиотехники. Изд. «Советское радио», М., 1969.
6. *Вингенберг Ю. Р.* Применение корреляционной функции для оценки шероховатости шлифованной поверхности. В сб. «Труды ВИАИАН», № 5, 1967.
7. *Бендат Дж.* Основы теории случайных шумов и ее применения. Изд. «Наука», М., 1965.
8. Расчет контактных деформаций и отглов направляющих (руководящие материалы) ЭНИМС. ОНТИ, М., 1963.

В. С. ХАЧАТРЯН

## ОБ ОДНОМ АЛГОРИТМЕ РАСЧЕТА УСТАНОВИВШИХСЯ РЕЖИМОВ БОЛЬШИХ ЭЛЕКТРИЧЕСКИХ СИСТЕМ

Рассматривается энергосистема, состоящая из  $M+1$  узловых точек, каждый узел которой характеризуется четырьмя режимными параметрами: активной и реактивной мощностями, модулем и аргументом напряжения. В зависимости от типа заданной исходной информации узлы классифицируются:

а) базисный (балансирующий) узел, для которого задаются модуль и аргумент напряжения и необходимо определить активную и реактивную мощности;

б) стационарный узел, для которого задаются активная мощность и модуль напряжения и необходимо определить реактивную мощность и аргумент напряжения;

в) нагрузочный узел, для которого задаются активная и реактивная мощности и необходимо определить аргумент и модуль комплексного напряжения.

Задача заключается в определении вышеуказанных неизвестных параметров путем решения системы нелинейных алгебраических уравнений установившихся режимов, построенных на основе  $Z$  обобщенных параметров сети [1-4].

$$\dot{U}_i = \dot{U}_b + Z_{ij} \cdot I_j, \quad (1)$$

где  $\dot{U}_i$  и  $I_j$  — многомерные векторы узловых комплексных напряжений и токов,  $\dot{U}_b$  — напряжение базисного узла, а  $Z_{ij}$  — матрица обобщенных параметров. Исследование показало, что, с точки зрения быстроты сходимости, для решения системы (1) необходимо пользоваться методом Ньютона-Рафсона. Однако, из-за требования большой памяти при построении матрицы Якоби, до настоящего времени для решения (1) не был применен метод Ньютона-Рафсона. Поэтому, успешное применение метода Ньютона-Рафсона требует минимизации порядка  $Z$ -матрицы или матрицы Якоби.

С этой целью применяется идея представления большой энергосистемы как совокупности радиально соединенных подсистем [3, 4]. При этом, вместо матрицы  $Z_{ij}$  в память машины необходимо хранить другую матрицу, которая называется расчетной  $Z$ -матрицей и имеет следующий вид [4]:



$\Phi_{p1}(P, Q, U, \psi) = 0$			
$\Phi_{q1}(P, Q, U, \psi) = 0$			
<table border="1" style="margin: auto;"> <tr> <td style="padding: 5px;"><math>\Phi_{p2}(P, Q, U, \psi) = 0</math></td> </tr> <tr> <td style="padding: 5px;"><math>\Phi_{q2}(P, Q, U, \psi) = 0</math></td> </tr> <tr> <td style="text-align: center;">...</td> </tr> </table>	$\Phi_{p2}(P, Q, U, \psi) = 0$	$\Phi_{q2}(P, Q, U, \psi) = 0$	...
$\Phi_{p2}(P, Q, U, \psi) = 0$			
$\Phi_{q2}(P, Q, U, \psi) = 0$			
...			
<table border="1" style="margin: auto;"> <tr> <td style="padding: 5px;"><math>\Phi_{pN}(P, Q, U, \psi) = 0</math></td> </tr> <tr> <td style="padding: 5px;"><math>\Phi_{qN}(P, Q, U, \psi) = 0</math></td> </tr> </table>	$\Phi_{pN}(P, Q, U, \psi) = 0$	$\Phi_{qN}(P, Q, U, \psi) = 0$	
$\Phi_{pN}(P, Q, U, \psi) = 0$			
$\Phi_{qN}(P, Q, U, \psi) = 0$			

(5)

Применительно к (5) метод Ньютона-Рафсона дает:

$Q_{m1}$	$Q_{m1}$	$\frac{\partial \Phi_{pm1}}{\partial Q_{m1}}$	$\frac{\partial \Phi_{pm1}}{\partial U_{k1}}$	$\frac{\partial \Phi_{pm1}}{\partial \psi_{j1}}$	×	$\Phi_{pm1}$
$U_{k1}$	$U_{k1}$	$\frac{\partial \Phi_{pk1}}{\partial Q_{n1}}$	$\frac{\partial \Phi_{pk1}}{\partial U_{k1}}$	$\frac{\partial \Phi_{pk1}}{\partial \psi_{j1}}$		$\Phi_{pk1}$
$\psi_{j1}$	$\psi_{j1}$	$\frac{\partial \Phi_{q1}}{\partial Q_{n1}}$	$\frac{\partial \Phi_{q1}}{\partial U_{k1}}$	$\frac{\partial \Phi_{q1}}{\partial \psi_{j1}}$		$\Phi_{q1}$
...	...	...	...	...		...
$Q_{mN}$	$Q_{mN}$	$\frac{\partial \Phi_{pmN}}{\partial Q_{mN}}$	$\frac{\partial \Phi_{pmN}}{\partial U_{kN}}$	$\frac{\partial \Phi_{pmN}}{\partial \psi_{jN}}$		$\Phi_{pmN}$
$U_{kN}$	$U_{kN}$	$\frac{\partial \Phi_{pkN}}{\partial Q_{nN}}$	$\frac{\partial \Phi_{pkN}}{\partial U_{kN}}$	$\frac{\partial \Phi_{pkN}}{\partial \psi_{jN}}$		$\Phi_{pkN}$
$\psi_{jN}$	$\psi_{jN}$	$\frac{\partial \Phi_{qN}}{\partial Q_{nN}}$	$\frac{\partial \Phi_{qN}}{\partial U_{kN}}$	$\frac{\partial \Phi_{qN}}{\partial \psi_{jN}}$		$\Phi_{qN}$

(6)

Величины, входящие в (6), определяются как:

$$\Phi_{pi} = \frac{1}{U_i} (U_{Bat} H_i + U_{Bpi} K_i) + \gamma_{ij} - P_i = 0; \tag{7}$$

$$\Phi_{qi} = \frac{1}{U_i} (U_{Bat} K_i - U_{Bpi} H_i) + \delta_{ij} - Q_i = 0. \tag{8}$$

На основании (7) и (8) можно написать выражения частных производных, входящих в матрицу Якоби.

При одинаковых индексах ( $i=j$ ):

$$\frac{\partial \Phi_{pi}}{\partial Q_i} = \frac{1}{U_i} (U_{Bat} \sin \psi_i - U_{Bpi} \cos \psi_i) + \frac{2Q_i}{U_i^2} R_{ii} + H_{ij}; \tag{9}$$

$$\frac{\partial \Phi_{pi}}{\partial U_i} = -\frac{P_i^2 + Q_i^2}{U_i^3} R_{ii} - \frac{P_i}{U_i}; \tag{10}$$

$$\frac{\partial \Phi_{pi}}{\partial \psi_i} = - \frac{P_i^2 + Q_i^2}{U_i^2} R_{ii} + Q_i; \quad (11)$$

$$\frac{\partial \Phi_{pi}}{\partial Q_i} = \frac{1}{U_i} (U_{\text{Бал}} \cos \psi_i + U_{\text{Бпр}} \sin \psi_i) + \frac{2Q_i}{U_i^2} X_{ii} + \alpha_{ii} - 1; \quad (12)$$

$$\frac{\partial \Phi_{qi}}{\partial U_i} = - \frac{P_i^2 + Q_i^2}{U_i^2} X_{ii} - \frac{Q_i}{U_i}; \quad (13)$$

$$\frac{\partial \Phi_{qi}}{\partial \psi_i} = \frac{P_i^2 + Q_i^2}{U_i^2} R_{ii} - P_i. \quad (14)$$

При разных индексах ( $i \neq j$ ):

$$\frac{\partial \Phi_{pj}}{\partial Q_i} = R_{ij} \beta_{ij} + X_{ij} \alpha_{ij}; \quad (15)$$

$$\frac{\partial \Phi_{pi}}{\partial U_j} = - \frac{1}{U_j} (R_{ji} A_{ji} + X_{ji} B_{ji}); \quad (16)$$

$$\frac{\partial \Phi_{pj}}{\partial \psi_i} = R_{ji} B_{ji} - X_{ji} A_{ji}; \quad (17)$$

$$\frac{\partial \Phi_{qj}}{\partial Q_i} = -(R_{ij} \alpha_{ij} - X_{ij} \beta_{ij}); \quad (18)$$

$$\frac{\partial \Phi_{qi}}{\partial U_j} = \frac{1}{U_j} (R_{ji} B_{ji} - X_{ji} A_{ji}); \quad (19)$$

$$\frac{\partial \Phi_{qj}}{\partial \psi_i} = R_{ji} A_{ji} + X_{ji} B_{ji}. \quad (20)$$

В вышеприведенных выражениях приняты следующие обозначения:

$$H_i = P_i \cos \psi_i + Q_i \sin \psi_i; \quad (21)$$

$$K_i = P_i \sin \psi_i - Q_i \cos \psi_i. \quad (22)$$

$$A_{ij} = \frac{1}{U_i U_j} [(P_i P_j + Q_i Q_j) \cos(\psi_i - \psi_j) + (Q_i P_j - P_i Q_j) \sin(\psi_i - \psi_j)]; \quad (23)$$

$$B_{ij} = \frac{1}{U_i U_j} [(P_i P_j + Q_i Q_j) \sin(\psi_i - \psi_j) - (Q_i P_j - P_i Q_j) \cos(\psi_i - \psi_j)]; \quad (24)$$

$$\alpha_{ij} = \frac{1}{U_i U_j} [P_j \cos(\psi_i - \psi_j) - Q_j \sin(\psi_i - \psi_j)]; \quad (25)$$

$$\beta_{ij} = \frac{1}{U_i U_j} [P_j \sin(\psi_i - \psi_j) + Q_j \cos(\psi_i - \psi_j)]; \quad (26)$$

$$\gamma_{ij} = \sum_{l=1}^M (R_{lj}A_{lj} + X_{lj}B_{lj}); \quad (27)$$

$$\delta_{ij} = \sum_{l=1}^M (x_{lj}A_{lj} - R_{lj}B_{lj}); \quad (28)$$

$$\epsilon_{ij} = \sum_{l=1}^M (R_{lj}z_{lj} + x_{lj}\beta_{lj}); \quad (29)$$

$$\theta_{ij} = \sum_{l=1}^M (R_{lj}\beta_{lj} - x_{lj}z_{lj}). \quad (30)$$

С другой стороны:

$$U_{\text{вн}} = \operatorname{Re}(U_{\text{вн}}); \quad U_{\text{врт}} = \operatorname{Im}(U_{\text{вн}}). \quad (31)$$

Предлагается следующая очередность решения поставленной задачи.

1. Устанавливаются предварительные значения комплексных токов узлов большой энергосистемы как совокупность узловых токов отдельных подсистем:

$$\vec{I}_l = (I_{l1}, I_{l2}, \dots, I_{lN}). \quad (32)$$

При этом токи отдельных узлов определяются по формуле:

$$I_l = \frac{P_l - jQ_l}{\vec{U}_l}. \quad (33)$$

2. Устанавливаются численные значения базисных напряжений первой подсистемы  $U_{\text{вн}}$ .

3. Устанавливая численные значения элементов матрицы Якоби первой подсистемы, определяются неизвестные режимные параметры этой же подсистемы из (6):

$$\begin{bmatrix} Q_{m_1} \\ U_{k_1} \\ \varphi_{11} \end{bmatrix} = \begin{bmatrix} Q_{m_1} \\ U_{k_1} \\ \varphi_{11} \end{bmatrix}^{-1} \begin{bmatrix} \frac{\partial \Phi_{pm_1}}{\partial Q_{m_1}} & \frac{\partial \Phi_{pm_1}}{\partial U_{k_1}} & \frac{\partial \Phi_{pm_1}}{\partial \varphi_{11}} \\ \frac{\partial \Phi_{pk_1}}{\partial Q_{m_1}} & \frac{\partial \Phi_{pk_1}}{\partial U_{k_1}} & \frac{\partial \Phi_{pk_1}}{\partial \varphi_{11}} \\ \frac{\partial \Phi_{q1_1}}{\partial Q_{m_1}} & \frac{\partial \Phi_{q1_1}}{\partial U_{k_1}} & \frac{\partial \Phi_{q1_1}}{\partial \varphi_{11}} \end{bmatrix}^{-1} \begin{bmatrix} \Phi_{pm_1} \\ \Phi_{pk_1} \\ \Phi_{q1_1} \end{bmatrix}. \quad (34)$$

4. Определяя из (30) комплексное напряжение  $\vec{U}_{M_1}$  последнего  $M_1$  узла первой подсистемы, устанавливаем численные значения базисных напряжений второй подсистемы  $U_{\text{вн}}$ .

5. Устанавливаются численные значения элементов матрицы Якоби для второй подсистемы и определяются ее режимные параметры и т. д.

6. Определяя комплексное напряжение  $U_{M,N-1}$  последнего узла предпоследней подсистемы, устанавливаются численные значения базисных напряжений  $N$ -ой подсистемы.

7. Устанавливая численные значения элементов матрицы Якоби  $N$ -ой подсистемы, определяются ее неизвестные режимные параметры из (6):

$$\begin{array}{c} Q_{mN} \\ U_{kN} \\ \dot{q}_{iN} \end{array} = \begin{array}{c} Q_{mN} \\ U_{kN} \\ \dot{q}_{iN} \end{array} \times \begin{array}{c} \frac{\partial \Phi_{pmN}}{\partial Q_{nN}} \\ \frac{\partial \Phi_{pkN}}{\partial Q_{nN}} \\ \frac{\partial \Phi_{qiN}}{\partial Q_{nN}} \end{array} \begin{array}{c} \frac{\partial \Phi_{pmN}}{\partial U_{gN}} \\ \frac{\partial \Phi_{pkN}}{\partial U_{gN}} \\ \frac{\partial \Phi_{qiN}}{\partial U_{gN}} \end{array} \begin{array}{c} \frac{\partial \Phi_{pmN}}{\partial \dot{q}_{jN}} \\ \frac{\partial \Phi_{pkN}}{\partial \dot{q}_{jN}} \\ \frac{\partial \Phi_{qiN}}{\partial \dot{q}_{jN}} \end{array} \times \begin{array}{c} \Phi_{pmN} \\ \Phi_{pkN} \\ \Phi_{qiN} \end{array} \quad (35)$$

Этим заканчивается полный цикл одной итерации. Процесс считается законченным, когда функции  $\Phi_p$  и  $\Phi_q$  стремятся к нулю.

*Пример расчета.* Для численной иллюстрации предложенного метода рассмотрим схему замещения одной электрической системы, состоящей из 10 узлов и представляющей совокупность трех радиально связанных подсистем [4]. Численные значения элементов расчетной  $Z$ -матрицы также приводятся в [4]. Задается следующая исходная информация относительно режимных параметров отдельных узлов (табл. 1).

Таблица 1

Исходные режимные параметры

Узлы	Подсистемы	$P, \text{ Мвт}$	$Q, \text{ Мвар}$	$U, \text{ кв}$	$\psi$
ЭС-0		—	—	220,0	0°0'
ЭН-1	I	110,0	50,0	—	—
ЭС-2		106,0	—	215,1	—
ЭН-3		60,0	28,0	—	—
ЭН-4		104,0	51,0	—	—
ЭС-5	II	85,0	—	210,2	—
ЭН-6		100,0	48,0	—	—
ЭС-7		60,0	—	215,1	—
ЭН-8	III	94,0	45,0	—	—
ЭС-9		80,0	—	212,1	—

Процесс решения данной задачи производится по той же последовательности, что и было предложено выше.

I. Устанавливаются предварительные значения узловых токов отдельных подсистем:

$$\begin{array}{l} \begin{array}{|c|} \hline I_1 \\ \hline I_2 \\ \hline I_3 \\ \hline \end{array} = \begin{array}{|c|} \hline -0,5000 + j0,2273 \\ \hline 0,4930 + j0,0000 \\ \hline -0,2727 + j0,1273 \\ \hline \end{array}; \quad \begin{array}{l} \begin{array}{|c|} \hline I_4 \\ \hline I_5 \\ \hline I_6 \\ \hline \end{array} = \begin{array}{|c|} \hline 0,4727 + j0,2318 \\ \hline 0,4044 + j0,0000 \\ \hline -0,4545 + j0,2182 \\ \hline \end{array} \\ \\ \begin{array}{|c|} \hline I_7 \\ \hline I_8 \\ \hline I_9 \\ \hline \end{array} = \begin{array}{|c|} \hline 0,2789 + j0,0000 \\ \hline -0,4273 + j0,2045 \\ \hline 0,3771 + j0,0000 \\ \hline \end{array} \end{array}$$

2. Устанавливается численное значение

$$U_{\text{вн}} = \begin{array}{|c|} \hline U_{\text{вн1}} \\ \hline U_{\text{вн2}} \\ \hline U_{\text{вн3}} \\ \hline \end{array} = \begin{array}{|c|} \hline 210,9023 + j0,6657 \\ \hline 209,3068 + j0,2597 \\ \hline 209,2425 - j0,4768 \\ \hline \end{array}$$

3. Устанавливаются численные значения элементов матрицы Якоби

0,4872	-0,0319	-0,0025	-54,8041	3,3847	-1,2482
0,0120	0,0332	0,0076	2,1294	-5,0650	1,5250
-0,0023	-0,0213	0,2695	-1,2590	2,2681	-29,7074
0,2054	0,0012	-0,0056	112,8102	-0,1363	0,5507
0,0096	-0,0420	0,0069	-2,6473	-103,4972	-1,6812
-0,0057	-0,0008	0,1195	0,5226	0,0889	60,6902

и определяются неизвестные режимные параметры 1 подсистемы:

$U_1 = 210,5593$  кв;  $Q_2 = 141,5814$  Мвар,  $U_3 = 213,4790$  кв;  $\psi_1 = -1^\circ 34'$ ;  $\psi_2 = -2^\circ 29'$  и  $\psi_3 = -1^\circ 16'$ .

4. Определяются комплексное напряжение  $U_3 = 213,4159 - j4,7180$  и численное значение напряжения  $U_{\text{вн}}$ :

$$\begin{array}{|c|} \hline U_{\text{вн1}} \\ \hline U_{\text{вн2}} \\ \hline U_{\text{вн3}} \\ \hline \end{array} = \begin{array}{|c|} \hline 216,8767 - j1,5115 \\ \hline 219,5499 - j1,7396 \\ \hline 219,9984 - j1,1068 \\ \hline \end{array}$$

5. Устанавливается матрица Якоби второй подсистемы

0,4655	-0,0314	-0,0067	-54,1047	2,6753	-2,9858
0,0097	0,0531	0,0142	1,6066	-4,4453	2,2042
-0,0069	-0,0449	0,4101	-2,9603	3,8168	-53,1994
0,2177	0,0004	-0,0135	105,5801	-0,0397	1,4880
0,0073	-0,0536	0,0100	-2,1395	-82,3784	-3,1248
-0,0134	0,0027	0,1945	1,5380	-0,2347	103,1665

и определяются неизвестные режимные параметры:

$U_4 = 207,8623$ ;  $Q_3 = -13,5383$ ;  $U_6 = 206,0394$ ;  $\psi_4 = -0^\circ 57'$ ;  $\psi_5 = 0^\circ 22'$ ;  
 $\psi_6 = -1^\circ 14'$ .

6. Определяются комплексное напряжение  $U_6 = 206,1368 - j4,4311$  и численное значение напряжения  $U_{B3}$ :

$$\begin{array}{l} \overline{U_{B7}} \\ \overline{U_{B8}} \\ \overline{U_{B9}} \end{array} = \begin{array}{l} \boxed{206,7787 - j9,7761} \\ \boxed{206,7524 - j10,9654} \\ \boxed{206,7432 - j13,4178} \end{array}$$

7. Устанавливается матрица Якоби третьей подсистемы

0.0390	0.0131	0.0331	- 1.9763	2.4239	- 2.6723
-0.0619	0.4080	-0.0765	3.7176	-52.7761	6.1269
0.0445	0.0221	0.0756	- 2.6723	3.7292	- 5.8876
-0.0656	0.0106	-0.0153	-59.0585	- 2.8913	1.2730
-0.0001	0.1691	0.0018	0.0071	98.2313	- 0.1450
-0.0212	0.0169	-0.0701	1.2730	- 4.8634	-76.8087

и определяются неизвестные режимные параметры:  $Q_7 = 94,0219$ ;  
 $U_8 = 208,3876$ ;  $Q_8 = 22,6437$ ;  $\psi_7 = -6^\circ 6'$ ;  $\psi_8 = 1^\circ 56'$ ;  $\psi_9 = -0^\circ 36'$ .

Используя полученные значения режимных параметров отдельных подсистем и заданные исходные данные, начинаем новую итерацию. Проведя три итерации, устанавливаются значения неизвестных режимных параметров с обеспечением средней точности 0,01.

ԱրմՀՊՊԷ

Поступило 1.11.1974.

#### Վ. Ս. ԿԱԶԱՏՐԱՆ

ՄԵՆՏ ԷԼԵԿՏՐԱԿԱՆ, ՈՒՍԵՄԵՐՆԵՐԻ ԿԱՅՈՒՆ, ՌԵԺԻՄՆԵՐԻ ՀԱՇՎՄԱՆ ՄԻ ԱԼԳՈՐԻԹՄԻ ՄԱՍԻՆ

#### Ա Վ Փ Ո Փ Ո Ւ Մ

Մեծ էլեկտրական սխեմաների կայուն էլեկտրական ուժիմաների հաշվման համար հողվածում առաջարկվում է նոր մեթոդ հիմնված այն սկզբունքի վրա, որ մեծ էներգասխտեմաները կարելի է ներկայացնել որպես շառավղային մեկ կառուցող ենթասխտեմաների ամբողջություն: Ստացված ոչ-գծային հանրահաշվական հավասարումների սխտեմաների լուծման համար օգտագործվում է նյուտոնի մեթոդը: Մշակված է հաշվարկային ալգորիթմ, որը հնարավորություն է բնձնում կազմել համապատասխան ծրագիր թվային հաշվիչ մեքենաների համար:

#### Л И Т Е Р А Т У Р А

1. Адоиц Г. Т. Многополюсник. Изд. АН АрмССР, Ереван, 1965.
2. Марковиц И. М. Режимы энергетических систем. Гостэнергоиздат, 1963.
3. Хачатрян В. С., Суханов О. А. Диагностика и задача определения обобщенных параметров больших энергосистем. «Электричество», 1973, № 4.
4. Хачатрян В. С. Метод и алгоритм расчета установившихся режимов больших энергосистем, «Известия АН СССР. Энергетика и транспорт», 1973, № 4.

ВЫЧИСЛИТЕЛЬНАЯ ТЕХНИКА

Р. С. РАФЛЕЛЯН, Г. Л. КАНТАРДЖЯН, Р. А. ХАЧАТРЯН

ОПТИМИЗАЦИЯ ИНЕРЦИОННЫХ СИСТЕМ С КОРРЕКТИРОВОЙ РАБОЧИХ ШАГОВ ПО СКОРОСТИ ГОРИЗОНТАЛЬНОГО ДРЕЙФА СТАТИЧЕСКОЙ НЕЛИНЕЙНОЙ ХАРАКТЕРИСТИКИ

Большинство объектов, встречающихся на практике, можно с достаточной степенью точности аппроксимировать двумя апериодическими звеньями (1). При этом отыскание и поддержание оптимального входного управления происходит в условиях, когда управляемая система подвержена низкочастотным возмущениям  $\varphi(t)$ , приводящим к непрерывному дрейфу статической экстремальной характеристики, в частности, случаю малозученного горизонтального дрейфа. Доказано, что учет горизонтального дрейфа статической экстремальной характеристики может привести к выходу системы из состояния устойчивости, т. е. система вместо нахождения значения входного параметра, соответствующего экстремуму выхода, может в процессе поиска сместить входной параметр в одно из своих крайних положений и, таким образом, нарушить нормальный ход технологического цикла (если система связана с таковым), а в некоторых случаях даже привести к созданию аварийной ситуации.

Выведем алгоритм, определяющий стратегию поиска последовательности управлений, применяя идею прогнозирования установившегося значения [2, 3] с корректировкой величин шагов в зависимости от скорости горизонтального дрейфа, и обеспечивающий устойчивость в процессе поиска экстремума.

Структурная схема системы показана на рис. 1. Экстремальное звено аппроксимировано параболой второго порядка  $Q_{ст} - Q^* = -kx^2$ .

Передаточные функции приняты в виде  $W_i(b) = \frac{1}{T_i p + 1}$ , где  $T_1 \neq T_2$

— заданные постоянные времени апериодических звеньев.

$\varphi(t)$  — аддитивные случайные помехи, накладываемые на выходе системы: они представляют собой случайный процесс с ограниченной дисперсией (наличие смещенности их не будет ограничивать общности выводов).

$\Phi(p)$  — фильтр, отфильтровывающий (полностью или частично) помехи  $\varphi(t)$ . Поскольку постоянная времени фильтра намного меньше  $T_1$  и  $T_2$ , то при исследовании динамики системы ею можно пренебречь.

В УВМ значения  $Q^{*n}(t)$  преобразуются в цифровой код, и, далее, по этой информации реализуется выводимый алгоритм с воздействием на управляемый входной параметр  $x(t)$ .

Предположим, что скорость  $V^*(t)$  горизонтальной составляющей дрейфа в интервалах между двумя последовательными смещениями входного управляющего воздействия аппроксимирована своими средними значениями  $V_1^*$ , что естественно для инерционных объектов, в которых превалирует постоянная составляющая дрейфа.

Связь между динамическим выходом  $Q$  и статическим выходом  $Q_{ст}$  представится уравнением

$$(T_1 p + 1)(T_2 p + 1)Q = Q_{ст} \quad (1)$$

с начальными условиями: при  $t=0$

$$x = x_0, \quad Q = Q_0, \quad Q' = Q_0', \quad (2)$$

причем, в общем случае,  $Q_0 \neq Q(x_0)$ .

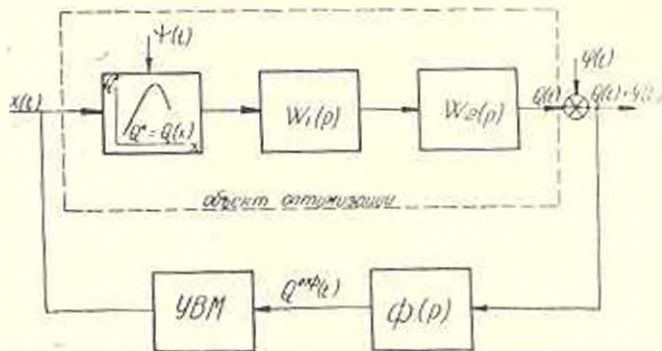


Рис. 1.

Пусть в момент времени  $t=0^+$  в произвольном направлении совершено скачкообразное изменение управления на величину  $\Delta x$ . Полагаем, что статическая характеристика дрейфует вправо, что не сужает общности рассуждений. Во временном интервале  $0 \leq t < t_1$  переходный процесс определяется начальными условиями (2) и переменным во времени (из-за дрейфа) возмущающим воздействием

$$Q_{ст} - Q_0 = a_0 - [k(x_0 - V_1^* t)^2 - kx_0^2] = a_0 + 2kx_0 V_1^* t - k(V_1^*)^2 t^2, \quad (3)$$

где  $a_0$  — составляющая возмущающего воздействия при  $V_1^* = 0$ . Перейдем к системе координат  $\Delta = Q - Q_0$ ;  $t$ . Тогда переходный процесс опишется уравнением

$$(T_1 p + 1)(T_2 p + 1)\Delta = a_0 + 2kx_0 V_1^* t - k(V_1^*)^2 t^2 \quad (4)$$

с начальными условиями:

$$\Delta(t=0) = 0; \quad \Delta'(t=0) = \Delta_0' \quad (5)$$

Общее решение уравнения (4) с начальными условиями (5) имеет вид:

$$\Delta(t) = a_0 A(t) + \Delta_0 B(t) + k(V_0^t) C(t) + k V_0^t x_0 D(t), \quad (6)$$

где

$$A(t) = 1 - \frac{T_1}{T_1 - T_2} e^{-t/T_1} + \frac{T_2}{T_1 - T_2} e^{-t/T_2};$$

$$B(t) = \frac{T_1 T_2}{T_1 - T_2} (e^{-t/T_1} - e^{-t/T_2});$$

$$C(t) = 2 \left[ \frac{T_1^2}{T_1 - T_2} e^{-t/T_1} - \frac{T_2^2}{T_1 - T_2} e^{-t/T_2} - \frac{t^2}{2} + t(T_1 + T_2) - T_1 T_2 - T_2^2 \right];$$

$$D(t) = 2 \left[ \frac{T_1^2}{T_1 - T_2} e^{-t/T_1} - \frac{T_2^2}{T_1 - T_2} e^{-t/T_2} + t - T_1 - T_2 \right].$$

Обозначив  $k(V_0^t)^2 = \delta_0$ ,  $k V_0^t = \gamma_0$  и придав  $\Delta(t)$  в этом интервале по номеру входного смещения индекс 0, (6) запишется в виде:

$$\Delta_0(t) = a_0 A(t) + \Delta_0 B(t) + \delta_0 C(t) + \gamma_0 x_0 D(t). \quad (9)$$

Таким образом, искомые неизвестные  $a_0$ ,  $\Delta_0$ ,  $\delta_0$ , и  $\gamma_0$  связаны с  $\Delta_0(t)$  функциональной зависимостью (9), аналитический вид которой известен. Для определения неизвестных даются  $n$  выдержек времени через равные интервалы времени  $\tau$ , в конце которых измеряются значения  $\Delta_0(t\tau) = \Delta_{0i}$ . Интервалы выдержек выбираются, исходя из параметров объекта. Получаем систему  $n+1$  линейных алгебраических уравнений:

$$[a_0 A_i + \Delta_0 B_i + \delta_0 C_i + \gamma_0 x_0 D_i - \Delta_{0i} = 0]. \quad (10)$$

Если в систему (10) подставить какой-нибудь набор значений  $\{a_0; \Delta_0; \delta_0; \gamma_0\}$ , то, в общем случае, левые части уравнений (10) будут равны не нулю, а соответственно  $-\varepsilon_0, \varepsilon_1, \dots, \varepsilon_n$  из-за неидеальной фильтрации аддитивных помех  $\varphi(t)$ , накладываемых на динамическом выходе системы (см. рис. 1).

Определим систему значений  $a_0; \Delta_0; \delta_0; \gamma_0$  таким образом, чтобы сумма квадратов ошибок

$$E = \sum_{i=0}^n \varepsilon_i^2 = \sum_{i=0}^n (a_0 A_i + \Delta_0 B_i + \delta_0 C_i + \gamma_0 x_0 D_i - \Delta_{0i})^2 \quad (11)$$

была минимальной. Отсюда получаем систему:

$$\frac{1}{2} \frac{\partial E}{\partial a_0} = a_0 \sum_{i=0}^n A_i^2 + \Delta_0 \sum_{i=0}^n A_i B_i + \delta_0 \sum_{i=0}^n A_i C_i + \gamma_0 x_0 \sum_{i=0}^n A_i D_i - \sum_{i=0}^n A_i \Delta_{0i} = 0;$$

$$\begin{aligned} \frac{1}{2} \frac{\partial E}{\partial a_0} &= a_0 \sum_{l=0}^n A_l B_l + \Delta_0 \sum_{l=0}^n B_l + \delta_0 \sum_{l=0}^n B_l C_l + \gamma_0 x_0 \sum_{l=0}^n B_l D_l - \sum_{l=0}^n B_l \Delta_{0l} = 0; \\ \frac{1}{2} \frac{\partial E}{\partial \gamma_0} &= a_0 x_0 \sum_{l=0}^n A_l D_l + \Delta_0 x_0 \sum_{l=0}^n D_l B_l + \delta_0 x_0 \sum_{l=0}^n D_l C_l + \gamma_0 x_0^2 \sum_{l=0}^n D_l^2 - x_0 \sum_{l=0}^n \Delta_{0l} D_l = 0; \\ \frac{1}{2} \frac{\partial E}{\partial \delta_0} &= a_0 \sum A_l C_l + \Delta_0 \sum_{l=0}^n B_l C_l + \delta_0 \sum_{l=0}^n C_l^2 + \gamma_0 x_0 \sum D_l C_l - \sum \Delta_{0l} C_l = 0. \end{aligned} \quad (12)$$

Решив систему (12), определим наиболее вероятные оценки  $a_0^*$ ,  $\Delta_0^*$ ,  $\delta_0^*$ ,  $\gamma_0^*$  параметров  $a_0$ ,  $\Delta_0$ ,  $\delta_0$ ,  $\gamma_0$ .

Полученные оценки представляются в виде:

$$a_0^* = \frac{|D_{a_0}|}{|D|}; \quad \Delta_0^* = \frac{|D_{\Delta_0}|}{|D|}; \quad \delta_0^* = \frac{|D_{\delta_0}|}{|D|}; \quad \gamma_0^* = \frac{|D_{\gamma_0}|}{|D|}, \quad (13)$$

где  $|D|$  — главный определитель системы (12), а  $|D_{a_0}|$ ,  $|D_{\Delta_0}|$ ,  $|D_{\delta_0}|$ ,  $|D_{\gamma_0}|$  — определители, полученные из  $|D|$  заменой столбцов при соответствующих индексах определителей столбцов свободных членов.

Используя полученные оценки  $a_0^*$ ,  $\Delta_0^*$ ,  $\delta_0^*$  и  $\gamma_0^*$ , можем определить наиболее вероятную оценку  $Q_1^*$  значения статической характеристики  $Q_1$ , соответствующего фиксированному значению управления  $x_1$ ,

$$Q_1^* = Q_0 + a_0^* + 2\gamma_0^* x_0 n \tau - \delta_0^* (n \tau)^2. \quad (14)$$

Далее, сравниваем значения  $Q_1^*$  и  $Q_0$ .

$$r_0 = Q_1^* - Q_0. \quad (15)$$

Новое скачкообразное изменение управляющего воздействия  $x$  на  $\Delta x_1$  производим по закону

$$\Delta x_1 = |\Delta x| \operatorname{sign} \{r_0 \cdot \Delta x_0\} + \frac{\delta_0^*}{\gamma_0^*} n \tau, \quad (16)$$

где  $\Delta x$  — постоянная составляющая рабочего смещения входного параметра;

$\frac{\delta_0^*}{\gamma_0^*} n \tau$  — переменная составляющая рабочего смещения, связанная с корректировкой его по скоростям дрейфа статической характеристики. Наличие этой составляющей позволяет как бы "догонять" дрейфующую статическую характеристику. При этом имеем:

$$x_1 = x_0 + \Delta x_1. \quad (17)$$

Таким образом, за промежуток времени  $n\tau$ , если не считать времени, необходимого для производства необходимых вычислений, можно определить  $Q_1^*$ .

Далее изменятся уравнения переходного процесса и начальные ус-

ловия. Произведем параллельный перенос осей координат (отчет времени начнем с момента времени изменения управляющего воздействия):

$$t' = t - n\tau; \Delta_1 = Q - (Q_0 + \Delta_0).$$

Уравнение переходного процесса примет вид:

$$(T_1 p + 1)(T_2 p + 1)\Delta_1 = 2\gamma_1 x_1 t' - \delta_1 t'^2, \quad (18)$$

с начальными условиями:

$$\Delta_1(t' = 0) = 0; \quad \Delta_1'(t' = 0) = \Delta_1'(0), \quad (19)$$

где

$$\Delta_1'(0) = \Delta_0(n\tau);$$

$$\Delta_0(n\tau) = a_0 A'(n\tau) + \Delta_0' B(n\tau) + \delta_0 C'(n\tau) + \gamma_0 x_0 D'(n\tau); \quad (20)$$

$a_0$  — возмущение, возникающее при  $V_1^* = 0$ .

Следовательно, начиная с  $t' = 0$ , переходный процесс в системе будет описываться выражением:

$$\Delta_1(t') = a_1 A(t') + \Delta_0' B(t') + \delta_1 C(t') + \gamma_1 x_1 D(t'). \quad (21)$$

а приращения  $\Delta_{1m}$  ( $m = 0, 1, 2, \dots, n$ ) запишутся в виде:

$$\Delta_{1m} = a_1 A_m + \Delta_0' B_m + \delta_1 C_m + \gamma_1 x_1 D_m. \quad (22)$$

Используя метод наименьших квадратов, определим наиболее вероятные оценки параметров  $a_1$ ,  $\Delta_0'$ ,  $\delta_1$ ,  $\gamma_1$ :

$$a_1^* = \frac{|D_{a_1}|}{|D|}; \quad \Delta_0'^* = \frac{|D_{\Delta_0'}|}{|D|}; \quad \delta_1^* = \frac{|D_{\delta_1}|}{|D|}; \quad \gamma_1^* = \frac{|D_{\gamma_1}|}{|D|}. \quad (23)$$

Далее можем определить значение статической экстремальной характеристики, соответствующее входному управляющему воздействию  $x_1$ ,

$$Q_2^* = a_1^* + [Q_0 + \Delta_0(n\tau)] + 2\gamma_1^* x_1 n\tau - \delta_1^* (n\tau)^2. \quad (24)$$

Следующее изменение входного управляющего воздействия совершится после определения

$$r_1 = Q_2^* - Q_1^* \quad (25)$$

по закону

$$\Delta x_2 = |\Delta x_1| \operatorname{sign} |r_1 \cdot \Delta x_1| + \frac{\delta_1^*}{\gamma_1^*} n\tau, \quad (26)$$

при этом:

$$x_2 = x_1 + \Delta x_2. \quad (27)$$

Обобщая полученные результаты, получим, что после произвольного  $l$ -го изменения входного управляющего воздействия  $Q_{1l}^*$  представится в виде:

$$Q_l^* = Q_{1l-1}^* + [Q_0 + \Delta_0(n\tau) + \Delta_1(n\tau) + \dots + \Delta_{l-1}(n\tau)] + 2\gamma_{l-1}^* x_{l-1} n\tau - \delta_{l-1}^* (n\tau)^2. \quad (28)$$

Придавая в (28) индексу  $i$  значение  $i-1$ , получаем выражение для  $Q_{i-1}^*$  и определяем

$$r_{i-1} = Q_i^* - Q_{i-1}^*. \quad (29)$$

Направление следующего шага определено по закону

$$\Delta x_i = |\Delta x| \operatorname{sign}[r_{i-1} \cdot \Delta x_{i-1}] + \frac{\delta_{i-1}^*}{r_{i-1}} n \tau, \quad (30)$$

при этом:

$$x_i = x_{i-1} + \Delta x_i. \quad (31)$$

Выражения (30) и (31) определяют стратегию приспособляющегося к горизонтальному дрейфу быстрого поиска оптимума в ШСЭУ инерционными объектами.

Реализация выведенной стратегии в системах экстремального управления кроме быстрого действия, связанного с экстраполяцией значений  $Q_i^*$  и корректировкой рабочих шагов по скорости дрейфа, обеспечивает и устойчивость системы в процессе ее функционирования.

Завод „Поливинилцелест“.

Поступило 26. VI. 1974.

Ի. Ս. ԽԱՅԱՆԿՅԱՆ, Գ. Լ. ՂԱՅՔԱՐՉՅԱՆ, Խ. Ս. ԿԱՉԱՏՐՅԱՆ

ԻՆԵՐՑԻՈՆ ԻՄԵՏՍԻՐԻ ՈՊՏԻՄԻԶԱՑԻԱՆ ԱՇԽԱՏԱՆՔԱՅԻՆ ՔԱՅԼԵՐԻ ՀՇՏՈՒՄՈՎ ԸՍՏ ԽՏԱՅԻՎ ՈՉ-ԳՄԱՅԻՆ ԲՆՈՒԹԱԿԵՐԻ ՀՈՐԻԶՈՆԱԿԱՆ ԳՐԵՅՑԻ ԱՐԱԳՈՒԹՅԱՆ

Ա մ փ ո փ ո մ

Հետազոտված է էքստրեմալ կարգավորման բայային սխեմա, որի մեկ իրականացված է վերջնական ժամանակամիջոցի դուշական ազդերի մը Օբյեկտը դսնվում է ցածր հաճախության դրդումների ազդեցության տակ, որոնք ստատիկ էքստրեմալ բնութագիրը հանգեցնում են հորիզոնական գրեյժի Որոնման գործողությունն արագացնելու և սխեմայի կայունությունը ապահովելու նպատակով կատարվում է աշխատանքային բայերի հշտում՝ հաշվի առնելով ստատիկ էքստրեմալ բնութագրի հորիզոնական գրեյժի արագությունը: Այդորի մը թույլ է տալիս արմատապես նվազեցնել կեղծ բայերի հավանականությունը և դրանով իսկ կանխել սխեմայի դուրս գալը կայուն վիճակից:

Л И Т Е Р А Т У Р А

1. Арефьева Б. А. Оптимизация инерционных процессов. Изд. «Машиностроение», 1969.
2. Казакевич В. В., Рафаелян Р. С., Амия Л. Р. «Известия АН АрмССР (серия Т. II)», т. XX, № 4, 1967.
3. Казакевич В. В. О процессе экспериментального регулирования инерционных объектов при наличии возмущения. «Труды I международного конгресса ИФАК», том II. Изд. АН СССР, 1961.

ИЗМЕРИТЕЛЬНАЯ ТЕХНИКА

А. И. МАДОЕВ, Г. С. КАРАПЕТЯН, А. О. МИНАСЯН

ОБНАРУЖЕНИЕ ПОЛЕЗНОГО СИГНАЛА ОТКЛИКА НЕЛИНЕЙНОЙ СИСТЕМОЙ НА ФОНЕ ПОМЕХ\*

§ 2. К синтезу и реализации аппаратных устройств при выделении полезного сигнала.

Анализ параметрических и непараметрических моделей создает предпосылку для реализации оптимального приемника, максимально реагирующего на заданную функцию.

На рис. 6 приведена схема приемника, обеспечивающего максимальную вероятность правильного обнаружения сигнала на фоне помех, состоящего из определенного (оптимального) числа квазиоптимальных фильтров, на выходе которых напряжения детектируются нелинейным детектором, пропускаются через нелинейные преобразователи и поступают на вход ЭВМ и в цепь ОС (устройство «адаптации»). Приемник состоит из набора фильтров, частотные характеристики которых пересекаются и охватывают заданный интервал.

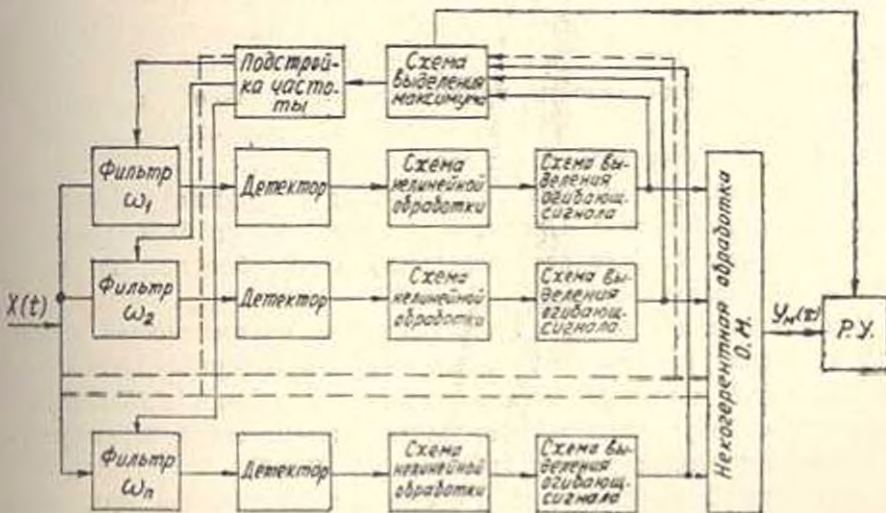


Рис. 6. Блок-схема приемника обнаружения

\* Окончание. Начало см. № 2, 1974.

Поскольку начальная фаза колебаний предполагается случайной, то сигналы на выходе фильтров детектируются. Обработка заключается в определении нетипичных «скачков», когерентных со «стартом», в отборе амплитуд огибающих по наибольшему значению и в построении  $I(\omega)$ . Решение о наличии сигнала выносится всякий раз, когда хотя бы одна из интенсивностей огибающих превысит определенный порог, величина которого может быть выбрана, например, по заданной вероятности того, что помеха в произвольный момент превысит (не превысит) данный уровень. Здесь могут быть применены критерии Зигерта или Неймана-Пирсона. При расстановке фильтров на большом расстоянии друг от друга по оси частот (большая расстройка) возможны большие потери сигнала из-за расстройки его частоты (неизвестной) относительно резонансных частот фильтров. Слишком же близкое расположение требует большое число фильтров и при параллельном анализе приводит к сильной корреляции сигналов в соседних фильтрах. При заданной полосе частот сигнала  $F$  (3 : 30 гц) количество фильтров выбрано равным  $2FT$  (независимо от формы) из условия минимальности отношения огибающей на выходе фильтра при максимальной расстройке  $\Delta\omega_p = \omega - \omega_0$  по отношению к огибающей на выходе при  $\Delta\omega = 0$  ( $\omega_0$  — частота настройки фильтра)<sup>2</sup>.

Обычно задача синтеза оптимальных систем оценивания полезного сигнала на фоне помех требует априорных сведений о характере полезного сигнала и помехи. В условиях поставленной задачи имеем неполную априорную информацию, поэтому применена адаптивная фильтрация. Применение ОС рис. 6 и рис. 7 (указано стрелками) и введение их в схему тракта выделения огибающей, совместно со схемой выбора максимума  $I(t)$ , дает возможность максимально приблизить (по свойствам) электронный анализатор с сосредоточенными постоянными к свойствам базиллярной мембраны слухового анализатора. Это приводит к повышению селективности приемника, а главное — к адаптации, т. е. получаются почти равные значения  $I(t)$  для частот, лежащих в середине полосы фильтров, и для граничных частот.

Полоса фильтров выбирается из условия наилучшего согласования с длительностью отклика. Приемник, построенный по блок-схеме, приведенной на рис. 6, обладает разрешающей способностью, на чем мы подробно не останавливаемся.

В исследованиях по определению степени интенсивностей в мозгу от раздражения различных участков внутреннего органа, необходимо было учитывать латентный период и время достижения максимального значения  $I(\omega)$ , определяемое, в основном, динамической характеристикой фильтра и интегратором приемника (рис. 6 и 7).

Нетрудно убедиться в том, что для экспоненциально затухающей синусоиды (1.16) нормированный спектр равен:

<sup>2</sup> При полосе  $F$  и длительности  $T$  сигналы принадлежат  $2FT$ -мерному пространству. Как известно [1], максимальное число линейно независимых функций в таком пространстве равно  $2FT$ .

$$\frac{|G(\omega)|}{|G(\omega_0)|} = \frac{1}{\sqrt{1 + \left(\frac{\Delta\omega}{\sigma}\right)^2}}. \quad (2.1)$$

Зная спектр сигнала (1.18) (или (2.1)), можно попытаться синтезировать оптимальный фильтр. Фактически задача сводится к следующему:

1. На оси  $\omega$  задана четная неотрицательная функция  $A(\omega) \geq 0$ . Существует ли фильтр  $\Phi$ , имеющий  $A(\omega)$  своей АЧХ?

2. Решение предыдущей задачи приводит к нахождению фильтра с частотной характеристикой  $K(\omega)$ . Физически реализуемый фильтр (минимально фазовый) сводится к построению фильтра, имеющего ту же АЧХ,  $|K(\omega)|$ .

Можно показать, что необходимым и достаточным условием (в дополнение к необходимому условию Винера-Пелли) того, чтобы заданная некоторая функция  $A(\omega)$  была АЧХ некоторого фильтра (слабо устойчивого), нужно выполнение

$$\sup_N \frac{1}{N} \int_0^N A^2(\omega) d\omega < \infty.$$

Под слабо устойчивым фильтром мы понимаем активный фильтр, удовлетворяющий условию\*

$$\int_{-\infty}^{\infty} |U(t+\varepsilon) - U(t-\varepsilon)|^2 dt = O(\varepsilon), \quad (2.2)$$

где  $\varepsilon < 0$ ;  $O(\varepsilon) < \text{const} \cdot \varepsilon$ ;  $U(t)$  — реакция фильтра на единичный вход. Интеграл сходится в среднеквадратичном (классе  $L^2$ ) [2]. На рис. 7 приведена схема активного фильтра одного из каналов приемника, почти оптимального отклику от мгновенного раздражения, с минимальной задержкой. АЧХ такого фильтра (нормированная) полностью совпадает с (2.1), где

$$|(\Delta f)_{\text{opt}}|_{\text{в.т.}} = \frac{0,3 \div 0,4}{\tau_0}$$

\* — длительность сигнала-отклика.

Малое время установления напряжения на выходе фильтра является его отличительной особенностью и необходимым условием для выделения одиночного сигнала.

\* Подынтегральное выражение — это энергия, величина которой (для прямоугольного импульса) конечна, но порядок ее величины больше, чем у класса пассивных (или слабо активных) фильтров. Под активным фильтром подразумевается устройство, удовлетворяющее условию (2.2) (резко выраженная добротность), в отличие от принятого в теоретической радиотехнике понятия активного фильтра, как некоторого корреляционного устройства, хотя это различие в условиях данной задачи весьма мало.

Выполнив условие  $\alpha = 2\Delta f$ , получим, что АЧХ фильтра полностью совпадает с амплитудным спектром анализируемого сигнала (2.1).

Можно показать, что соблюдение оптимальной полосы фильтрации в данном случае несколько меньше известного соотношения [3]

$$|(\Delta f)_{\text{opt}}|_{0,7} = \frac{0,5 \div 0,7}{T}$$

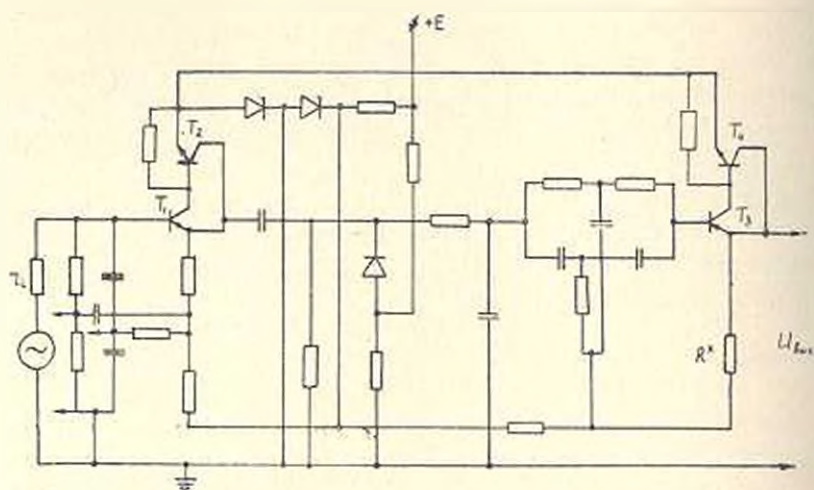


Рис. 7. Схема активного фильтра, согласованного с сигналом-откликом

Выполнение этих условий (совпадение отгибающей, оптимальная полоса и подстройка частоты) приводит к тому, что для однократного отклика квазиоптимальный фильтр совпадает с оптимальным. Из соображений увеличения отношения сигнал/шум (непостоянства  $\omega_0$ ) обычно выбирается верхний предел  $\Delta f$ .

Можно показать, что при  $\Delta\omega_p \rightarrow 0$  и при определенном времени отсчета величина сигнала на выходе тракта фильтра будет совпадать с точностью до постоянной со значением корреляционной функции. Дальнейшая обработка на ЭВМ (например, умножение на величину, обратную времени корреляции рассматриваемого участка, и пр.) еще более увеличит отношение сигнала/помеха.

С помощью адаптивной фильтрации создается возможность вероятностного определения фокусного представительства в мозгу периферии. Однако это еще не значит, что извлекается максимальное количество информации из сигнала этого представительства. Для этого служат уже другие приемы обработки, однако выделение представительства несомненно облегчит решение поставленной задачи.

\* Однако в условиях данной задачи  $\Delta f \cdot T < 0,5$ , где  $\Delta f$  — расстройка, а  $T$  — длительность сигнала; расширение полосы приводит к уменьшению отношения сигнал/шум на выходе.

Для исключения недостоверности, когда за сигнал-отклик могут быть приняты спонтанно возникающие периодические ЭЭГ с частотами, находящимися в диапазонах, охватываемых фильтрами, служит сигнал «старт», по которому определяется участок области раздражения\*. Для выявления достоверности откликов, при обработке на ЭВМ, служит метод «скользящей» корреляции, дающий хорошее совпадение  $c_{1,x}(k)$  для различных участков ЭЭГ в моменты раздражения. Для определения достоверности анализа по стягиванию частот и превышению интенсивностей, желательно учитывать нелинейность обработки. Для определения достоверности превышения, естественно использование авторегрессионной модели (относительно функции времени). Анализ «временного» среднего дает возможность получить «дисперсию» среднего стационарного процесса (или его компонент  $I(t)$ ) и, тем самым, оценить приращение  $I(\omega)$  не только на фиксированном интервале, но и в интересующих точках этого интервала\*\*. Поскольку характеристика приемника нелинейная, то необходимо исследовать как влияет эта нелинейность на «временную» среднюю (математическое ожидание) стационарного нормального процесса (не момента раздражения, на выходе фильтра низкой частоты).

С выхода детектора приемника (рис. 7) имеем:

$$Y = \frac{k}{2} [X(t) - |1 + \operatorname{sgn}\{X(t) - I\}|], \quad (2.3)$$

где  $X(t) = X_{in}(t) \cdot W(x)$  — выходной сигнал собственно фильтра;  $W(x)$  — окно фильтра.

Построив оценку плотности вероятности не для момента раздражения, нетрудно показать, что непрерывные сигналы мозга (под наркозом) распределены по нормальному закону. Известно, что нормальная плотность распределения связана с характеристической функцией обратным преобразованием Фурье:

$$\frac{1}{\sigma\sqrt{2\pi}} e^{-\frac{r^2}{2\sigma^2}} = \frac{1}{2\pi} \int_{-\infty}^{\infty} e^{-j\omega r} e^{-\frac{\sigma^2 \omega^2}{2}} d\omega = \frac{1}{2\pi} \int_{-\infty}^{\infty} e^{j\omega r} e^{-\frac{\sigma^2 \omega^2}{2}} d\omega, \quad (2.4)$$

Здесь знак у мнимой единицы поменяли на обратный, поскольку это не имеет значения — плотность вещественна. Проинтегрируем (2.4) от 0 до  $x$ :

$$\frac{1}{\sigma\sqrt{2\pi}} \int_0^x e^{-\frac{r^2}{2\sigma^2}} dx = \frac{1}{2\pi} \int_0^x e^{-\frac{r^2}{2}} dz = \frac{1}{2} \Phi\left(\frac{x}{\sigma}\right), \quad (2.5)$$

где  $z = \frac{x}{\sigma}$ .

\* Отметим, что вероятность совпадения случайного скачка спектральной функции с полезным равна нулю.

\*\* В противном случае анализ превышения проводится по некоторому «среднему» уровню интервала, что сильно снижает достоверность обнаружения.

Беря интеграл от (2.4) в пределах от 0 до  $x$  (правая часть), получим:

$$\frac{1}{2} \Phi\left(\frac{x}{\sigma}\right) = \frac{1}{2\pi j} \int_{-\infty}^{\infty} e^{j\omega x} e^{-\frac{\sigma^2 \omega^2}{2}} \frac{d\omega}{\omega} - \frac{1}{2\pi j} \int_{-\infty}^{\infty} e^{-\frac{\sigma^2 \omega^2}{2}} \frac{d\omega}{\omega}. \quad (2.6)$$

В правой части (2.6) второй интеграл равен нулю вследствие нечетности подынтегрального выражения. Устремив в (2.6)  $\sigma \rightarrow 0$  и учитывая, что функция  $\frac{1}{2} \Phi\left(\frac{x}{\sigma}\right)$  при этом обращается в ступенчатую, изменяющую свое значение с  $-\frac{1}{2}$  на  $+\frac{1}{2}$  при  $x=0$ , получим:

$$\lim_{\sigma \rightarrow 0} \Phi\left(\frac{x}{\sigma}\right) = \frac{1}{\pi j} \int_{-\infty}^{\infty} e^{j\omega x} \frac{d\omega}{\omega};$$

$$\operatorname{sgn} X(t) = \begin{cases} 1 & \text{при } X(t) > 0 \\ 0 & \text{при } X(t) = 0 \\ -1 & \text{при } X(t) < 0 \end{cases} = \frac{1}{\pi j} \int_{-\infty}^{\infty} e^{j\omega X(t)} \frac{d\omega}{\omega}. \quad (2.7)$$

Подставляя (2.7) в (2.3), имеем

$$Y = \frac{k}{2} [X(t) - l] - \frac{k}{2\pi j} \int_{-\infty}^{\infty} e^{j\omega [X(t)-l]} [X(t)-l] \frac{d\omega}{\omega}. \quad (2.8)$$

Математические ожидания:

$$M |e^{j\omega X(t)}| = E(\omega) = e^{-\frac{\sigma^2 \omega^2}{2}}; \quad (2.9)$$

$$M [e^{j\omega X(t)} X(t)] = j\sigma^2 \omega e^{-\frac{\sigma^2 \omega^2}{2}}. \quad (2.10)$$

Найдем  $M\{Y\}$ , учитывая, что операцию нахождения математического ожидания и интегрирование можно менять местами, т. е.

$$\frac{1}{k} M\{Y\} = \frac{1}{2} M\{X(t)\} - \frac{1}{2} l + \frac{1}{2\pi j} \int_{-\infty}^{\infty} e^{-j\omega l} M |e^{j\omega X(t)} X(t)| \frac{d\omega}{\omega} -$$

$$- \frac{l}{2\pi j} \int_{-\infty}^{\infty} e^{-j\omega l} M |e^{j\omega X(t)}| \frac{d\omega}{\omega}.$$

Выберем  $M\{X(t)\} = \bar{X} = 0$ . С учетом (2.9) и (2.10) получим:

$$M\{Y\} = -\frac{k}{2} l - \frac{l}{2\pi j} \int_{-\infty}^{\infty} e^{-\frac{\sigma^2 \omega^2}{2}} \frac{d\omega}{\omega} + \frac{\sigma^2}{2\pi} \int_{-\infty}^{\infty} e^{-\frac{\sigma^2 \omega^2}{2}} \frac{d\omega}{\omega}.$$

Вычислим второй интеграл в правой части. Дополнив степень до полного квадрата и учитывая, что

$$\int_{-\infty}^{\infty} e^{-kx^2} dx = \sqrt{\frac{\pi}{k}},$$

получим, что он равен

$$\frac{\sqrt{2\pi}}{\sigma_x} e^{-\mu \frac{\sigma_x^2}{2}}.$$

Первый интеграл в правой части нами был уже вычислен. Он равен:

$$\pi j \Phi\left(\frac{x}{\sigma}\right).$$

Окончательно имеем:

$$M|Y| = -\frac{kl}{2} \left| 1 - \Phi\left(\frac{l}{\sigma_x}\right) \right| + \frac{k\sigma_x}{\sqrt{2\pi}} e^{-\frac{\mu}{2\sigma_x^2}}, \quad (2.11)$$

где  $k$  — коэффициент передачи. Эти выкладки делались с учетом стационарности процесса. Следовательно, на выходе будем иметь постоянную составляющую:  $M|Y| = \bar{Y} = U_0$ .

Таким образом, доказано, что среднее значение напряжения с выхода нелинейного элемента — постоянная величина, отличающаяся от математического ожидания входного процесса. Это дало возможность принять «временную» среднюю за базис отсчета порогового уровня  $U_{пор}$  и при заданной вероятности превышения (не превышения) судить об интенсивности отклика на раздражение.

На рис. 8 приведена интенсивность  $I(t)$  момента раздражения «периферии» ( $t_{пр} = 12,58$  сек). Вверху метка — «старт». На рисунке видно резкое нарастание интенсивности по отношению «дисперсии» среднего квазистационарного процесса, величина которой при данной области анализа составляет 5—6 единиц. Внизу видна оцифровка, над ней — неанализированный сигнал (ср. с рис. 2). Резкое, нетипичное нарастание интенсивности, когерентное со стартом, полученное при раздражении тела желудка, выделено по одному из 32 каналов, считываемых с поверхности черепа.

Нами было проведено исследование больных с различными хирургическими заболеваниями внутренних органов. Вышеизложенная методика дала возможность статически достоверно определить области представительства — проекций нервных центров этих органов на поверхность черепа. Разработанная методика при достаточной мощности синхросигнала на фоне нормальных помех, вероятно, даст возможность определения представительств любых областей периферии. Наличие

\* В настоящее время считается установленным факт наличия квазистационарных участков в ЭЭГ (до 5 сек, см., например, В. Д. Романов, автореферат диссертации, г. Новосибирск, 1968).

нескольких представителей, большей частью расположенных симметрично в левой и правой областях проекций головного мозга человека, хорошо согласуется с описанием работы мозга, как конечного автомата, где различные структуры могут принимать участие в управлении без существования непосредственной связи между ними и, тем самым,

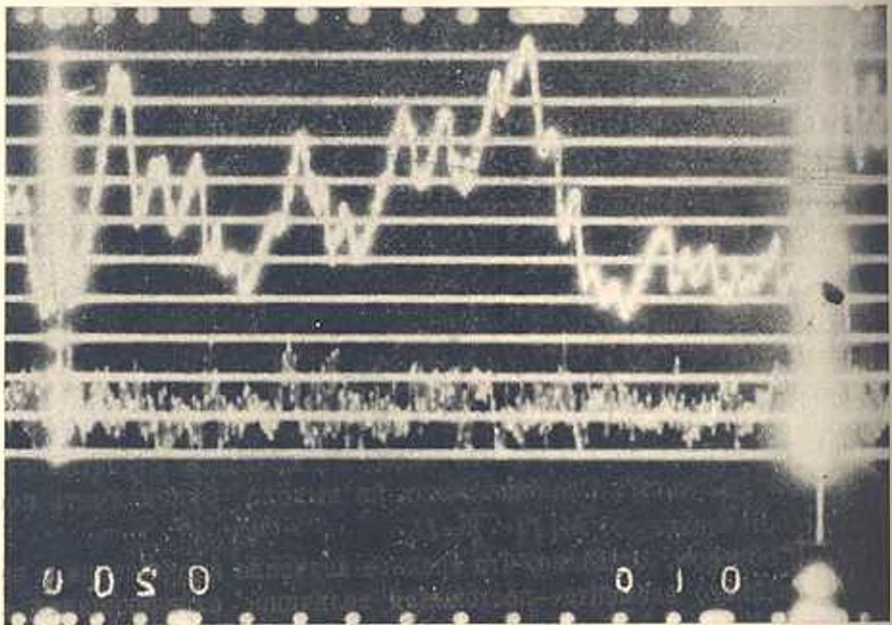


Рис. 8. Скачок интенсивности в момент раздражения:  $t_{разд.р}$  — 12,58 сек;  $t_{осл}$  — 13,08 сек. Вверху метка „старт“. Внизу неанализированная кривая. Режим — „обратный ход“

обеспечивающие очень большую надежность. Результаты данной работы создают предпосылку непосредственной диагностики в клинике, вероятно, анализ кривых представителей даст возможность детерминировать сигналы-отклики здорового и измененного органа. Предварительные данные дают возможность утверждать, при одностороннем раздражении периферии, о зависимости интенсивности отклика от последовательности и места раздражения.

Поступило 12.XI.1973

Ա. Ն. ՄԱԴՈՅԿ, Գ. ՈՒ. ԿԱՐԱԳԵՏՅԱՆ, Է. Է. ՄԻՋԱՆՅԱՆ

ՕԿՏԱԿԱՐ ԱԶԳԱՆՇԱՆ-ԱՐԶԱԳԱՆՔԻ ՐԱՅԱԶԱՅՏՈՒՄԸ ԽԱՆԳԱՐՈՒՄՆԵՐԻ  
ՖՈՆԻ ՎՐԱ՝ ՈՉ-ԴԾԱՅԻՆ ՍԻՍՏԵՄԻ ՄԻՋՈՑՈՎ՝

Ա Վ Փ Ո Փ Ո Վ

Ցույց է տրված ադապտիվ ընդունիչ սինթեզելու և իրականացնելու հնարավորությունը, ընդունիչ, որն իր հատկություններով համապատասխան

\* Վերջ: Սկիզբը տես՝ ետ. 2, 1974 թ.

ևում է լսողական ապարատի նեյրոֆիզիոլոգիական մասին: Բերված է ընդունիչի կանաչներից մեկի զործնական սխեման: Մեխոլը կիրառելի է մարդու գլխուղեղում ներքին օրդանների ներկայացուցչությունների ազդանշանների որոշման և դիագնոստիկայի նպատակով նրանց վերլուծելու համար:

#### Л И Т Е Р А Т У Р А

1. Петрович Н. Т., Разманин М. К. Системы связи с шумоподобными сигналами. Изд. «Советское радио», 1969.
2. Хиргин Я. Я., Яковлев В. П. Фигурные функции в физике и технике. Изд. «Наука», М., 1971.
3. Лезин Ю. С. Оптимальные фильтры и накопители импульсных сигналов. Изд. «Советское радио», 1969.

ГИДРАВЛИКА

А. Б. БАГДАСАРЯН

НЕСТАЦИОНАРНОЕ ДВИЖЕНИЕ ВОДЫ В НАПОРНЫХ ТРУБОПРОВОДАХ С ВОЗДУШНЫМИ ПОЛОСТЯМИ

При заполнении водой трубопроводов насосных станций и дюкеров известны многочисленные случаи аварий [1], причиной которых являлись воздушные полости, образующиеся и движущиеся по мере воды. В настоящей статье рассматриваются некоторые задачи нестационарного движения воды с воздушными полостями в трубопроводах насосных станций.

1. Пусть трубопровод до включения насоса заполнен водой на участке  $DEF$  (рис. 1, а). В момент  $t=0$  начинают работать насосы, и трубопровод с некоторой скоростью  $v$ , зависящей от напора  $H$ , заполняется водой (участок  $AB$ ). Объем воздуха на участке  $BD$  будет сжиматься, и давление превысит атмосферное давление  $P_0$ . Объем воды  $DEF$  будет перемещаться вперед по некоторому закону и займет объем  $D'E'F'$ . Обозначим начальную длину участка  $AD$  через  $s_0$ , длину

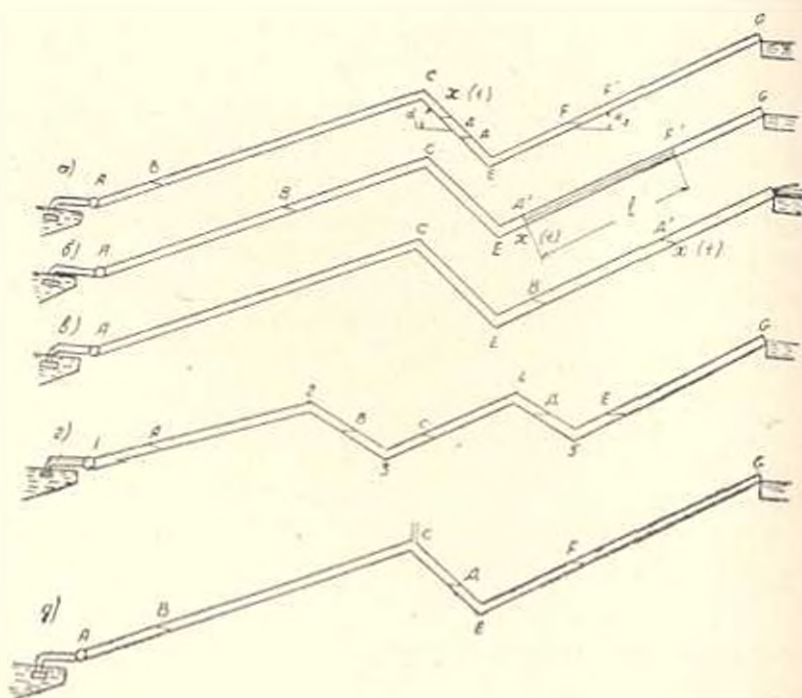


Рис. 1

участка воды  $DEE'$ —через  $l$ , участок  $DE$ —через  $a$ , общую длину трубопровода  $ACEG$ —через  $L$ .

Для математического описания движения предположим, что:

1. Воздушная полость заполняет всё сечение трубопровода и имеет цилиндрическую форму с основанием, нормальным к оси трубопровода.

2. Сжатие и расширение воздушной полости подчиняется изотермическому закону.

3. По длине трубопровода его сечение не изменяется.

Скорость наполнения трубопровода во времени  $v(t)$  можно определить из универсальных характеристик насоса и из профиля укладки трубопровода.

Выбирая начало координат в начале трубопровода [в точке  $A$  (рис. 1)] и обозначая расстояние до поверхности  $D'$  через  $x(t)$ , уравнение движения свободной поверхности  $x(t)$  запишется в виде

$$\ddot{x}(t) = \frac{P_0}{\rho l} \left[ \frac{S_0}{x(t) - \int_0^t v(t) dt} - 1 \right] - \frac{g}{l} \int_{x(t)}^{x(t)+l} \sin \alpha(z) dz - \frac{\lambda}{2D} \dot{x}^2(t), \quad (1.1)$$

где  $\rho$ —плотность воды;  $D$ —диаметр трубопровода;  $\lambda$ —коэффициент гидравлического трения;  $g$ —ускорение силы тяжести;  $\alpha(z)$ —угол наклона трубопровода на участке  $x(t) \leq z \leq x(t)+l$ .

Начальными условиями являются:  $x(0) = s_0$ ;  $\dot{x}(0) = 0$ .

Для случая, приведенного на рис. 1, движение можно представить тремя этапами:

1. С начального момента  $t=0$  до момента  $t=t_1$ , когда поверхность  $x(t)$  доходит до точки  $E$ .

2. С момента  $t=t_1$  до момента  $t=t_2$ , когда поверхность доходит до концевой точки трубопровода  $G$ .

3. С момента  $t=t_2$  до полного истечения воды из трубопровода.

Ниже приводим уравнения движения для отдельных этапов и приближенные решения для первого и второго этапов.

*Первый этап.* Уравнение движения (1.1) на первом этапе, когда скорость наполнения  $v = v_0$  постоянна, запишется в виде:

$$\ddot{x}(t) = \frac{P_0}{\rho l} \frac{s_0 - x(t)}{x(t) - v_0 t} - \frac{ng}{l} \left[ x(t) - s_0 \right] - \frac{\lambda}{2D} \dot{x}^2(t), \quad (1.2)$$

где  $n = \sin \alpha_1 + \sin \alpha_2$ ;  $\alpha_1$  и  $\alpha_2$ —углы наклона участков трубопровода  $CE$  и  $EG$ , соответственно.

Переходя к безразмерным переменным:

$$u = \frac{x}{s_0}; \quad \tau = \sqrt{\frac{P_0}{2lS_0}} t, \quad (1.3)$$

после некоторых преобразований уравнение (1.2) запишется в виде

$$(\ddot{u} + n_2 \dot{u}^2)(u - \mu \tau) + m_1 u^2 + (m_1 \mu \tau - m_1 + 1)u - 1 - \mu \tau(m_1 - 1), \quad (1.4)$$

$$\text{где } \nu = \frac{v_0}{s_0} \sqrt{\frac{\rho l s_0}{P_0}}; \quad m_1 = \frac{n \rho g s_0}{P_0}; \quad n_1 = \frac{\lambda s_0}{2D}.$$

Уравнение (1.4) с начальными условиями  $u(0)=1$ ,  $u'(0)=0$  интегрируется до момента  $\tau=\tau_1$ , т. е. в интервале  $1 \leq u(\tau) \leq 1+a/s_0$ .

Принебрегая гидравлическими потерями, для уравнения (1.2) можно построить асимптотические решения для малых и больших промежутков времени.

Для начальных моментов времени, предполагая  $\frac{x-s_0}{s_0} \ll 1$ , решение получается в виде:

$$x(t) = s_0 + \frac{P_0 s_0^2}{\rho l v_0^2} \left[ 1 - \left(1 - \frac{v_0 t}{s_0}\right) \left| 1 - \ln \left(1 - \frac{v_0 t}{s_0}\right) \right| \right] - \frac{P_0}{2\rho l} t^2. \quad (1.5)$$

Для поздних моментов времени асимптотика строится с учетом того, что в этих моментах длина воздушной полости  $z(t) = x(t) - v_0 t$  колеблется около своего асимптотического значения

$$z_0 = \frac{P_0 s_0}{P_0 + \rho g l \sin \alpha_2}. \quad (1.6)$$

Уравнение, описывающее изменение длины воздушной полости, запишется в виде:

$$\rho l z \ddot{z} + n \rho g z^2 + \left[ P_0 + n \rho g (v_0 t - s_0) \right] \dot{z} = P_0 s_0. \quad (1.7)$$

Переходя к безразмерным переменным:

$$U = \frac{z}{z_0}; \quad \tau = \sqrt{\frac{P_0}{\rho l z_0}} t, \quad (1.8)$$

уравнение (1.7) запишется в виде:

$$z_0 U \ddot{U} + A z_0^2 U^2 + z_0 U (A \mu_1 \tau - A s_0 + 1) = s_0, \quad (1.9)$$

$$\text{где } A = \frac{\rho g n}{P_0}; \quad \mu_1 = v_0 \sqrt{\frac{\rho l z_0}{P_0}}.$$

Обозначим  $U = 1 + U_1$ , где  $U_1 \ll 1$ , и подставим в уравнение (1.9). Далее, разлагая в ряд по малому параметру  $U_1$  и оставляя только члены первой степени малости, получим уравнение в виде

$$U_1 + \omega_1^2 U_1 = A \mu_1 \tau + B, \quad (1.10)$$

$$\text{где } B = \frac{s_0}{z_0} - A(s_0 - z_0) - 1, \quad \omega_1^2 = \frac{s_0}{z_0} + A z_0.$$

Начальные условия берутся из асимптотического решения (1.5) для некоторого момента  $t = t_0$ .

Асимптотика при больших промежутках времени имеет вид

$$x(t) = v_0 t + z_0 \left| 1 + C_1 \cos \Omega t + C_2 \sin \Omega t + \frac{A v_0 t + B}{\omega_1^2} \right|, \quad (1.11)$$

где  $\Omega = \omega_1 \sqrt{\frac{P_0}{\rho l z_0}}$ ;

$C_1$  и  $C_2$  — постоянные интегрирования.

Выражение (1.11) это закон движения воды в интервале  $t' \leq t \leq t_1$ , где  $t_1$  соответствует моменту, когда  $x(t)$  доходит до точки  $F$  (рис. 1, а).

*Второй этап.* На втором этапе столб воды движется на прямолинейном участке  $EG$  (рис. 1, б), а поверхность — в интервале  $s_0 + a \leq x(t) \leq L - l$ .

Тогда уравнение движения (1.1) запишется в виде:

$$\ddot{x}(t) = \frac{P_0}{\rho l} \left| \frac{x_2}{x(t) - v_0 t} - 1 \right| - g \sin \alpha_2. \quad (1.12)$$

Уравнение (1.12) в безразмерных координатах (1.3) примет вид

$$(\ddot{u} + \beta u^2 + m_2)(u - \beta \tau) = 1, \quad \text{где } m_2 = 1 + \frac{\rho l g}{P_0} \sin \alpha_2. \quad (1.13)$$

Начальными условиями являются;

$$u|_{\tau=\tau_2} = u_1(\tau_2); \quad \dot{u}|_{\tau=\tau_2} = \dot{u}_1(\tau_2), \quad (1.14)$$

где  $u_1(\tau_2)$ ,  $\dot{u}_1(\tau_2)$  — безразмерные значения перемещения столба воды и его скорости в первом этапе для момента  $\tau = \tau_2$ .

Решение уравнения (1.13), если пренебречь гидравлическими потерями ( $\beta = 0$ ), с помощью подстановки  $u = y + \mu \tau$  запишется в виде квадратуры

$$\tau = \pm \int_{y_1}^{y_2} \frac{dy}{\sqrt{\ln \frac{y^2}{y_1} - m_1(2y + y_1) - y_1^2}}, \quad (1.15)$$

где  $y_1 = u_1(\tau_2) - \mu \tau_2$ ;  $y_2 = \dot{u}_1(\tau_2) - \mu$ .

Использовать решение в виде (1.15) не совсем удобно, поэтому построим приближенное решение уравнения (1.13). Для этого обозначим:  $x = z + v_0 t$ , далее  $z = z_0 + z_1$  (где  $z \ll z_0$ ), затем  $z_1 = z_0 U$ , и подставим в (1.13).

Разлагая в ряд по малому параметру  $U \ll 1$  и оставляя только члены первой степени малости, уравнение (1.13) приводится к виду:

$$\ddot{U} + \omega_2^2 U = A, \quad (1.16)$$

где  $\omega_2^2 = \frac{s_0 P_0}{z_0^2 \rho g}$ ;  $A = \frac{P_0}{\rho l} \left( \frac{s_0}{z_0} - 1 \right) - g \sin \alpha_2$ .

Приближенное решение (1.13) получается в виде

$$x(t) = v_0 t + z_0 \left( 1 + c_1 \cos \omega_2 t + c_2 \sin \omega_2 t + \frac{A}{\omega_2^2} \right), \quad (1.17)$$

где  $c_1$  и  $c_2$  — постоянные интегрирования, определяемые из начальных условий (1.14).

Выражение (1.17) дает решение до момента времени  $t = t_3$ , когда поверхность  $x(t)$  доходит до точки  $L-l$  (рис. 1.8), после чего начинается истечение из трубопровода.

*Третий этап.* Уравнение третьего этапа учитывает истечение из трубопровода и имеет вид:

$$\ddot{x}(t) = \frac{P_0}{\rho} \frac{s_0 - x(t) + v_0 t}{[L - x(t)] |x(t) - v_0 t|} - \frac{\lambda}{2D} \dot{x}^2(t) - g \sin \alpha_2. \quad (1.18)$$

Начальные условия берутся из решения второго этапа.

После полного истечения столба воды и сжатого воздуха, начинается процесс распространения волны понижения давления и происходит соударение столба воды, хлынувшей из верхнего бассейна, со столбом воды, имеющейся в трубопроводе.

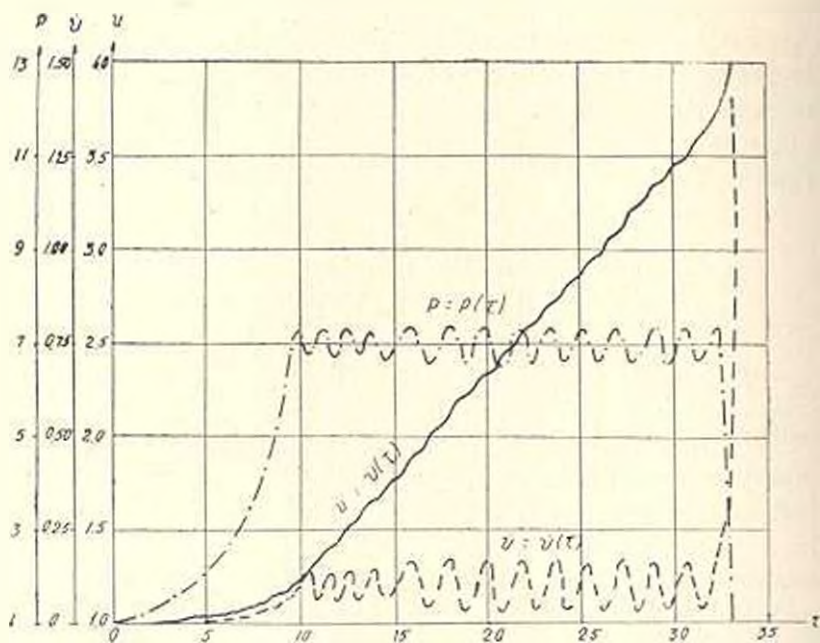


Рис. 2

По описанному выше методу на ЭВМ решена задача нестационарного движения воды\* в трубопроводе с воздушными полостями при следующих исходных данных:

$$a = 2(1) \text{ м}; \quad v = 100 \text{ м}; \quad \sin \alpha_1 = 0,1; \quad \sin \alpha_2 = 0,2; \quad s_0 = 1000 \text{ м}; \quad L = 4000 \text{ м}; \\ v_0 = 2 \text{ м/сек}; \quad D = 2 \text{ м}.$$

Результаты вычислений приведены на рис. 2, и как видно, вначале столб воды движется медленно с малой амплитудой колебаний, с течением времени скорость движения столба асимптотически стремится к значению  $v_0 = 2 \text{ м/сек}$ , колеблясь около этого значения. С началом истечения столба воды скорость увеличивается и происходит выброс воды.

2°. Пусть трубопровод до включения насосов наполнен водой на участках  $BC$  и  $DE$  (рис. 1,2).

Введем следующие обозначения. Начальную длину столба воды  $B3$  обозначим через  $a_1$ ,  $3C$  — через  $a_2$ ,  $D5$  — через  $a_3$ ,  $5E$  — через  $a_4$ , общую длину  $BC$  — через  $a_{12}$ ,  $DE$  — через  $a_{34}$ . Длину трубопровода на участке  $1-2$  обозначим через  $l_1$ , на участке  $2-3$  —  $l_2$ , на участке  $3-4$  —  $l_3$ , на участке  $4-5$  —  $l_4$ , на участке  $5-6$  —  $l_5$ . Сумму длин участков трубопровода обозначим через  $l_{mn}$ , например,  $l_{23} = l_2 + l_3$ .

Уравнение состояния в воздушных полостях  $AB$  и  $CD$ , с учетом принятого предположения об изотермическом законе сжатия и расширения, получим в виде:

$$P_1(t) = P_0 \frac{l_{12} - a_1}{x_1(t) - \int_0^t v(t) dt}; \quad P_2(t) = P_0 \frac{l_{35} - a_2 - a_3}{x_2(t) - x_1(t) - a_{12}}; \quad (2.1)$$

где  $x_1(t)$  и  $x_2(t)$  — соответственно расстояния от начала координат (точка  $I$ , рис. 1,2) до движущихся поверхностей  $B$  и  $D$ ;  $P_1(t)$  — давление в воздушной полости  $AB$ , а  $P_0(t)$  — давление в  $CD$ .

Уравнение движения до начала истечения столба  $x_1(t)$  из трубопровода запишется в виде:

$$\ddot{x}_1 = \frac{P_1(t) - P_2(t)}{a_{12} \rho} - \frac{g}{a_{12}} \int_{x_1}^{x_1 + a_1} \sin \alpha_1(\xi) d\xi - \frac{\lambda}{2l} \dot{x}_1^2; \quad (2.2)$$

$$\ddot{x}_2 = \frac{P_2(t) - P_0}{a_{34} \rho} - \frac{g}{a_{34}} \int_{x_2}^{x_2 + a_4} \sin \alpha_2(\xi) d\xi - \frac{\lambda}{2l} \dot{x}_2^2.$$

Уравнение (2.2) легко записывать и для соответствующих этапов, так как отдельные участки прямолинейны и вычисление интегралов и правых частях (2.2) не затруднительно. Начальными условиями являются:

$$x_1(0) = l_{12} - a_1; \quad x_2(0) = l_{15} - a_3; \quad \dot{x}_1(0) = \dot{x}_2(0) = 0. \quad (2.3)$$

\* Вычисления произведены Р. М. Рафаэляном, К. С. Сероляном и В. В. Куркчяном.

При поэтапном описании начальные условия берутся из решения предыдущего этапа.

На этапе, когда начинается истечение столба  $DE$ , в системе (2.2) второе уравнение следует заменить другим, учитывающим изменение массы жидкости, аналогично уравнению (1.18).

При решении поставленной задачи о полном истечении столбов воды получаются начальные условия для решения задачи о распространении волны понижения давления и определения величины повышения давления при гидравлическом ударе.

3°. Рассмотрим случай, когда в наивысшей точке укладки трубопровода установлен вентиль для выпуска воздуха при наполнении трубопровода (рис. 1,  $\delta$ ).

В конструкциях обычных автоматических вентилей имеется противоречие между производительностью и габаритностью. Поэтому определение минимального диаметра требуемого выпускного отверстия вентиля, который может полностью выпускать воздух при нестационарной работе, является одним из важных вопросов при проектировании трубопроводов в пересеченных местностях. Для работающих трубопроводов необходимо определить максимальную скорость наполнения трубопровода при заданном диаметре выпускного отверстия вентиля.

К предположениям, сделанным в п. 1, здесь добавляется то, что сжатие воздуха в воздушной полости подчиняется изотермическому закону, а выходящий воздух расширяется по адиабатическому закону. Обозначим давление, плотность, температуру и массу воздуха в момент  $t=0$  соответственно через  $P_0$ ,  $\rho_0$ ,  $T_0$ ,  $m_0$ , а в некоторый момент времени после включения насоса — через  $P(t)$ ,  $\rho(t)$ ,  $T(t)$ ,  $m(t)$ .

Плотность воздуха в воздушной полости  $ВД$  (рис. 1,  $\delta$ ) в любой момент времени можно определить, как

$$\rho(t) = \frac{m_0 - m_1(t)}{V(t)}. \quad (3.1)$$

Здесь  $V(t)$  — объем воздушной полости;  $m_1(t)$  — масса выходящего воздуха за  $t$ , определяемая формулой

$$m_1(t) = \frac{\pi d^2}{4} \int_0^t \omega(t) \rho_*(t) dt; \quad (3.2)$$

$$\rho_*(t) = \rho(t) \left[ \frac{P(t)}{P_0} \right]^{\frac{1}{\kappa}}$$

где  $d$  — диаметр выпускного отверстия вентиля;  $\rho_*(t)$  — плотность выходящего газа;  $\kappa = 1,4$  — показатель адиабаты для воздуха;  $\omega(t)$  — скорость выходящего воздуха, определяемая формулой [2]:

$$w(t) = \begin{cases} \sqrt{\frac{2x}{x-1} \cdot \frac{P(t)}{\rho(t)}} \left| 1 - \frac{P_0}{P(t)} \right|^{\frac{x-1}{x}} & \text{если } P < 1,9 \text{ ат;} \\ \sqrt{\frac{2x}{x+1} R_p T_0} & \text{если } P \geq 1,9 \text{ ат,} \end{cases} \quad (3.3)$$

где  $P=29,27 \text{ м/град}$  — газовая постоянная.

Из формулы (3.3) видно, что если внешнее атмосферное давление становится критическим ( $P/P_0=0,528$ ) по отношению к внутреннему давлению, т. е. когда внутреннее давление становится больше  $1,9 \text{ ат}$ , то скорость истечения не зависит от повышения давления в воздушной полости и в дальнейшем постоянна. Дифференциальное уравнение, описывающее нестационарный процесс заполнения трубопровода, выпуск воздуха и движение поверхности  $D$  (рис. 1, д), сводится к следующему:

$$\dot{x} = \frac{P(t) - P_0}{\rho_1 l} - \frac{g}{l} \int_x^{x+l} \sin \alpha(\xi) d\xi - \frac{\lambda}{2D} x^2; \quad P(t) = \frac{P_0}{\rho_0} \frac{m_0 - m_1(t)}{x - v_0 t} \quad (3.4)$$

Здесь приняты прежние обозначения, только плотность воды обозначена через  $\rho_1$ , а  $l$  — длина колонны воды  $DF$ .

Уравнение (3.4) решается с учетом (3.2) и (3.3). Решение заключается в определении минимального значения выпускного отверстия  $d$ , оно находится методом последовательных приближений. Определяется минимальное значение диаметра выпускного отверстия вантуза, при котором удается полностью выпускать воздух.

ԵրԻԻ՛ իմ. Կ. Մարքս

Поступило 3.XII.1973.

Ա. Ր. ԲԱՂՅԱՍՏԱՐԱՆ

ՊԵՏՅԻՆ ՊԱՐԿԵՐՈՎ ՋՐԻ ՈՋ-ՍՏԱՑԻՈՆԱՐ ՇԱՐՔՈՒՄԸ ԽՈՂՈՎԱԿԱՇԱՐՈՒՄ

Ա մ փ ո փ ու մ

Պոմպակայանների և դյուկերների խողովակաշարերը շրով լցնելիս հայտնի են բազմաթիվ վթարային դեպքեր, որոնք պայմանավորված են շարժվող ջրի մեջ օդային պարկերի առաջացմամբ:

Խողովակաշարերի ծայրից ջրի սյան նետումից առաջացած հիդրավիկական հարվածից ճնշման բարձրացման շափի որոշման համար անհրաժեշտ է լուծել օդային պարկերով ջրի շարժման խնդիրը:

Վանտուզների օդ բաց թողման անցքի ամենափոքր շափի որոշման համար նույնպես անհրաժեշտ է լուծել այդ խնդիրը՝ ոչ-ստացիոնար ռեժիմի դեպքում: Այդ հարցը հանդիսանում է կարևորագույն հարցերից մեկը, լեռնային տեղանքում խողովակաշարեր նախագծելիս:

Հողվածում բերված են խողովակաշարերի տարրեր տեղադրումների դեպքում այդ երևույթները նկարագրող համասարումները: Ստացված են մի շարք մոտավոր և անիմպուտիկ լուծումներ: Բերված է նաև թվային հաշվարկի օրինակ փանտուզի բացակայության դեպքում:

#### Л И Т Е Р А Т У Р А

1. Бунятян Л. Բ. К вопросу о причинах аварий дукеров. Труды АрмНИИГиМ, № 1, Ереван, 1952.
2. Христианович С. А., Гальперн В. Г., Миллионщикова М. Я., Смирнов Л. А. Прикладная газовая динамика. М., 1948.

ГИДРАВЛИКА

Ա. Մ. ԳԱՏՔԱՐՅԱՆ, Կ. Ա. ԱԼՄԱՏՅԱՆ, Բ. Ե. ԱԿՈՓՅԱՆ

РАСЧЕТ ТРУБОПРОВОДОВ ДЛЯ ПЕРЕМЕЩЕНИЯ  
 АЭРОСМЕСЕЙ

В работах [1, 2, 3] нами были выявлены некоторые закономерности движения аэросмесей и раскрыт характер зависимости потерь давления на трение по длине трубопровода при горизонтальном перемещении. В настоящей статье рассматриваются правоплунные трубопроводы, включающие также вертикальные и наклонные участки, с разработкой методики их расчета.

1. О негоризонтальных участках трубопроводов. В любой трассе транспорта наличие негоризонтальных участков неизбежно. Рассмотрим вертикальный участок. Исследования показали, что потери на трение на вертикальном участке несколько меньше потерь на горизонтальном. Поэтому применение расчетных уравнений [1, 2] для негоризонтальных участков, которые обычно составляют небольшую часть трассы, вполне приемлемо. Это дает возможность высоты вертикальных участков сложить к длине горизонтальных и при расчете всю трассу рассмотреть как горизонтальную. Но это касается только сопротивления трения. Кроме трения, на вертикальных участках возникает действие веса транспортируемого материала, для учета которого в уравнение (8) [3] нужно внести новый член, что крайне осложняет решение задачи. Было найдено целесообразным к учету действия веса на вертикальных участках подойти несколько упрощенно, следующим образом.

Если вертикальный участок имеет высоту  $H$ , а средний удельный вес аэросмеси на этом участке  $\gamma'$ , то очевидно, перепад давления (без учета потерь на трение) составит  $\Delta P = H\gamma'$ . Из этого следует, что  $\Delta P$  зависит от местонахождения вертикального участка на трассе. Если участок находится в начале трассы, то  $\Delta P$  может оказаться в несколько раз больше того перепада давления, который имел бы место при нахождении этого же участка в конце трассы, где удельный вес аэросмеси меньше. Эта зависимость  $\Delta P$  от местонахождения вводит дополнительные затруднения в расчете трассы. Если же вертикальные участки учитывать не по перепаду давления, а по затрате энергии, то задача упрощается.

Затрата энергии на подъем аэросмеси может быть выражена как

$$I = HG + hG, \quad (1)$$

где  $H$  — высота вертикального участка, а  $h$  — расстояние по вертикали, на которое отстают частицы от потока при подъеме на  $H$  в результате стесненного падения.

Продолжительность подъема частиц на высоту  $H$  будет:

$$\tau = H/(V - C), \quad (2)$$

где  $V$ —средняя скорость движения потока на участке, а  $C$ —средняя скорость стесненного наделения частиц в потоке.

Очевидно, что  $h = \tau C$ , следовательно,

$$h = \frac{C}{V - C} H. \quad (3)$$

Когда средняя крупность частиц не превышает 50—60 микронов, скорость  $C$  составляет порядка 0,05 м/сек, а  $V$ —несколько м/сек. Поэтому величиной  $h$ , по сравнению с  $H$ , можно пренебречь, тогда (1) запишется так:

$$L = H G \text{ кг/м/час.} \quad (4)$$

Это означает, что затрата работы на подъем материала не зависит от местонахождения вертикального участка и практически равна произведению высоты подъема  $H$  на вес материала.

При наличии на трассе нескольких участков подъема, спуска или уклона их не нужно учитывать в отдельности, а следует взять их алгебраическую сумму. Иначе говоря, за вертикальный подъем (или спуск)  $H$  следует брать разницу между отметками начала монтажной трубы и конца транспортного трубопровода, а затрату (или приобретение) работы определить по (4).

**2. Сопротивление колен (поворотов).** Явления, происходящие на повороте аэросмеси и приводящие к возникновению местного сопротивления, весьма сложны и разнообразны. Сопротивление поворота аэросмеси зависит не только от свойств фаз, концентраций, скорости, диаметра трубопровода, радиуса кривизны, плавности, угла поворота и прочего, но и от непосредственного расположения самого поворота. На сопротивление вертикального поворота значительное влияние оказывает направление потока: если поток из вертикального положения переходит в горизонтальное, то возникают одни сопротивления, если же поток из горизонтального положения переходит в вертикальное, то — другие.

В настоящем исследовании мы не занимались поисками обобщающих количественных выводов и ограничивались только опытным нахождением величин сопротивлений плавных поворотов под углом  $90^\circ$  (при некоторых диаметрах труб). В результате было установлено, что сопротивление колена быстро растет с ростом скорости аэросмеси. Если колено находится в начале трассы, то его сопротивление эквивалентно сопротивлению 0,3—0,5 м соседнего прямого горизонтального участка, а на конечных участках трассы достигает 5—7 м сопротивления прямого участка. Не опасаясь заметных погрешностей в расчете всей трассы, можно принимать, что в среднем сопротивление плавного колена с радиусом поворота более 1,5 м равно среднему сопротивлению 5 м прямого горизонтального участка.

3. **Трубопровод постоянного диаметра.** Начальный диаметр трубопровода (диаметр монжусной трубы) определяют исходя из принятой производительности, начальной концентрации  $\bar{c}_1$  и критической скорости  $V_{кр} = V_1$ . Если этот диаметр постоянен по длине трассы, то остается определить начальное давление в монжусе  $P_1$ .

Определение  $P_1$  можно произвести так: а) определяется фактическая длина всей трассы  $l_1$  от начала монжусной трубы до конца трубопровода; б) задаваясь значениями  $P_1$ , определяются соответствующие длины  $l$  горизонтального трубопровода и строится кривая  $P_1 = f(l)$  для трубопровода данного диаметра  $D$  (на рис. 1 приведен пример для четырех диаметров, для глинозема); в) по уравнению (9) [3] определяется несколько значений работоспособности одной тонны аэросмеси ( $L$ ) при различных значениях  $P_1$ , принимая конечное давление равное 1 ата, и строится кривая  $L = f(P_1)$  (на рис. 2 приведены такие кривые для глинозема\* и цемента); г) принимая, что вся трасса  $l_1$  горизонтальна, из рис. 1 определяется давление  $P_1$ , соответствующее  $l_1$ , а по  $P_1$  из рис. 2 определяется  $L'$ ; д) выявляется разница между отметками начала монжусной трубы и конца трубопровода  $H$  ( $1000 H$  это — работа на подъем одной тонны материала,  $L_{хол}$ ), затем определяется число поворотов (колен) по всей трассе  $N$ , и из выражения  $L_{хол} = 5 NL'/l$  — дополнительные затраты работы на этих поворотах; е) по сумме

$$L = L' + L_{хол} + L_{хол} \tag{5}$$

из рис. 2 определяется необходимое давление  $P_1$ .

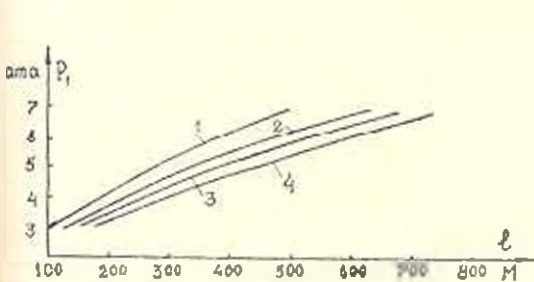


Рис. 1. Зависимость длины перемещения от давления (при постоянном диаметре трубы):

- 1 — при  $D=51$  мм и  $G=16,9$  т/час;
- 2 — при  $D=76$  мм и  $G=42,5$  т/час;
- 3 — при  $D=100$  мм и  $G=81,6$  т/час;
- 4 — при  $D=125$  мм и  $G=140,8$  т/час;

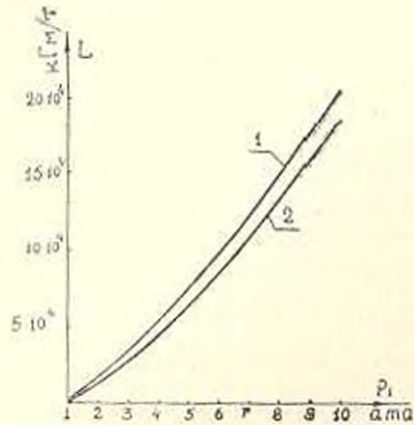


Рис. 2. Зависимость удельной работоспособности воздуха ( $L$ ) от давления: 1 — для глинозема; 2 — для цемента.

Решение ряда примеров и анализ результатов показал, что такой способ расчета дает несколько заниженное значение  $P_1$ .

\* Отметим, что (9) [3] написано для глинозема, для другого материала следует подставить соответствующие значения  $n$  и  $\gamma_1$ .

Вышеприведенный способ расчета дает вполне удовлетворительные результаты, если (5) написать в виде

$$L = L' + L_{\text{под}} + L_{\text{кол}} + L_k, \quad (6)$$

где  $L_k$  — кинетическая энергия одной тонны аэросмеси в конце трубопровода, определяемая из выражения:

$$L_k = 1000 \frac{V_k^2}{2g}, \quad (7)$$

Такой метод расчета можно применять для любой трассы с  $D = \text{const}$ , даже для случая, когда вся трасса состоит из вертикального трубопровода любой высоты.

**Пример 1.** Для пневмотранспорта глинозема трубопровод должен обеспечить производительность 40 т/час. Сумма фактических длин всех участков трассы  $l_1 = 160$  м. Общая высота подъема аэросмеси  $H = 20$  м, число плавных поворотов под углом  $90^\circ$  на трассе  $N = 1$ . Конечное давление  $P_k = 1$  ата. Известно, что для глинозема  $\varphi_1 = 0,265$  ( $\mu = 0,8 \cdot 10^{-3}$  м<sup>2</sup>/кг), а  $\gamma_1 = 3470$  кг/м<sup>3</sup>. Определить диаметр трубопровода  $D$  и величину начального давления аэросмеси  $P_1$ .

**Решение.** Начальный удельный вес аэросмеси составит:  $\gamma_1 = 0,265 \cdot 3470 = 920$  кг/м<sup>3</sup>. Начальный объем —  $W_1 = 40000 : 920 = 43,5$  м<sup>3</sup>/час. Начальную скорость  $V_1$  принимаем равной  $V_{кр} = 1,84 + 13D$ . Следовательно,  $W_1 = 43,5 = V_{кр} \cdot 0,785 \cdot D^2 \cdot 3600$ .

Из этих выражений путем подбора определяем  $D = 76$  мм и  $V_1 = V_{кр} = 2,83$  м/сек.

По кривой 2 рис. 1 находим  $P_1 = 4$  ата, соответствующее горизонтальному прямому трубопроводу длиной  $l_1 = 160$  м. Из рис. 2 по кривой 1 находим работоспособность аэросмеси  $L' = 5,3 \cdot 10^4$  кгГм/т, соответствующую  $P_1$ . Определяем работу подъема  $L_{\text{под}} = 20 \cdot 1000 = 2 \cdot 10^4$  кгГм/т. Находим затраты работы на преодоление сопротивлений колен  $L_{\text{кол}} = 5 \cdot 4 \cdot 5,3 \cdot 10^4 : 160 = 0,66 \cdot 10^4$  кгГм/т.

По (5) находим общую затрату энергии  $L = 7,96 \cdot 10^4$  кгГм/т и по этой величине из рис. 2 находим  $P_1 = 5,2$  ата.

Далее, согласно вышеизложенному, вводим поправку на кинетическую энергию. Находим конечную скорость  $V_k$  для  $P_1 = 5,2$  ата, а именно:

$$V_{кр} = 2,83 (0,265 + 0,735 \cdot 5,2) = 11,6 \text{ м/сек. Следовательно,}$$

$$L_k = 1000 \cdot 11,6^2 : 19,62 = 6700 \text{ кгГм/т.}$$

Уточненный расход работы согласно (6) составит  $8,63 \cdot 10^4$  кгГм/т, уточненное значение  $P_1$  согласно рис. 2 составит 5,45 ата.

Сама трасса может иметь любую конфигурацию с общим подъемом в 20 м и числом колен 4.

**4. Ступенчатый трубопровод.** Начальный диаметр  $D_1$  определяется аналогично п. 3. Затем, зная  $D_1$ , строится кривая  $P_1 = f(l)$  для ступенчатого трубопровода. Принимая  $P_1 = 3$  ата (для более низких  $P_1$  рекомендуется применять трубопровод постоянного диаметра), опре-

деляются длины участков ступеней. При этом перепад давления в первой ступени рекомендуется принимать  $\Delta P_1 = 1 \text{ ата}$  (от 3 до 2 ата), а во второй и третьей ступенях — по 0,5 ата. Сумма длин трех ступеней даст  $l_3$ .

Аналогичный расчет производится и при  $P_1 = 4 \text{ ата}$ , с разбивкой трассы на четыре участка (на первых двух перепад давления по 1 ата, а на последних двух — по 0,5 ата). Сумма длин ступеней даст  $l_4$ . Таким образом, определяют  $l_5$ ,  $l_6$  и  $l_7$  соответственно для  $P_1 = 5$ ; 6 и 7 ата. На рис. 3 приведены кривые  $P_1 = f(l)$  для четырех начальных диаметров (для глинозема), построенные указанным способом. Допуская, что вся трасса горизонтальная, из кривой  $P_1 = f(l)$  определяется необходимое начальное давление  $P_1'$ , и по нему из рис. 2 находят  $L'$ . Имея общий подъем  $H$  и число колен, по (5) определяется общая начальная работоспособность аэросмеси  $L$ , а по ней — давление  $P_1$ .

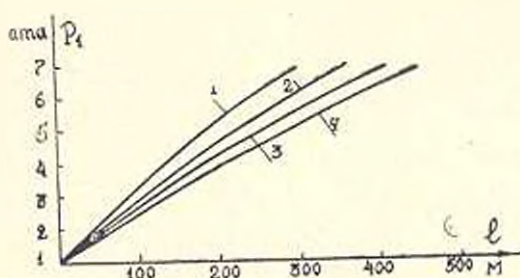


Рис. 3. Зависимость длины перемещения от давления при ступенчатом трубопроводе. (Номера кривых, начальные диаметры и производительности соответствуют приведенным на рис. 1).

**Пример 2.** Для пневмотранспорта глинозема ступенчатый трубопровод должен обеспечить производительность 40 т/час. Фактическая длина  $l_1 = 320 \text{ м}$ ;  $H = 20 \text{ м}$ ;  $N = 4$ ;  $P_k = 1 \text{ ата}$ . Определить начальное давление  $P_1$  и рассчитать трубопровод.

**Решение.** Аналогично предыдущему примеру находим начальный диаметр  $D_1 = 76 \text{ мм}$ . Из рис. 3 (кривая 2) при  $l_1 = 320 \text{ м}$  находим  $P_1 = 4,9 \text{ ата}$ , которому соответствует  $L' = 7,3 \cdot 10^4 \text{ кг·м/т}$ . Далее,  $L_{\text{пол}} = 2 \cdot 10^4$ , а  $L_{\text{норм}} = 5,4 \cdot 7,3 \cdot 10^4 : 320 = 0,46 \cdot 10^4$ . Общая начальная работоспособность аэросмеси по (5) получится:  $L = 9,76 \cdot 10^4 \text{ кг·м/т}$ . Из рис. 2 находим  $P_1 = 5,8 \text{ ата}$ .

Структура трубопровода (число и длины ступеней и их диаметры) определяется, допуская, что он горизонтальный и прямолинейный, а начальное давление  $P_1 = 4,9 \text{ ата}$ . Результаты расчета приведены в табл. 1.

Таблица 1

Участок	$D, \text{ м.м}$	$\Delta l, \text{ м}$	Перепад давления, $\text{ата}$	
I	76	40	от 4,9	до 4,0
II	82	50	от 4	до 3,0
III	88	80	от 3	до 2,0
IV	100	60	от 2	до 1,5
V	110	90	от 1,5	до 1,0

Институт органической химии АН АрмССР

Поступило 28.X.1970.

Ա. Մ. ԳԱՍՊԱՐՅԱՆ, ՅԱ. Ա. ԱԼՄԱՍՅԱՆ, Ռ. Ե. ՀԱԿՈԲՅԱՆ

## ԱՆԻՐՈՒԹՅԱՆ ԻՐԿԵՆՆԵՐԻ ՏԵՂԱՓՈԽՄԱՆ ԽՈՂՈՎԱԿԱԳՆԾԵՐԻ ՀԱՇՎՈՒՄԸ

## Ա Վ Փ Ո Փ Ո Ւ Մ

Մշակված է խիտ շերտով պնեմոտրանսպորտի հաշվման մեթոդիկա խողովակաղծերի ցանկացած ձևի համար՝ երբ խողովակաղծում առկա են վերափակիչ բարձրացող ու իջնող հատվածներ, հորիզոնական հատվածներ, անկյուններ և թիրուխյուններ:

## Л И Т Е Р А Т У Р А

1. Гаспарян А. М., Алмасян Я. А., Акопян Р. Е. «Известия АН АрмССР, серия технических наук», т. XXIV, № 2, 1971.
2. Алмасян Я. А., Гаспарян А. М., Акопян Р. Е. «Известия АН АрмССР, серия технических наук», т. XXIV, № 3, 1971.
3. Гаспарян А. М., Акопян Р. Е., Алмасян Я. А. «Известия АН АрмССР, серия технических наук», т. XXVI, № 5, 1973.

ТЕПЛОТЕХНИКА

Լ. Տ. ԱՏԼԱՅԱՆ, Ա. Լ. ՏՄՐԻՏ, Ս. Ն. ՇՈՐՈՒՆ

ТЕРМОДИНАМИЧЕСКИЕ СВОЙСТВА ДИССОЦИИРОВАННЫХ  
 КИСЛОРОДА И СЕРЫ

В работах [2-1-6; 9; 10] приведены результаты расчетов равновесного состава и некоторых термодинамических свойств кислорода в ограниченном диапазоне температуры. Необходимость проведения подробного термодинамического анализа равновесного состава и свойств диссоциированной серы вызвана ограниченностью имеющихся данных. В связи с этим в настоящей работе проведены термодинамические расчеты равновесного состава и основных термодинамических свойств продуктов диссоциации в диапазоне температур 1000-6000 °K (с интервалом в 200°) и давлений 0,1-100 *атм*. В расчетах константы равновесия и энтальпии соответствующих компонентов брались из [4].

Равновесные составы использовались для расчета основных показателей диссоциированных  $O_2$  и  $S_2$ .

Коэффициент изменения объема рассчитывался по формуле:

$$\beta = \frac{2}{r_{A_1} + 2r_{A_2}} \quad (1)$$

где  $r_{A_1}$  и  $r_{A_2}$  — объемные доли атомарного и молекулярного компонентов.

Молекулярная масса смеси определяется по формуле

$$\mu_{см} = \mu_A (r_{A_1} + 2r_{A_2}) \frac{кг}{кмоль} \quad (2)$$

где  $\mu_A$  — атомарная масса газа.

Плотность смеси при данных  $P$  и  $T$  находится по формуле

$$\rho_{см} = \frac{273,15}{T} \cdot \frac{\mu_{см}}{22,4} \cdot P \left[ \frac{кг}{м^3} \right] \quad (3)$$

где  $P$  — общее давление в системе.

Зная коэффициент изменения объема и объемную долю молекулярного компонента, можно определить степень диссоциации исходного вещества:

$$\Delta = 1 - \beta r_{A_2} \quad (4)$$

Энтальпия смеси, отсчитанная от 293,15°K, определялась по формуле:

$$i = \frac{(H_A^* r_A + H_{O_2}^* r_{O_2})\beta - I_{\text{см}}^{\text{см}}}{\beta \cdot 860 \cdot 22,4} \left[ \frac{\text{квт.ч}}{\text{н.м}^3 \text{ смеси}} \right] \quad (5)$$

где  $H_A^*$  и  $H_{O_2}^*$   $\left[ \frac{\text{ккал}}{\text{моль}} \right]$  — полные энтальпии атомарного и молекулярного газа при данной температуре.

Затрата энергии для нагрева 1 н.м<sup>3</sup> исходного газа от стандартной температуры 293,15°K до заданной определяется по формуле:

$$\alpha = i\beta \left[ \frac{\text{квт.ч}}{\text{н.м}^3 \text{ исх. газа}} \right] \quad (6)$$

В таблицах 1 и 2 приведена затрата энергии на 1 н.м<sup>3</sup> серы и кислорода при различных температурах и давлениях. Таблицы наглядно иллюстрируют изменение энергозатрат в рассмотренном диапазоне температур: повышение давления приводит к некоторому снижению  $\alpha$ .

В области высоких температур энергозатраты возрастают в несколько раз, что вызвано наличием сильной диссоциации  $S_2$  и  $O_2$ .

Так, при  $P = 1 \text{ атм}$  и  $T = 5000^\circ\text{K}$   $\alpha_{S_2} = 9,384 \frac{\text{квт.ч}}{\text{н.м}^3 S_2}$ ,

$$\alpha_{O_2} = 8,598 \frac{\text{квт.ч}}{\text{н.м}^3 O_2}$$

а при  $T = 2000^\circ\text{K}$   $\alpha_{S_2} = 2,394 \frac{\text{квт.ч}}{\text{н.м}^3 S_2}$ ,  $\alpha_{O_2} = 0,7384 \frac{\text{квт.ч}}{\text{н.м}^3 O_2}$ .

Газовая постоянная смеси определялась отношением

$$R_k = \frac{R}{\rho_{\text{см}}} \left[ \frac{\text{кдж}}{\text{кг.град}} \right] \quad (7)$$

где  $R$  — универсальная газовая постоянная.

Из других термодинамических свойств диссоциированных продуктов важными являются истинные теплоемкости при постоянном объеме и давлении. В работе определялась не „равновесная“, а „замороженная“ теплоемкость газа. Хотя состав смеси при определении замороженной теплоемкости считается постоянным, он является равновесным и отвечает заданным  $P$  и  $T$ .

Истинная изобарная теплоемкость „замороженной“ смеси определялась следующим образом:

$$C_{p, \text{зам}} = \frac{r_A \frac{d(H_T^* - H_0^*)_A}{dT} + r_{O_2} \frac{d(H_T^* - H_0^*)_{O_2}}{dT}}{\rho_{\text{см}}} \quad (8)$$

где  $(H_T^* - H_0^*)$  — энтальпия теплового состояния соответствующего вещества.

Таблица 1

Затраты энергии, необходимые для нагрева серы от температуры 293, 15°K до данной температуры при различных давлениях

$\frac{P}{T}$	2000	2800	3600	4000	4400	4800	5200	5600	6000
0.1	-2417 <sub>10</sub> 01	-4098 <sub>10</sub> 01	-7980 <sub>10</sub> 01	-8626 <sub>10</sub> 01	-8959 <sub>10</sub> 01	-9217 <sub>10</sub> 01	-9456 <sub>10</sub> 01	-9689 <sub>10</sub> 01	-9920 <sub>10</sub> 01
1.0	-2394 <sub>10</sub> 01	-3216 <sub>10</sub> 01	-6041 <sub>10</sub> 01	-7650 <sub>10</sub> 01	-8568 <sub>10</sub> 01	-9058 <sub>10</sub> 01	-9384 <sub>10</sub> 01	-9654 <sub>10</sub> 01	-9901 <sub>10</sub> 01
2.0	-2391 <sub>10</sub> 01	-3091 <sub>10</sub> 01	-5369 <sub>10</sub> 01	-7024 <sub>10</sub> 01	-8221 <sub>10</sub> 01	-8896 <sub>10</sub> 01	-9308 <sub>10</sub> 01	-9615 <sub>10</sub> 01	-9880 <sub>10</sub> 01
3.0	-2389 <sub>10</sub> 01	-3036 <sub>10</sub> 01	-5023 <sub>10</sub> 01	-6613 <sub>10</sub> 01	-7938 <sub>10</sub> 01	-8749 <sub>10</sub> 01	-9235 <sub>10</sub> 01	-9578 <sub>10</sub> 01	-9860 <sub>10</sub> 01
4.0	-2388 <sub>10</sub> 01	-3003 <sub>10</sub> 01	-4803 <sub>10</sub> 01	-6317 <sub>10</sub> 01	-7702 <sub>10</sub> 01	-8614 <sub>10</sub> 01	-9165 <sub>10</sub> 01	-9511 <sub>10</sub> 01	-9839 <sub>10</sub> 01
5.0	-2388 <sub>10</sub> 01	-2981 <sub>10</sub> 01	-4648 <sub>10</sub> 01	-6091 <sub>10</sub> 01	-7501 <sub>10</sub> 01	-8490 <sub>10</sub> 01	-9098 <sub>10</sub> 01	-9505 <sub>10</sub> 01	-9819 <sub>10</sub> 01
6.0	-2387 <sub>10</sub> 01	-2964 <sub>10</sub> 01	-4531 <sub>10</sub> 01	-5910 <sub>10</sub> 01	-7327 <sub>10</sub> 01	-8374 <sub>10</sub> 01	-9034 <sub>10</sub> 01	-9469 <sub>10</sub> 01	-9799 <sub>10</sub> 01
7.0	-2387 <sub>10</sub> 01	-2951 <sub>10</sub> 01	-4438 <sub>10</sub> 01	-5769 <sub>10</sub> 01	-7175 <sub>10</sub> 01	-8267 <sub>10</sub> 01	-8972 <sub>10</sub> 01	-9435 <sub>10</sub> 01	-9779 <sub>10</sub> 01
8.0	-2387 <sub>10</sub> 01	-2941 <sub>10</sub> 01	-4363 <sub>10</sub> 01	-5638 <sub>10</sub> 01	-7040 <sub>10</sub> 01	-8168 <sub>10</sub> 01	-8912 <sub>10</sub> 01	-9401 <sub>10</sub> 01	-9759 <sub>10</sub> 01
9.0	-2387 <sub>10</sub> 01	-2931 <sub>10</sub> 01	-4300 <sub>10</sub> 01	-5531 <sub>10</sub> 01	-6920 <sub>10</sub> 01	-8076 <sub>10</sub> 01	-8854 <sub>10</sub> 01	-9367 <sub>10</sub> 01	-9740 <sub>10</sub> 01
10.0	-2386 <sub>10</sub> 01	-2925 <sub>10</sub> 01	-4246 <sub>10</sub> 01	-5439 <sub>10</sub> 01	-6812 <sub>10</sub> 01	-7987 <sub>10</sub> 01	-8798 <sub>10</sub> 01	-9335 <sub>10</sub> 01	-9721 <sub>10</sub> 01
20.0	-2385 <sub>10</sub> 01	-2886 <sub>10</sub> 01	-3950 <sub>10</sub> 01	-4903 <sub>10</sub> 01	-6109 <sub>10</sub> 01	-7336 <sub>10</sub> 01	-8331 <sub>10</sub> 01	-9040 <sub>10</sub> 01	-9541 <sub>10</sub> 01
30.0	-2385 <sub>10</sub> 01	-2886 <sub>10</sub> 01	-3816 <sub>10</sub> 01	-4647 <sub>10</sub> 01	-5732 <sub>10</sub> 01	-6919 <sub>10</sub> 01	-7980 <sub>10</sub> 01	-8791 <sub>10</sub> 01	-9377 <sub>10</sub> 01
50.0	-2385 <sub>10</sub> 01	-2851 <sub>10</sub> 01	-3681 <sub>10</sub> 01	-4382 <sub>10</sub> 01	-5312 <sub>10</sub> 01	-6401 <sub>10</sub> 01	-7480 <sub>10</sub> 01	-8391 <sub>10</sub> 01	-9095 <sub>10</sub> 01
100.0	-2385 <sub>10</sub> 01	-2833 <sub>10</sub> 01	-3544 <sub>10</sub> 01	-4107 <sub>10</sub> 01	-4853 <sub>10</sub> 01	-5767 <sub>10</sub> 01	-6768 <sub>10</sub> 01	-7732 <sub>10</sub> 01	-8560 <sub>10</sub> 01

Примечание. Форма представления чисел в таблицах 1 и 2: число 0,2417 · (10)<sup>01</sup> представлено в виде 2417<sub>10</sub> 01 и т. д.

Таблица 2

Затраты энергии на нагрев кислорода от температуры 293, 15°K до заданной температуры при разных давлениях

$\frac{P}{T}$	2000	2800	3600	4000	4400	4800	5200	5600	6000
0.1	·7429 <sub>10</sub> 00	·1661 <sub>10</sub> 01	·6009 <sub>10</sub> 01	·7556 <sub>10</sub> 01	·8186 <sub>10</sub> 01	·8495 <sub>10</sub> 01	·8739 <sub>10</sub> 01	·8967 <sub>10</sub> 01	·9191 <sub>10</sub> 01
1.0	·7384 <sub>10</sub> 00	·1292 <sub>10</sub> 01	·3426 <sub>10</sub> 01	·5522 <sub>10</sub> 01	·7245 <sub>10</sub> 01	·8137 <sub>10</sub> 01	·8598 <sub>10</sub> 01	·8905 <sub>10</sub> 01	·9161 <sub>10</sub> 01
2.0	·7378 <sub>10</sub> 00	·1242 <sub>10</sub> 01	·2899 <sub>10</sub> 01	·4684 <sub>10</sub> 01	·6575 <sub>10</sub> 01	·7803 <sub>10</sub> 01	·8451 <sub>10</sub> 01	·8838 <sub>10</sub> 01	·9128 <sub>10</sub> 01
3.0	·7375 <sub>10</sub> 00	·1219 <sub>10</sub> 01	·2655 <sub>10</sub> 01	·4232 <sub>10</sub> 01	·6108 <sub>10</sub> 01	·7519 <sub>10</sub> 01	·8311 <sub>10</sub> 01	·8774 <sub>10</sub> 01	·9096 <sub>10</sub> 01
4.0	·7373 <sub>10</sub> 00	·1206 <sub>10</sub> 01	·2507 <sub>10</sub> 01	·3939 <sub>10</sub> 01	·5758 <sub>10</sub> 01	·7274 <sub>10</sub> 01	·8185 <sub>10</sub> 01	·8711 <sub>10</sub> 01	·9065 <sub>10</sub> 01
5.0	·7372 <sub>10</sub> 00	·1197 <sub>10</sub> 01	·2405 <sub>10</sub> 01	·3730 <sub>10</sub> 01	·5484 <sub>10</sub> 01	·7059 <sub>10</sub> 01	·8065 <sub>10</sub> 01	·8650 <sub>10</sub> 01	·9033 <sub>10</sub> 01
6.0	·7372 <sub>10</sub> 00	·1190 <sub>10</sub> 01	·2329 <sub>10</sub> 01	·3571 <sub>10</sub> 01	·5261 <sub>10</sub> 01	·6870 <sub>10</sub> 01	·7952 <sub>10</sub> 01	·8591 <sub>10</sub> 01	·9002 <sub>10</sub> 01
7.0	·7371 <sub>10</sub> 00	·1185 <sub>10</sub> 01	·2270 <sub>10</sub> 01	·3444 <sub>10</sub> 01	·5076 <sub>10</sub> 01	·6700 <sub>10</sub> 01	·7845 <sub>10</sub> 01	·8533 <sub>10</sub> 01	·8972 <sub>10</sub> 01
8.0	·7370 <sub>10</sub> 00	·1181 <sub>10</sub> 01	·2222 <sub>10</sub> 01	·3340 <sub>10</sub> 01	·4918 <sub>10</sub> 01	·6548 <sub>10</sub> 01	·7745 <sub>10</sub> 01	·8478 <sub>10</sub> 01	·8942 <sub>10</sub> 01
9.0	·7370 <sub>10</sub> 00	·1178 <sub>10</sub> 01	·2183 <sub>10</sub> 01	·3253 <sub>10</sub> 01	·4782 <sub>10</sub> 01	·6410 <sub>10</sub> 01	·7649 <sub>10</sub> 01	·8423 <sub>10</sub> 01	·8913 <sub>10</sub> 01
10.0	·7370 <sub>10</sub> 00	·1175 <sub>10</sub> 01	·2149 <sub>10</sub> 01	·3179 <sub>10</sub> 01	·4663 <sub>10</sub> 01	·6284 <sub>10</sub> 01	·7559 <sub>10</sub> 01	·8371 <sub>10</sub> 01	·8884 <sub>10</sub> 01
20.0	·7368 <sub>10</sub> 00	·1159 <sub>10</sub> 01	·1966 <sub>10</sub> 01	·2767 <sub>10</sub> 01	·3959 <sub>10</sub> 01	·5437 <sub>10</sub> 01	·6852 <sub>10</sub> 01	·7911 <sub>10</sub> 01	·8614 <sub>10</sub> 01
30.0	·7367 <sub>10</sub> 00	·1152 <sub>10</sub> 01	·1885 <sub>10</sub> 01	·2580 <sub>10</sub> 01	·3615 <sub>10</sub> 01	·4960 <sub>10</sub> 01	·6372 <sub>10</sub> 01	·7546 <sub>10</sub> 01	·8377 <sub>10</sub> 01
50.0	·7366 <sub>10</sub> 00	·1145 <sub>10</sub> 01	·1803 <sub>10</sub> 01	·2390 <sub>10</sub> 01	·3255 <sub>10</sub> 01	·4415 <sub>10</sub> 01	·5745 <sub>10</sub> 01	·6995 <sub>10</sub> 01	·7979 <sub>10</sub> 01
100.0	·7365 <sub>10</sub> 00	·1138 <sub>10</sub> 01	·1720 <sub>10</sub> 01	·2197 <sub>10</sub> 01	·2878 <sub>10</sub> 01	·3803 <sub>10</sub> 01	·4941 <sub>10</sub> 01	·6156 <sub>10</sub> 01	·7267 <sub>10</sub> 01

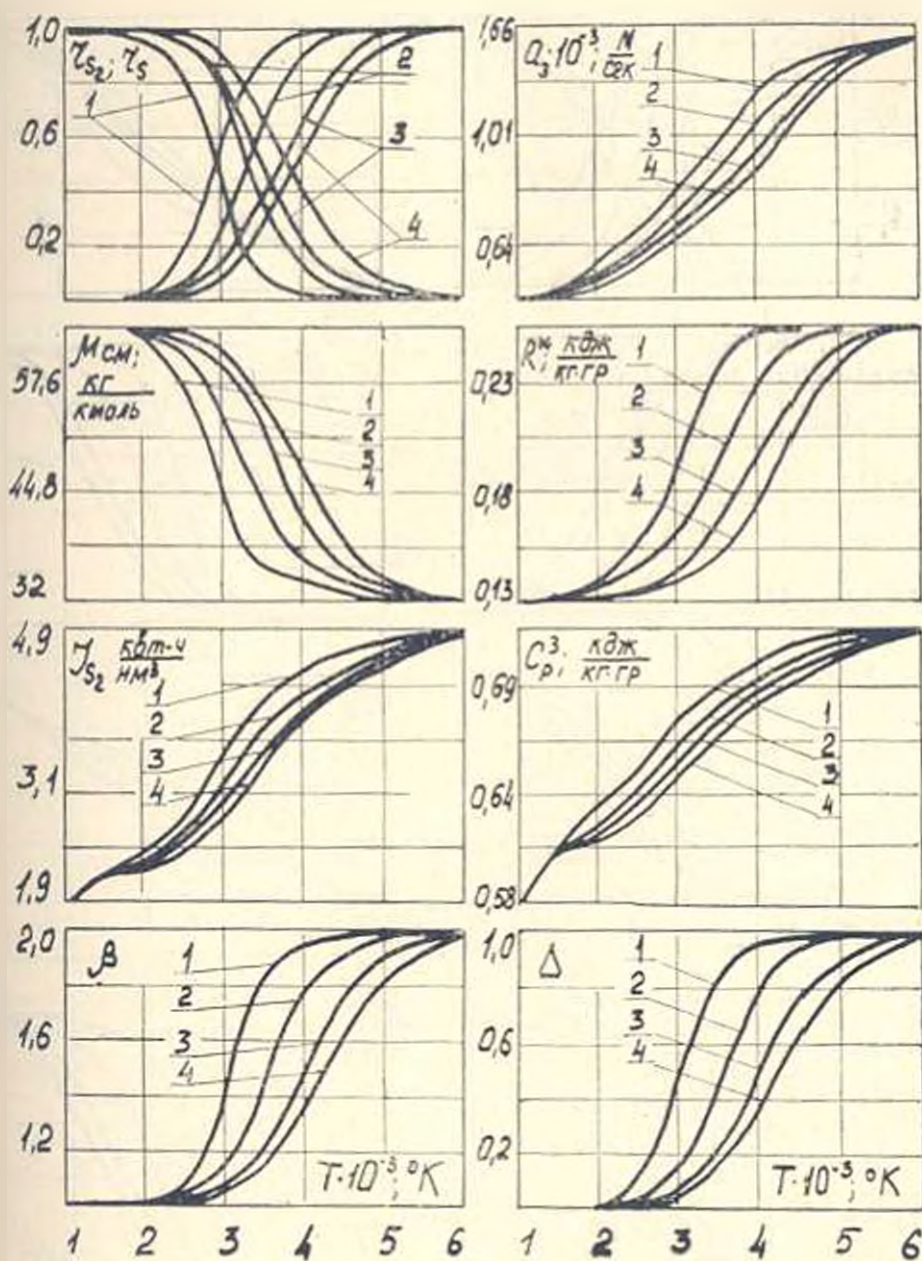


Рис. 1. Равновесный состав и некоторые термодинамические свойства диссоциированной серы при различных давлениях и температурах:

1—0,1 ата; 2—1 ата; 3—5 ата; 4—10 ата

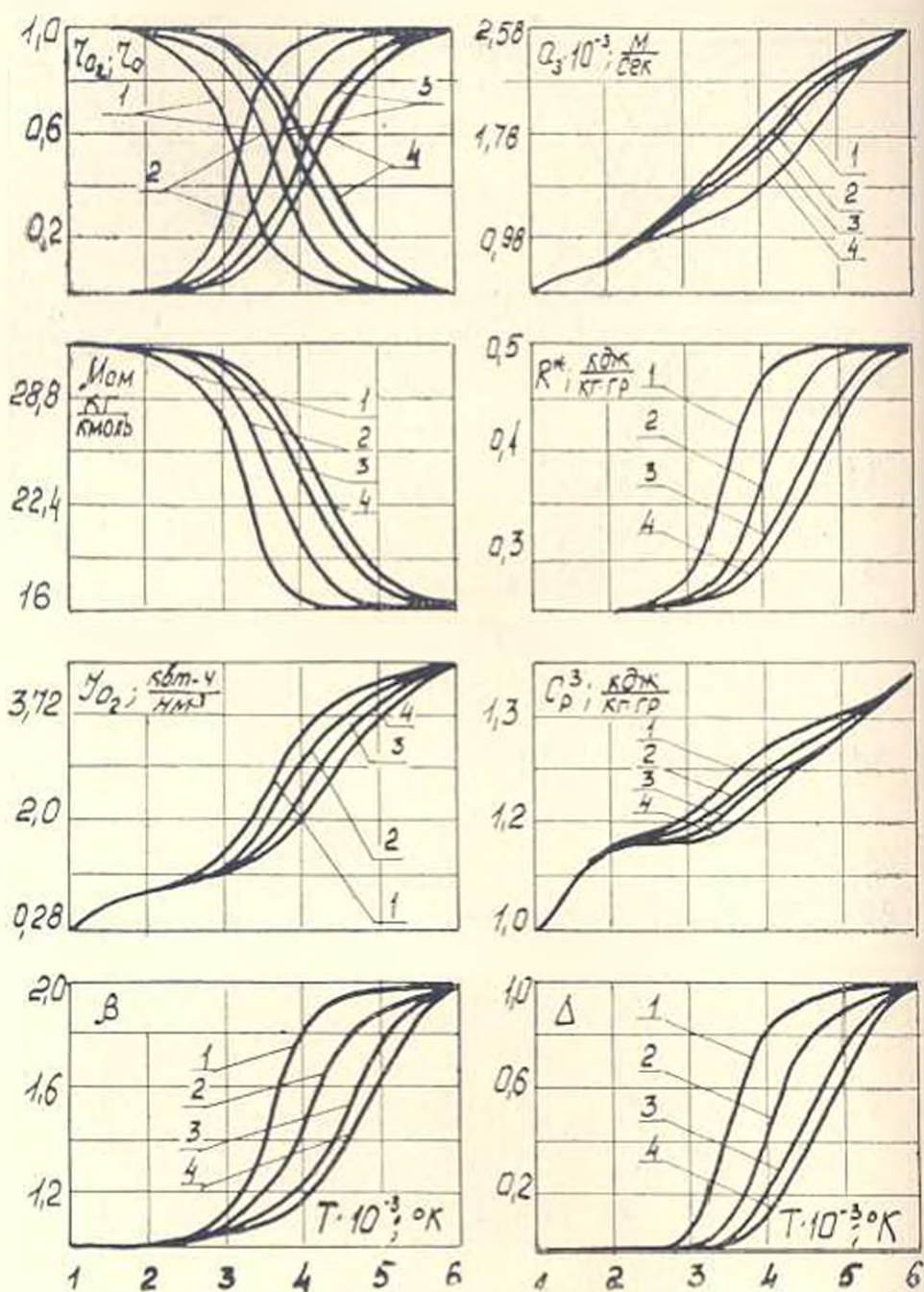


Рис. 2. Равновесный состав и некоторые термодинамические свойства жидкого кислорода при различных давлениях и температурах.

1—0,1 атм; 2—1 атм; 3—5 атм; 4—10 атм

При дифференцировании использовались интерполяционные полиномы для энтальпии соответствующих веществ, приведенных в [4]. Используя (7) и (8), можно определить истинную изохорную теплоемкость и показатель адиабаты «замороженной» смеси:

$$C_{V, \text{зам}} = C_{P, \text{зам}} - R_g \left| \frac{\text{кдж}}{\text{кг. град}} \right|; \quad (9)$$

$$k_{\text{зам}} = \frac{C_{P, \text{зам}}}{C_{V, \text{зам}}}. \quad (10)$$

Если скорости химических превращений не очень велики, а частота звуковых колебаний большая, то процесс сжатия в упругой волне протекает как в нераагирующей смеси. В таком случае скорость звука определяется как «замороженная» [1]:

$$a_{\text{зам}} = \sqrt{1000k_{\text{зам}} \cdot R_g \cdot T} \text{ [м/сек]}. \quad (11)$$

«Равновесная» скорость звука кислорода рассчитана в работе [9] в интервале температур 100–3000°K и давлений 1–100 ата. При отсутствии диссоциации до температур 2200°K и при давлении 1 ата значения «замороженной» и «равновесной» скоростей звука совпадают. Уже при  $T=3000$  K, когда степень диссоциации составляет лишь 5,61%, отличие «замороженной» скорости звука от «равновесной» составляет 3,5–4%.

Значения «замороженных» показателей системы можно использовать в расчетах высокоскоростных процессов, протекающих с большими градиентами температур и давлений.

Основные результаты расчетов представлены на рисунках 1 и 2. Как видно из рисунков, с увеличением температуры молярная доля молекулярных компонентов падает, а атомарных—возрастает. Увеличение давления несколько тормозит процесс диссоциации. При  $T=3000^\circ$  и  $P=0,1$  ата молярные доли молекулярных компонентов соответственно равны:  $r_{S_2}=0,44$  и  $r_{O_2}=0,7$ , а при той же температуре, но  $P=1$  ата— $r_{S_2}=0,8$  и  $r_{O_2}=0,88$ .

Заметная диссоциация молекулярной серы начинается при температуре  $T=2000$  K, в то время как у кислорода—при  $T=2600^\circ$ K.

На рисунках 1 и 2 представлены также зависимости  $C_{P, \text{зам}}$ ,  $R_g$ ,  $\nu$  и  $\Delta$  от температуры при различных давлениях.

Լ. Ս. ԱՍԿԱՆՅԱՆ, Ա. Լ. ՍՈՒՐԻՍ, Ս. Ն. ՇՈՐԻՆ

ՏԱՐՐԱՐԱԺԱՆՎԱՆ ԾՆՄՐԻ ԵՎ ԹԹՎԱՆԻ ԹԵՐՄՈՒԴԱՄԵԿԱԿԱՆ  
ՀԱՏԿՈՒԹՅՈՒՆՆԵՐԸ

Ա մ փ ք փ ու մ

Հոդվածում դիտված են 1000—6000°K և 0,1—100 մրն մեղման սահմաններում տարրաբաժանված ծծմրի և թթվածնի հալասարակչիո բաղադրության և հիմնական թերմոդինամիկական հատկությունների հաշվարկումների արդյունքները:

Л И Т Е Р А Т У Р А

1. Алемасов В. Е. и др. Термодинамические теплофизические свойства продуктов сгорания, т. 1, М., 1971, ВИНТИ.
2. Кессельман П. М. «Инженерно-физический журнал», т. 6, № 6, 1963.
3. Кессельман П. М., Рабинович В. А. «Инженерно-физический журнал», т. 6, № 7, 1963.
4. Термодинамические свойства индивидуальных веществ (под ред. акад. В. П. Глушко), т. 2, М., 1962.
5. Свойства газов при высоких температурах (под ред. А. С. Предводителя), М., 1967.
6. Бестужев А. С. Кандидатская диссертация, Одесский технологический институт им. Ломоносова, 1968.
7. Смирнов В. С., Арнонович Б. С. Производство сероуглерода «Химия», 1966.
8. Аадеева А. В. Газовая сера. Госхимиздат, 1950.
9. Hilsenrath I. Tables of Thermal Properties of Gases, NBS, Circular 564, 1955.
10. Вассерман А. А., Казанитский Я. З., Рабинович В. А. Теплофизические свойства воздуха и его компонентов. «Наука», 1965.

ТЕПЛОТЕХНИКА

В. С. ПОГОСЯН, М. А. СУРИС, Э. Б. ФИНКЕЛЬШТЕРИՆ

ТЕОРЕТИЧЕСКИЙ АНАЛИЗ ВЛИЯНИЯ ПРОЦЕССОВ  
ПЕРЕНОСА НА СКОРОСТЬ КОРРОЗИИ СТАЛИ В  
КОНТАКТЕ С ВЛАЖНОЙ ТЕПЛОИЗОЛЯЦИЕЙ

Анализ процессов переноса является определяющим при исследовании коррозии наружной поверхности теплопроводов.

Изучение таких сложных процессов, в которых наряду с электрохимическими превращениями значительную роль играет также передача вещества и энергии, имеет большое значение по следующим причинам.

Во-первых, мы выясняем закономерности протекания коррозионного процесса в тех условиях, где он имеет для нас практическое значение.

Во-вторых, мы получаем возможность оценить влияние на скорость коррозии основных физических параметров: температуры, влажности, давления водяного пара.

В-третьих, мы можем определить характер влияния на коррозионный процесс физико-химических свойств материала теплоизоляции (пористости, проницаемости, сорбционной активности и температурных коэффициентов).

В-четвертых, такое исследование дает нам возможность научно обосновать выбор оптимальной методики коррозионных испытаний стали в контакте с применяемыми теплоизоляционными материалами (автоклавным пенобетоном, битумоперлитом и др.).

В этой связи представляет интерес модель Л. В. Цимерманиса [1, 2, 3], в которой увлажнение капиллярно-пористых тел рассматривается как частный случай общих физических закономерностей, связывающих состояние материальных систем с их энергетическими уровнями. Эта модель приводит к универсальной, т. е. независимой от произвольных предположений о физической структуре сорбционного слоя и строения поверхности сорбента, аналитической зависимости

$$u = f(\varphi, T), \quad (1)$$

где  $u$  — удельное влагосодержание материала, равное отношению массы влаги к массе абсолютно сухого материала;  $\varphi = P/P_s$ ;  $P$  — парциальное давление пара;  $P_s$  — насыщающее давление пара над плоской поверхностью раздела вода-пар при внешнем барометрическом давлении.

В модели рассматривается поле сорбционных сил, простирающееся на конечное расстояние по нормали к поверхности сорбента и содержащее среднее количество молекул сорбата, удерживаемых молекулярными силами единицей площади поверхности частицы молекулярно-пористого тела.

Процесс перехода от одного уровня влагосодержания к другому в данном капиллярно-пористом теле вполне аналогичен переходу от одной плотности частиц к другой (с соответствующим изменением их потенциальных энергий) в одномерном силовом поле взаимодействующих частиц. К последнему, как известно, применимо классическое распределение Больцмана без всяких ограничений. Идеальную модель поля сорбционных сил, соответствующую каждому определенному влагосодержанию данного капиллярно-пористого тела, можно рассматривать как элементарную ячейку многомерного фазового пространства равномерно распределенных невзаимодействующих частиц в одномерном силовом поле. Зная энергию распределения и используя уравнение Больцмана, можно вычислить соответствующее количество молекул воды в капиллярно-пористом теле, и наоборот, по заданному влагосодержанию легко определить величину энергии.

В этих предположениях уравнение сорбции (1) принимает вид:

$$u = u_{\text{мг}} \exp\left(-\frac{a\Delta E_c}{RT}\right), \quad (2)$$

где  $a$ —сорбционная активность, являющаяся мерой отклонения энергии распределения молекул сорбата в поле сорбционных сил от их потенциальной энергии в идеальной системе, с которой это поле находится в состоянии равновесия;

$u_{\text{мг}}$ —максимальное сорбционное влагосодержание;

$E_c$ —энергия распределения моля воды в равновесном водяном паре;

$R$ —универсальная газовая постоянная.

Влажностное состояние теплоизоляционных материалов в гидротермической области описывается теми же закономерностями, что и в гигротермической.

Рассмотренная модель увлажнения (сушки) теплоизоляции в гигротермической и в гидротермической областях позволяет сделать ряд важных выводов относительно процесса коррозии наружной поверхности теплопроводов. Как известно, для коррозионных процессов, происходящих при участии в катодном процессе кислорода, наиболее существенным является тот факт, что скорость катодного процесса электрохимического восстановления кислорода, как правило, регулируется не кинетическим, а диффузионным фактором. Скорость коррозии в этом случае полностью определяется величиной диффузионного тока по кислороду и зависит не от электрохимических свойств металла, а от условия переноса молекул растворенного кислорода к поверхности металла. Для расчета процессов переноса вводится величина  $\beta$ , называемая константой скорости диффузии и определяемая как отношение

диффузионного потока к разности концентраций. Диффузионный поток  $q$  выражается как

$$q = \xi \Delta c, \quad (3)$$

где  $\Delta c$  — разность концентраций. Константа скорости диффузии имеет размерность линейной скорости (см/сек). Нам интересуют вопрос об определении константы скорости диффузии  $\xi$ .

При описании процесса диффузии к твердой поверхности естественным образом вводится понятие эффективной диффузионной длины  $\delta_e$ , имеющей смысл толщины слоя, непосредственно прилегающего к поверхности, внутри которого механизм переноса является чисто молекулярным.

Чтобы получить истинную интенсивность переноса в слое толщины  $\delta_e$ , необходимо, чтобы

$$\xi = \frac{D}{\delta_e}, \quad (4)$$

где  $D$  — коэффициент диффузии растворенного кислорода.

В рамках рассмотренной модели увлажнения теплоизоляции в качестве эффективной диффузионной длины  $\delta_e$  естественно принять величину  $\lambda$  — толщину слоя адсорбированных молекул воды —

$$\delta_e = \lambda. \quad (5)$$

Общее выражение для эффективной длины диффузии с учетом нормировки энергии и соотношения (12) может быть представлено в виде:

$$\delta_e^* = \delta_{e0} \exp\left(-\frac{n\Delta E_s}{RT}\right). \quad (6)$$

где  $\delta_{e0}$  — эффективная длина диффузии, соответствующая максимальному сорбционному влагосодержанию.

Учитывая, что  $\Delta E_s = -RT \ln \varphi$ , выражение (6) запишется так:

$$\delta_e^* = \delta_{e0} \varphi^n. \quad (7)$$

Изучение экспериментальных изотерм различных капиллярно-пористых материалов, собранных в [4], показывает, что при постоянном  $\varphi$  влагосодержание уменьшается с увеличением температуры, что, по-видимому, связано с уменьшением сил Ван-дер-Ваальса и соответствующим падением адсорбции. Эксперименты показывают, что влагосодержание при любом фиксированном  $\varphi$  линейно зависит от температуры. Это позволяет написать для эффективной длины диффузии, соответствующей максимальному сорбционному влагосодержанию, следующее уравнение, выражающее наиболее общую линейную зависимость:

$$\delta_{e0}^* = \delta_0^* [1 - \alpha_T (T - 273)], \quad (8)$$

где  $\delta_0^*$  — эффективная диффузионная длина, соответствующая максимальному сорбционному влагосодержанию, при  $T = 273^\circ \text{K}$ ;

$\alpha_T$  — температурный коэффициент максимального сорбционного влагосодержания.

Подставляя (8) в (7), найдем:

$$\beta^2 = \beta_0^2 [1 - \alpha_T (T - 273)] \varphi^{\alpha}, \quad (9)$$

Для коэффициента диффузии можно записать:

$$D = D_0 [1 + \alpha_D (T - 273)], \quad (10)$$

где  $D_0$  — коэффициент диффузии при  $T = 273^\circ\text{K}$ ;  $\alpha_D$  — температурный коэффициент.

Учитывая зависимость эффективного коэффициента молекулярной диффузии растворённого кислорода от пористости [5], формула для константы скорости диффузии может быть представлена в виде:

$$\beta = \beta_0 \Pi \left[ 1 - \frac{1}{3} (1 - \Pi) \right] \left| \frac{1 + \alpha_D (T - 273)}{1 - \alpha_T (T - 273)} \right| \cdot \varphi^{-\alpha}, \quad (11)$$

где  $\Pi$  — пористость;  $\beta_0 = D_0 \beta_0^*$  — константа скорости диффузии при  $T = 273 \text{ K}$ .

Для окончательного выражения константы скорости диффузии через экспериментальные параметры, необходимо определить зависимость сорбционной активности от давления водяного пара. Эта зависимость для капиллярно-пористого тела имеет вид [2]:

$$a = a_0 K^{\alpha}, \quad (12)$$

где  $a_0$  — структурная сорбционная активность, характеризующая взаимодействие молекул сорбента с молекулами сорбата и последних между собой;

$K$  — безразмерный коэффициент, характеризующий изменение взаимодействия между молекулами сорбента и сорбата и последних между собой с изменением уровня энергии распределения равновесного пара.

С учетом (12) формула (11) запишется в виде:

$$\beta = \beta_0 \Pi \left[ 1 - \frac{1}{3} (1 - \Pi) \right] \left| \frac{1 + \alpha_D (T - 273)}{1 - \alpha_T (T - 273)} \right| \cdot \varphi^{-\alpha K^{\alpha}}, \quad (13)$$

Проанализируем полученное общее выражение для величины  $\beta$ .

Скорость коррозии пропорциональна константе скорости диффузии. Как видно из формулы (13), характер зависимости скорости коррозии от температуры определяется дробно-рациональным множителем

$$\frac{1 + \alpha_D (T - 273)}{1 - \alpha_T (T - 273)}$$

На рис. 1 показана зависимость от температуры безразмерной константы скорости диффузии для пенобетона при различных значениях  $\varphi$ . Как видно из рисунка, в интересующем нас диапазоне темпера-

тур эта зависимость близка к линейной и определяется такими параметрами, как  $\alpha_0$  и  $\alpha_T$ . Указанный вид зависимости скорости коррозии от температуры характеризует термодинамически замкнутую систему.

В термодинамически открытой системе скорость коррозии определяется произведением  $\gamma c$ , причем величина  $c$  (концентрация растворенного кислорода) сама зависит от температуры.

Характер зависимости скорости коррозии от температуры в термодинамически открытой системе при различных значениях  $\gamma$  показан на рис. 2. Как видно из рисунка, скорость коррозии в такой системе почти не зависит от температуры в интервале значений от 20 до 70°C. При температурах свыше 70°C скорость коррозии резко падает.

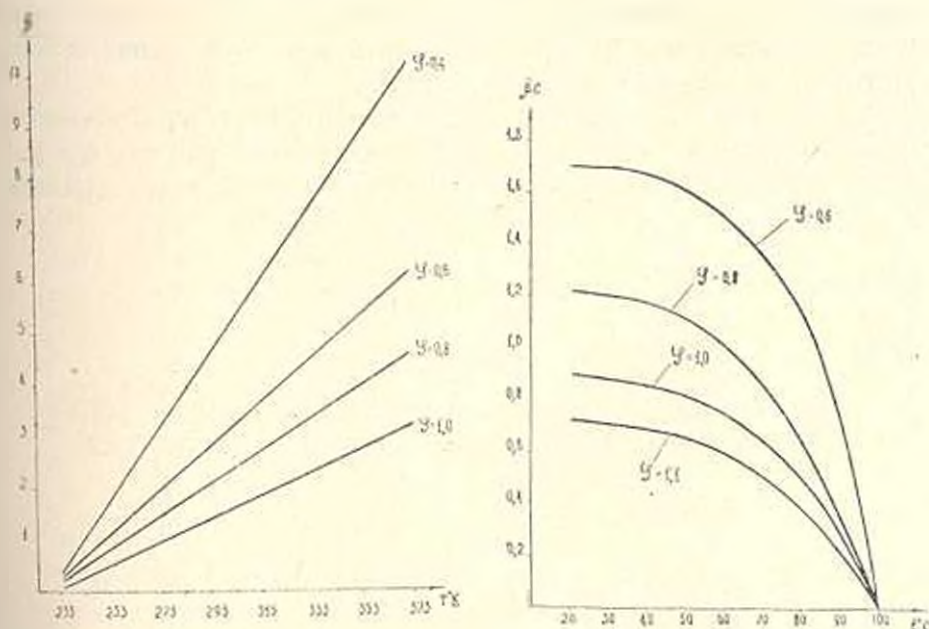


Рис. 1. Зависимость безразмерной кон- Рис. 2. Зависимость безразмерного потока станты скорости диффузии от температуры диффузии от температуры при различных давлений водяного пара при различных давлениях водяного пара

Чрезвычайно важно то обстоятельство, что реальная теплоизоляционная конструкция не является ни полностью открытой, ни полностью замкнутой системой. С одной стороны, наличие повреждений в гидроизоляции приближает теплопровод к открытой системе. С другой стороны, периодическое изменение температуры наружной поверхности теплопровода приводит к завышенным значениям скорости коррозии по сравнению со значениями, соответствующими открытой системе. Рассмотрим это явление несколько подробнее.

В условиях эксплуатации тепловой режим сети периодически (один—два раза в сутки) изменяется в соответствии с изменением температуры наружного воздуха. Скорость изменения температуры составляет около 30°C в час. Увеличение температуры теплоносителя и темпе-

ратурного градиента в теплоизоляции соответствует увеличению потока жидкости в направлении к периферийным слоям теплоизоляции, обусловленного капиллярными силами. Однако этот поток в значительной степени обеднен кислородом, так как количество кислорода, в соответствии с кривой растворимости, максимально в периферийных слоях теплоизоляции, т. е. там, где температура минимальна. Поток жидкости в обратном направлении, соответствующий уменьшению температурного градиента, и периодические изменения температуры приводят к возникновению своеобразного кислородного «насоса», усиливающего коррозионный процесс. Интенсивность действия такого «насоса» зависит от количества замкнутых пор в теплоизоляции, влажности окружающей среды, температуры теплоносителя и характера повреждений в гидроизоляции. Оценки показывают, что максимум интенсивности приходится на интервал температур 70—80°C.

Из формулы (13) можно также определить характер зависимости скорости коррозионного процесса от давления водяного пара при различных температурах. Как следует из (13), эта зависимость определя-

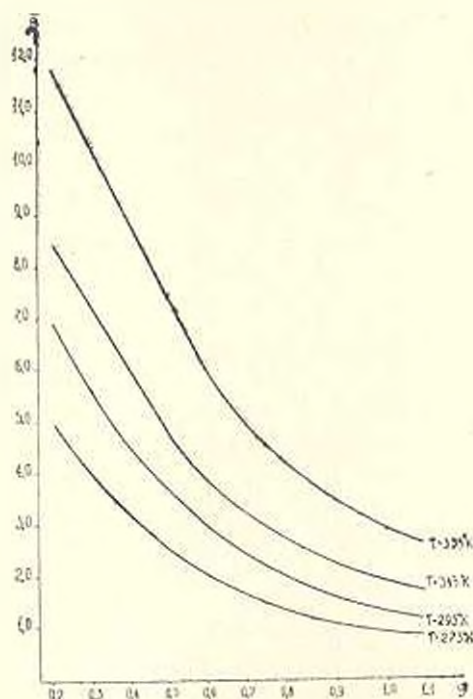


Рис. 3. Зависимость безразмерной константы скорости диффузии от давления водяного пара при различных температурах

ется множителем  $\sigma^{-0,42}$ . Семейство кривых, описывающих зависимость безразмерной константы скорости диффузии от давления водяного пара для пенобетона, представлено на рис. 3. Эти кривые определяются

такими параметрами материала теплоизоляции как структурная сорбционная активность  $\mu_0$  и безразмерный коэффициент  $K$ .

### Выводы

1. Наружная поверхность теплопровода в контакте с увлажненной теплоизоляцией находится в условиях, благоприятствующих большим скоростям электродных процессов и малым скоростям процессов переноса (высокие температуры, низкие скорости жидкости и газа, малые конвективные потоки), и корродирует по законам диффузионной кинетики.

2. Скорость коррозии стали в контакте с капиллярно-пористым телом в стационарном режиме почти не зависит от температуры в интервале значений от 20 до 70°C. При температуре свыше 70°C скорость коррозии резко падает.

3. Наличие температурного градиента и периодических изменений температуры приводит к увеличению интенсивности коррозионного процесса. Максимальная интенсивность приходится на температурные колебания около температуры 70°C.

Академия коммунального  
хозяйства им. К. Д. Памфилова

Поступило 1.III.1974.

Վ. Ս. ՊՈՂՈՍՅԱՆ, Մ. Ա. ՍՈՒՐԻՍ, Է. Ս. ՅԻՆՈՒՇՆՅԱՆ:

### ԻՆՏԱԿՆԻՄԱՆԻՍԻՐՈՒՄԻ ՀԵՏ ԿՈՆՏԱԿՏՈՒՄ ՊՈՂՊԱՏԻ ԿՈՌՈԶԻԱՅԻ ԱՐԱԿՈՒԹՅԱՆ ՎՐԱ ՓՈԽԱԿՐՄԱՆ ՊՐՈՑԵՍՆԵՐԻ ԱԶԳԵՑՈՒԹՅԱՆ ՎԵՐԼՈՒՄՈՒԹՅՈՒՆ

#### Ա մ փ ո ս փ ո ս մ

Հողվածքում տեսականորեն վերլուծության է ենթարկվում հիմնական ֆիզիկական պարամետրերի՝ խոնավության, ջրի պարզու ձեւում, — ազդեցությունը ջերմաստիճանի փոփոխությանը կոռոզիայի արագության վրա:

Որոշված է կոռոզիան պրոցեսի վրա ջերմամեկուսիչ նյութի ֆիզիկա-իքմիական հատկությունների (ծակոտկենության, սորբցիոն ակտիվություն, ջերմաստիճանային գործակիցներ) ազդեցության բնույթը:

#### Л И Т Е Р А Т У Р А

1. Цимерманис Л. Б. Статистическая теория влажностного состояния капиллярно-пористых материалов и ее применение к исследованию вспученного вермикулита и изделий. В кн. «Вермикулит», Стройиздат, 1965.
2. Цимерманис Л. Б. Гигротермическое влажностное состояние строительных материалов (диссертация), 1967.
3. Цимерманис Л. Б. Элементы теории поля сорбционных сил и их применение к исследованию процесса твердения вяжущих в закрытой системе. В кн. «Гидратация и твердение цементов». Южно-Уральское книжное издательство, Челябинск, 1969.
4. Никитина Л. М. Таблицы равновесного удельного влагосодержания и энергии связи влаги с материалами. Госэнергоиздат, 1963.
5. Prager S. Diffusion and Viscous Flow in Concentrated Suspension. Physica, 29, p. 129, (1963).

ТЕПЛОТЕХНИКА

А. В. ТАТЕВОСЯН, С. С. ХАЧАТРЯН, Ю. П. КУЛЕШОВА

МОДЕЛИРОВАНИЕ ПРОЦЕССА ПАРОЖИДКОСТНОГО РАВНОВЕСИЯ

Одной из важнейших задач, которую приходится решать при расчете процессов ректификации, является исследование и математическое описание условий равновесия в парожидкостных смесях. Это требует определения зависимостей коэффициентов активности и летучести всех компонентов смеси от состава, температуры и давления.

Для получения этих зависимостей применяются эмпирические и полуэмпирические выражения, удовлетворяющие уравнению Гиббса-Дюгема, базирующиеся на понятии избыточной свободной энергии Гиббса [1].

$$\ln \gamma_i = \frac{1}{RT} \cdot \frac{\partial(\Delta g^E)}{\partial x_i} \quad (1)$$

где  $\gamma$  — коэффициент активности;

$R$  — универсальная газовая постоянная, *кал/моль.град*;

$T$  — температура,  $^{\circ}\text{K}$ ;

$\Delta g^E$  — избыточная свободная энергия;

$x$  — молярная доля компонента в жидкой фазе, *моль/моль*.

Как видно из уравнения (1), при известной зависимости свободной энергии от индивидуальных свойств компонентов смеси и их взаимодействия, можно легко найти и зависимость коэффициента активности от состава. Параметры уравнений, описывающих парожидкостное равновесие, определяются по экспериментальным данным о равновесии в исследуемой системе.

При экспериментальном исследовании равновесия между жидкостью и паром неизбежны погрешности, обусловленные несовершенством приборов и методов исследования, а также субъективными факторами. В связи с этим возникает необходимость проверки экспериментальных данных на термодинамическую совместимость и частичного исправления в случаях их некорректности [2].

Равновесные данные являются термодинамически совместимыми, если они удовлетворяют основным термодинамическим соотношениям и, в частности, уравнению

$$x_1 d \ln \gamma_1 + x_2 d \ln \gamma_2 + \frac{\Delta H_{\text{ср}}}{RT^2} dT - \frac{\Delta V_{\text{ср}}}{RT} dP = 0 \quad (2)$$

либо

$$C = \int_{x_{1n}}^{x_{1i}} x_1 d \ln \gamma_1 + \int_{x_{1k}}^{x_{2i}} x_2 d \ln \gamma_2 + \int_{T_{2i}}^{T_1} \left( \frac{\Delta H_{см}}{RT^2} \right) dT = \text{const}, \quad (3)$$

где

$\Delta H$ —мольная теплота смешения, *кал/моль*;

$\Delta V$ —изменение мольного объема при смешении компонентов, *см<sup>3</sup>/моль*.

Отклонение величины  $C$  в какой-то экспериментальной точке от постоянного значения  $C = \text{const}$  является свидетельством некорректности равновесных данных.

Несмотря на то, что выражение (3) однозначно определяет некорректность равновесных данных, оно не учитывает ограниченную точность опытных измерений [3].

Интегрируя по методу трапеций уравнение (2) при  $\Delta H_{см} \rightarrow 0$  и  $\Delta V_{см} \rightarrow 0$ , можно получить количественную оценку максимально возможной погрешности

$$\epsilon_{i-1,i} = (x_i + x_{i-1}) \ln \frac{\gamma_{1i}}{\gamma_{1,i-1}} + (2 - x_i - x_{i-1}) \ln \frac{\gamma_{2i}}{\gamma_{2,i-1}} \quad (4)$$

Данное выражение показывает некорректность экспериментальных данных в равновесных точках  $x_{i-1}$ ,  $x_i$ . Оценивая возможную погрешность выражения (4) при заданной точности измерения всех входящих в него величин, можно получить следующее соотношение:

$$\begin{aligned} |D_{\max_{i-1,i}}| = & (x_i + x_{i-1}) \left( \frac{1}{x_{i-1}} + \frac{1}{x_i} + \frac{1}{y_{i-1}} + \frac{1}{y_i} \right) + \\ & + (2 - x_i - x_{i-1}) \left( \frac{1}{1 - x_{i-1}} + \frac{1}{1 - x_i} + \frac{1}{1 - y_{i-1}} + \frac{1}{1 - y_i} \right) + \\ & + 2 \left| \ln \frac{\gamma_{1i}}{\gamma_{1,i-1}} \right| + 2 \left| \ln \frac{\gamma_{2i}}{\gamma_{2,i-1}} \right| \delta_x + 2 \left\{ (x_i + x_{i-1}) \left| \frac{\ln P_{1i}^0 - P_{1,i-1}^0}{T_i - T_{i-1}} \right| + \right. \\ & \left. + (2 - x_i - x_{i-1}) \left| \frac{\ln P_{2i}^0 - \ln P_{2,i-1}^0}{T_i - T_{i-1}} \right| \right\} \delta_T + 2 \left( \frac{1}{P_i} - \frac{1}{P_{i-1}} \right) \delta_P \quad (5) \end{aligned}$$

(где  $y$ —мольная доля компонента в паровой фазе, *моль/моль*;  $P^0$ —давление насыщенных паров, *атм*;  $\delta_x$ ,  $\delta_T$ ,  $\delta_P$ —экспериментальная точность определения состава, температуры и давления фазы),—определяющее максимально допустимое отклонение значения для всех прилегающих пар экспериментальных точек. Тогда условием термодинамической совместимости будет выполнение неравенства

$$|\epsilon_{i-1,i}| \leq |D_{\max_{i-1,i}}|. \quad (6)$$

В данной статье приводятся результаты анализа и проверки парожидкостного равновесия бинарных смесей на примере системы ацетальдегид-винилацетат [4].

Экспериментальные данные были коррелированы с помощью уравнений Ван-Лаара, Маргулеса, Редлиха-Кистера [5]. Результаты расчетов, проведенных на ЭВМ, представлены на рис. 1.

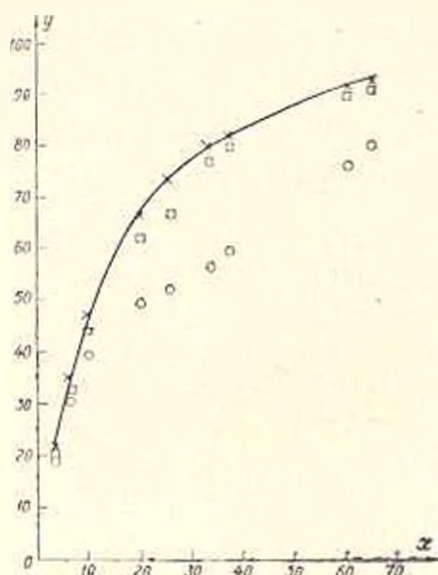


Рис. 1. Экспериментальные и расчетные данные системы ацетальдегид-винилацетат: X, O, □ — расчетные данные по моделям Редлиха-Кистера, Маргулеса, Ван-Лаара

Отклонения расчетных и экспериментальных данных по составу паровой фазы рассчитывались по уравнению

$$\Delta y = \frac{\sum_{j=1}^n \sum_{k=1}^n |y_{j\text{эксп}} - y_{j\text{расч}}|}{nk} \quad (7)$$

Таблица 4

$\int_{x_{1H}}^{x_{1H}} x_1 d \ln \gamma_1$	$\int_{x_{1H}}^{x_{1H}} x_2 d \ln \gamma_2$	C	$x_{i-1, i}$	$ D_{\text{max}_{i-1, i}} $
0.00000	-0.03525	-0.03525	—	—
-0.00639	-0.06812	-0.07451	-0.07852	0.01943
-0.01094	-0.06115	-0.07212	0.00483	0.02033
-0.01161	-0.08551	-0.09713	-0.05006	0.02389
-0.01072	-0.04318	-0.05391	0.08614	0.02718
-0.01118	-0.00268	-0.04387	0.02007	0.03005
-0.04859	-0.01818	-0.06677	-0.04580	0.03181
-0.07586	-0.00260	-0.07847	-0.02339	0.03990
-0.07409	0.00000	-0.07409	0.00875	0.04437

где  $n$  — число экспериментальных точек;  $k$  — число компонентов. Наименьшее отклонение получено при использовании уравнения Редлиха-Кистера (0,69%), а наибольшее — Маргулеса (14,3%).

Как показывают результаты проверки на термодинамическую совместимость (табл. 1), данная система удовлетворяет соотношению (6).

Поступило 8.1.1974.

Ա. Վ. ԹԱԿԵՎՈՍՅԱՆ, Ս. Ա. ԿԱԶԱՏԻԱՆ, ՏՈՒ. Գ. ԿՈՒԼՇԵՈՎԱ

ԿՈՒՐՇԻԱԶԵՂՈՒԿԱՑԻՆ ՀԱՎԱՍԱՐԱԿՇԻՈՒԹՅԱՆ ՊՐՈՑԵՍԻ ՄՈԴԵԼԱՑՈՒՄ

Ա Վ Փ Ո Վ Ո Վ

Ացնտալդեհիդ-փինիլացետատի բինար խառնուրդի օրինակի վրա մեքենայական հաշվարկով ցույց է արված գոլորշիահեղուկային հավասարակշռության տարրեր մոդելների օգտագործումը: Մտացված է միջին շեղումը էքսպերիմենտից: Կատարված է նաև փորձնական տվյալների թերմոդինամիկական համատեղության ստուգում: Հաշվարկումները ցույց են տվել, որ ացնտալդեհիդ-փինիլացետատ սիստեմի տվյալները կորեկա են:

Л И Т Е Р А Т У Р А

1. Коган В. Б. Гетерогенные равновесия. «Химия», 1968.
2. Herington E. F. I. appl. Chem. 1968, vol. 18, October.
3. Бояриков А. И. Докторская диссертация, МХТИ, М., 1972.
4. Коган В. Б., Фридкин В. М., Кафаров В. В. Равновесие между жидкостью и паром. Справочник. «Наука», 1966.
5. Хала Э., Пух Н., Фрид В., Вилим О. Равновесие между жидкостью и паром. Изд. ИЛ, 1962.

УДК 62—231

*Задача о прямолнейных квадратических точках в пространственном движении.* Саркисян Ю. Л. «Известия АН АрмССР (серия Т. II.)», т. XXVII, № 3, 1974, 3—7.

В статье рассматривается задача об определении особых точек твердого тела, которые в пространственном движении, заданном неограниченным числом конечно-удаленных положений, реализуют вращенное квадратическое приближение к прямой. Эти точки, названные прямолнейными квадратическими, применяются при синтезе пространственных стержневых механизмов, содержащих призматические пары.

Илл. 1. Библ. 4 назв.

УДК 621.923 : 620.191.355+519.272

*Корреляционная функция шероховатости как характеристика свойства обработанной поверхности.* Шмугер С. Л., Коcharян Р. А., Айрикян Р. Л. «Известия АН АрмССР (серия Т. II.)», т. XXVII, № 3, 1974, 8—18.

Применительно к обработанной абразивом поверхности, шероховатость которой представляет собой стационарный нормальный случайный процесс, рассматривается корреляционная функция как характеристика эксплуатационных свойства поверхности, в частности, площади поверхности и контактной жесткости стыка. Описывается разработанный на основе выпускаемых промышленностью приборов коррелятор для быстрой оценки корреляционной функции при исследованиях свойства поверхности и методов задания необходимых параметров шероховатости.

Илл. 6. Библ. 8 назв.

УДК 621.643.2.0012 : 661.716

*Расчет трубопроводов для перекачки азросмесей.* Гаспарян А. М., Алмасян Я. А., Акопян Р. Е. «Известия АН АрмССР (серия Т. II.)», т. XXVII, № 3, 1974, 51—56.

Разработана методика расчета трубопровода любой конфигурации с вертикальными участками, углами и поворотами, предназначенного для пневмотранспорта азросмесей в плотном слое.

Илл. 3. Табл. 1. Библ. 3 назв.

УДК 661.21+661.937 : 536.7

*Термодинамические свойства диссоциированных серы и кислорода.* Асладян Л. С., Сурис А. Л., Шорин С. И. «Известия АН АрмССР (серия Т. II.)», т. XXVII, № 3, 1974, 57—64.

Приносятся результаты термодинамического расчета равновесного состава и некоторых свойств диссоциированных  $S_2$  и  $O_2$  в диапазоне температур 1000 : 6000°K и давлений 0,1 : 100атм.

Илл. 2. Табл. 2. Библ. 10 назв.

УДК 661.715.342 : 536.7

*Моделирование процесса парожидкостного равновесия.* Татевосян А. В., Хачатрян С. С., Кулешова Ю. П. «Известия АН АрмССР (серия Т. II.)», т. XXVII, № 3, 1974, 72—75.

На примере бинарной смеси ацетальдегид-винилацетат машинным расчетом показано использование различных моделей парожидкостного рав-

новения. Выявлено среднее отклонение от эксперимента. Сделана также проверка экспериментальных данных на термодинамическую совместимость. Расчеты показали, что равновесные данные системы ацетальдегид-винилацетат корректны.

Илл. 1. Табл. 1. Библ. 5 назв.

УДК 621.311.62—50

*Об одном алгоритме расчета установившихся режимов больших электрических систем.* Хачатрян В. С. «Известия АН АрмССР (серия Т. II)», т. XXVII, № 3, 1974, 19—26.

Предлагается новый метод расчета установившихся режимов больших электрических систем, основанный на идее их представления как совокупности радиально связанных подсистем. Метод основывается на Z-форме задания состояния сети. Для решения полученных нелинейных алгебраических уравнений применяется метод Ньютона-Рафсона.

На основании разработанного метода составлен вычислительный алгоритм, согласно которому решение поставленной задачи для большой системы расматривается как совокупность решений отдельных подсистем.

Практическое применение предложенного метода обеспечивает высокую эффективность и перспективность для расчета установившихся режимов больших электрических систем.

Табл. 1. Библ. 4 назв.

УДК 621.391.82+534.121.2+612.895.24

*Обнаружение полезного сигнала-отклика нелинейной системой на фоне помех.* Мадоев А. О., Карапетян Г. С., Минасян А. О. «Известия АН АрмССР (серия Г. II)», т. XXVII, № 2, 1974, 33—41.

Используя параметрические и непараметрические модели, показана возможность выделения полезного сигнала-отклика по критерию максимального отношения сигнал/помеха, на фоне нормальных помех, в общем нестационарном процессе.

Введение обратных связей, по аналогии с нейрофизиологической частью слухового аппарата, дает возможность построить адаптивную систему—приемник, сходный по свойствам с базилярной мембраной слухового анализатора. Метод применен для определения сигналов представительств внутренних органов и головного мозга человека и для их анализа с целью диагностики.

Илл. 8. Библ. 6 назв.

УДК 621.643.2+532.542

*Нестационарное движение воды в ниппрных трубопроводах с воздушными полостями.* Багдасарян А. Б. «Известия АН АрмССР (серия Т. II)», т. XXVII, № 3, 1974, 42—50.

При заполнении водой трубопроводов насосных станций и дюкеров известны многочисленные случаи аварий, причиной которых являлись воздушные полости, образующиеся в движущемся потоке воды.

Для определения величины повышения давления при появлении гидравлического удара, связанного с выбросом воды из трубопровода, решена задача нестационарного движения воды в трубопроводах с воздушными полостями. Приведены уравнения, описывающие явление при различных

случаях укладки трубопровода, как при нормальной работе пантуза, так и при его отсутствии. Получены некоторые приближенные и асимптотические решения. Дан пример численного решения задачи.

Илл. 2. Библ. 2 назв.

УДК 669.14 : 260.193

*Теоретический анализ влияния процессов переноса на скорость коррозии стали в контакте с влажной теплоизоляцией.* Погосян В. С., Сурис М. А., Финкельштейн Э. Б. «Известия АН АрмССР (серия Т. II.)», т. XXVII, № 3, 1974, 65—71.

Теоретически анализируется влияние основных физических параметров: температуры, влажности, давления водяного пара,—на скорость коррозии теплопроводов. Определяется характер влияния на коррозионный процесс физико-химических свойств материала теплоизоляции (пористости, сорбционной активности и температурных коэффициентов).

Илл. 3. Библ. 5 назв.

Ի Ռ Վ Ա Ն Կ Ա Կ Ո Ի Թ Յ Ո Ի Ն

ՄԵՔՆՆԱՇԻՆՈՒԹՅՈՒՆ

Յու. Լ. Սարգսյան. Ուղղագրի օրասակուսային կետերի խնդիրը տարածական շարժման դեպքում . . . . .	3
Ս. Լ. Շմուսև, Խ. Ա. Փոշարյան, Թ. Լ. Հայրիկյան. Խորհուրդագույնայինների կոնցլյուսցիոն ֆունկցիան որպես մշակված մակերևույթի հատկությունների բնութագիր . . . . .	8

ԷՆՈՒԿՏԻԿԱ

Վ. Ս. Խաչատրյան. Սեծ էլեկտրական սխեմաների կայուն ուժիմների հաշվման մի այգորիթմի մասին . . . . .	19
---	----

ՀԱՇՎՈՂԱԿԱՆ ՏԵԽՆԻԿԱ

Խ. Ա. Թաֆալյան, Կ. Լ. Վանքաթյան, Թ. Ա. Խաչատրյան. Իներցիոն սխեմաների պոլիմերացիան ախատանքային բայերի ճշտումով՝ ըստ ստատիկ ուղ-գծային բնութագրի հորիզոնական զրևիֆի արագության . . . . .	27
--	----

ԳԱՓՈՂԱԿԱՆ ՏԵԽՆԻԿԱ

Ա. Ն. Մազոն, Կ. Ա. Կուրապետյան, Հ. Հ. Միևսյան. Օգտակար ազդանյան-տրմազանցի բացահայտումը խանգարումների ֆունկ վրա՝ ուղ-գծային սխեմաների միջոցով . . . . .	33
--	----

ՀԻՒՐԱՎԼԻԿԱ

Ա. Ա. Բաղդասարյան. Ողային պարկերով ջրի ուղ-ստացիաներ շարժումը ճնշման խողովակաշարում . . . . .	42
Ա. Մ. Գասպարյան, Յա. Ա. Ալմասյան, Խ. Ա. Հակոբյան. Անրոխառնուրդներ տեղադրման խողովակազծերի հաշվումը . . . . .	51

ՋԵՐՄԱՏԵԽՆԻԿԱ

Լ. Ա. Ասյանյան, Ա. Լ. Սուրխ, Ա. Ն. Շուրին. Տարրարածանված ձմերի ն թթվաների թերմոդինամիկական հատկությունները . . . . .	57
Վ. Ա. Պոլոսյան, Մ. Ա. Սուրխ, Է. Բ. Ֆիլեկելյուտեն. Խոնավ ջերմամեկուսիչի հետ լինտակտում պոչպատի կոռոզիայի արագության վրա փոխադրման պրոցեսների ազդելության տեսական վերլուծություն . . . . .	65
Ա. Վ. Թադևոսյան, Ս. Ա. Խաչատրյան, Յու. Պ. Կուլեշովա. Փայտըիահնդուկային նավասարակշռության պրոցեսի մոդելացում . . . . .	72

# СОДЕРЖАНИЕ

## Машиностроение

- Ю. Л. Саркисян. Задача о прямолнейных квадратических точках в пространственном движении . . . . . 3
- С. Л. Шмугер, Р. А. Кочарян, Р. Л. Айрикян. Корреляционная функция шероховатости как характеристика свойств обработанной поверхности . . . . . 8

## Энергетика

- В. С. Хачатрян. Об одном алгоритме расчета установившихся режимов больших электрических систем . . . . . 19

## Вычислительная техника

- Р. С. Рафаелян, Г. Л. Кантарджян, Р. А. Хачатрян. Оптимизация инерционных систем с корректировкой рабочих шагов по скорости горизонтального дрейфа статической нелинейной характеристики . . . . . 27

## Измерительная техника

- А. Н. Мадоев, Г. С. Кирипетян, А. О. Минасян. Обнаружение палевого сигнала отклика нелинейной системой на фоне помех . . . . . 33

## Гидравлика

- А. Б. Багдасарян. Нестационарное движение воды в паярских трубопроводах с воздушными полостями . . . . . 42
- А. М. Гаспарян, Я. А. Алмисян, Р. Е. Акопян. Расчет трубопроводов для перемещения аэрозольных смесей . . . . . 51

## Теплотехника

- Л. С. Асламян, А. Л. Сурис, С. Н. Шорин. Термодинамические свойства диссоциированных кислорода и серы . . . . . 57
- В. С. Погосян, М. А. Сурис, Э. Б. Финкельштейн. Теоретический анализ влияния процессов переноса на скорость коррозии стали в контакте с влажной теплоизоляцией . . . . . 65
- А. В. Татевосян, С. С. Хачатрян, Ю. П. Кулешова. Моделирование процесса парожидкостного равновесия . . . . . 72



Технический редактор Л. А. АЗИЗБЕКЯН

ВФ 10535 Подписано к печати 4/XII 1974 г. Тираж 545. Изд. 4170. Заявл 386

Формат бумаги 70x108<sup>1</sup>/<sub>16</sub>. Печ. л. 5. Бум. л. 25.

Усл. печ. л. 7,0. Уч. изд. листов 5,12.

Типография Издательства АН Армянской ССР, г. Эчмиадзин